

# VEDLEGG A

# Oversiktskart



|  |               |   |                           |                   |               |
|--|---------------|---|---------------------------|-------------------|---------------|
| UU                                       | Uversiktskart | 25.08.2023                                    | JDR                       | KILW              | EDO           |
| Rev.                                     | Beskrivelse   | Dato  | Tegn.                     | Kontr.            | Godkj.        |
| Oversiktskart                            |               | Originalformat: A4                            | Fag: RIG                  |                   |               |
| Viken fylkeskommune                      |               | Målestokk: 1:50 000                           |                           |                   |               |
| Fv. 118 Ny Sarpsbru - Grunnundersøkelser |               | Underlagets filnavn: Kartgrunnlag fra Geodata |                           |                   |               |
| Multiconsult                             |               | Dato: 25.08.2023                              | Konstr./tegn: JDR         | Kontrollert: KILW | Godkjent: EDO |
|  |               | Oordræsnr.: 10245026-02                       | Tegningsnr.: RIG TEG 000A | Rev.: 00          |               |



# VEDLEGG B

## Tidligere utførte stabilitetsvurderinger

# Innhold

|    |   |    |
|----|---|----|
| 1  | NGI 1955 – Grunnundersøkelse med stabilitetsanalyse av terrenget mellom Glomma og A/S Borregaards fabrikkområde ..... | 2  |
| 2  | SVV 1976 – Gang- og sykkelveg over Sarpsfossen.....   | 4  |
| 3  | SVV 1988 – Rv. 127 v/Sarpsbrua .....  | 5  |
| 4  | GeoVita 2002 – Skråning ved Kokeri.....   | 6  |
| 5  | SVV 2012 – Fv.118 St. Mariegate bru.....  | 7  |
| 6  | Norconsult 2013 – Fv.118 St. Mariegate bru. Uavhengig kontroll av geoteknisk prosjektering .....                      | 8  |
| 7  | Aas-Jakobsen 2014 – Fv. 118 Ny St. Mariegate bru .....  | 10 |
| 8  | ØRP 2015 – Fv. 118 ny St. Marie gate bru.....   | 11 |
| 9  | Norconsult 2018 – Brukstid Sarpebruene .....  | 13 |
| 10 | Referanser .....  | 14 |

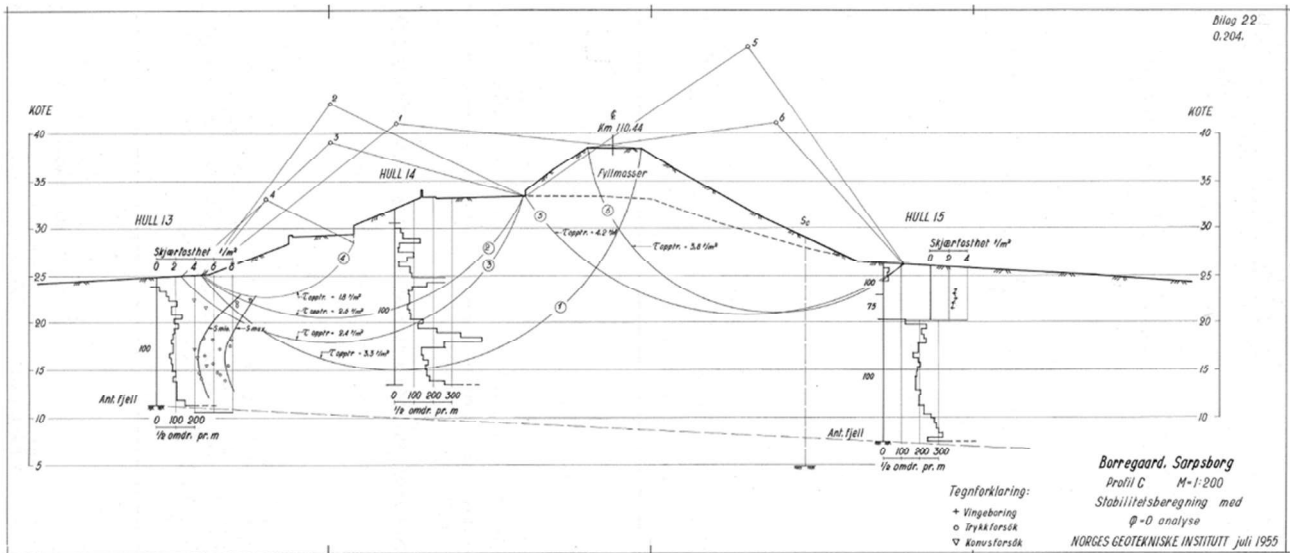
# 1 NGI 1955 – Grunnundersøkelse med stabilitetsanalyse av terrenget mellom Glomma og A/S Borregaards fabrikkområde

Etter oppdrag fra A/S Borregaard, Sarpsborg kommune og Norges Statsbaner har Norges geotekniske institutt (NGI) utført grunnundersøkelser og stabilitetsvurderinger på et område mellom Glomma og A/S Borregaards fabrikkområde.

Det ble utført stabilitetsberegninger i tre snitt både for totalspenningstilstand og effektivspenningstilstand. Konklusjonen av de utførte stabilitetsberegningene var at med totalspenninger fikk man sikkerhetsfaktorer  $F_{cu} < 1,0$  (labil likevekt), mens med effektivspenninger fikk man sikkerhetsfaktor  $F_{\phi} \approx 1,22 - 1,25$ .

Det ble utført en vurdering om at totalspenningsanalyse ikke gir et korrekt bilde av den naturlige skråningens stabilitetsforhold, og at stabilitetsforholdene for naturlige skråninger bare skal beregnes ved analyse med effektivspenninger når man tar hensyn til de faktiske poretrykksforholdene.

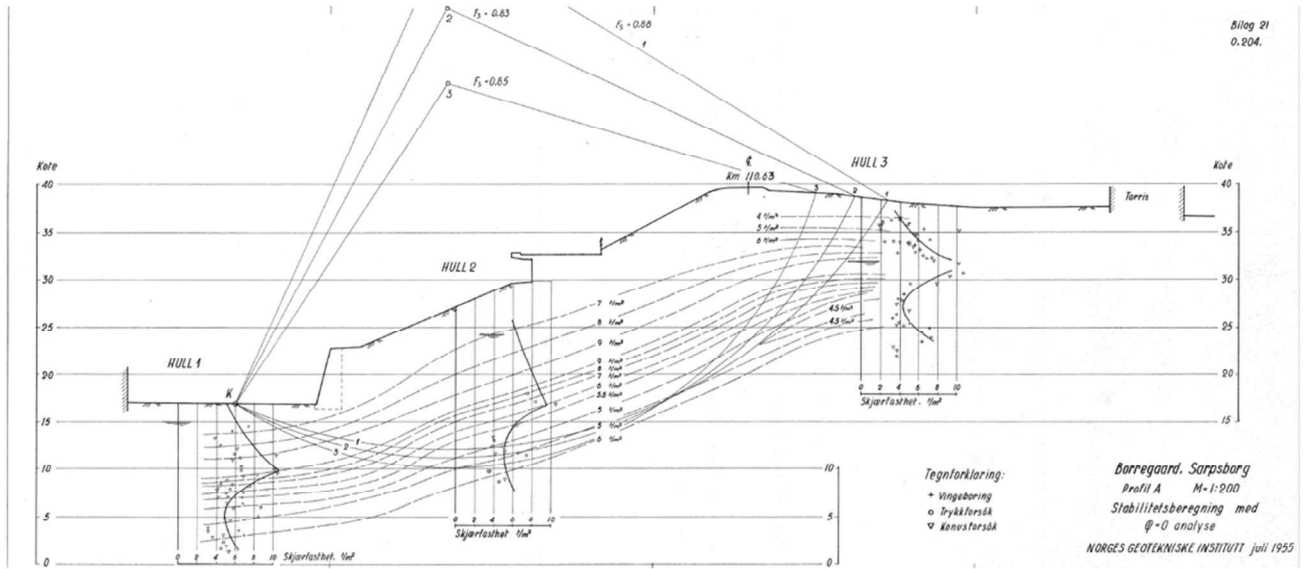
Videre ble det konkludert at skråningen ned mot Borregaards fabrikkområde ikke viser en fullt ut tilfredsstillende sikkerhet mot utglidning [1].



**Stabilitetsberegning med effektive spenninger, Profil A**

| Glideflate Nr | Sikkerhetskoeffisienter F |             |  |             |
|---------------|---------------------------|-------------|--|-------------|
|               | Med observert poretrykk   |             | Med poretrykk tilsvarende normalt gn.vannspeil med hydrostatisk trykkfordeling |             |
|               | uten trafikk              | med trafikk | uten trafikk   | med trafikk |
| 1             | 1,59                      | 1,57        |  |             |
| 2             | 1,255                     | 1,235       | 1,485  | 1,46        |
| 3             | 1,30                      | 1,28        | 1,60   | 1,575       |
| 4             | 1,26                      | 1,225       | 1,40   | 1,36        |
| 5             | 1,24                      | 1,225       | 1,45   | 1,43        |
| 6             | 1,26                      | 1,225       | 1,40   | 1,365       |

Bilag 21  
 0.204.



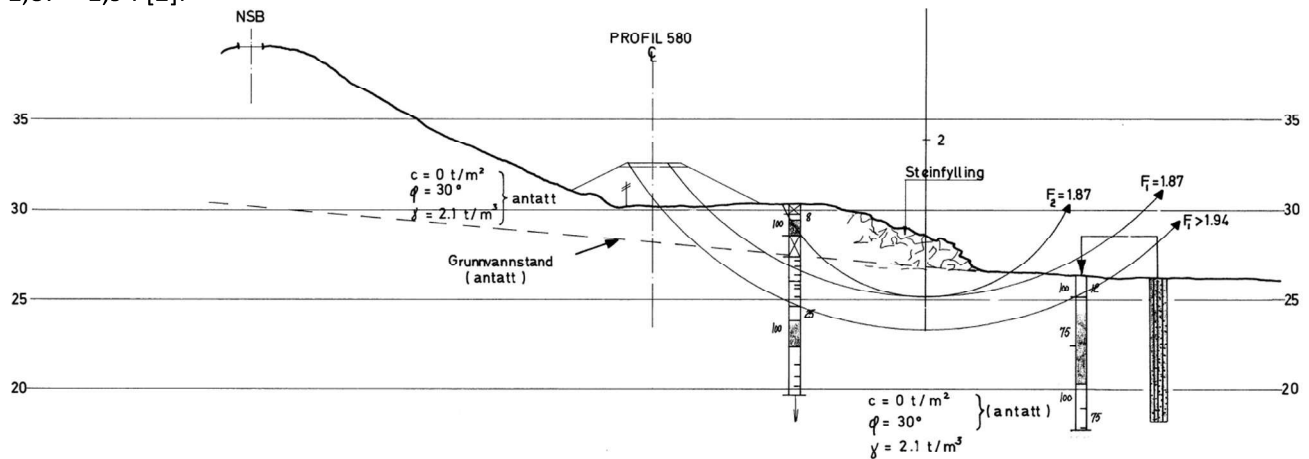
**Stabilitetsberegning med  $\phi=0$  analyse.**  
**Profil A**

| Glide-<br>flate<br>Nr. | Sikkerhetskoeffisienter F |             |
|------------------------|---------------------------|-------------|
|                        | uten trafikk              | med trafikk |
| 1                      | 0,88                      | 0,87        |
| 2                      | 0,83                      | 0,82        |
| 3                      | 0,85                      | 0,84        |

## 2 SVV 1976 – Gang- og sykkelveg over Sarpsfossen

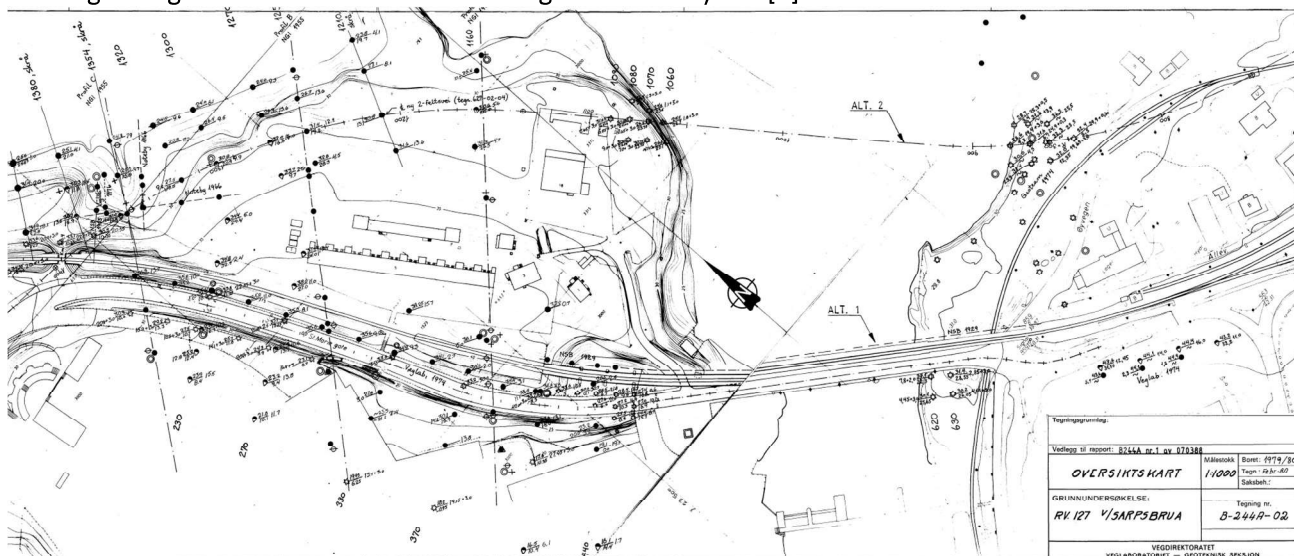
I forbindelse med at vegkontoret i Østfold planla gang- og sykkelveg ved Sarpsfossen i Sarpsborg, ble det utført stabilitetsvurderinger av fylling for gang- sykkelveg. Det ble utført stabilitetsberegninger for fyllinga like ved eksisterende G/S-kulvert på Tarris.

Stabilitetsberegningene omhandler en 2,0 – 2,5 m høy fylling ved foten av jernbanefyllingen. Det ble konkludert med at ved betraktning av store glidesnitt vil gangvegfyllinga bety relativt lite. Beregningene har derfor vært av lokalstabiliteten til gangvegfyllinga, og det ble utført beregninger i effektivspenningstilstand. Man konkluderte med at sikkerheten til fyllinga var tilfredsstillende, med beregnede sikkerhetsfaktorer  $F_{c\phi} \approx 1,87 - 1,94$  [2].



### 3 SVV 1988 – Rv. 127 v/Sarpsbrua

I forbindelse med at Rv. 127 mellom St. Mariestgt. og Dondern skal utvides, ble det laget en rapport i 1988 med vurderinger rundt to alternative løsninger. Kort fortalt dreier de ulike løsningene seg om 1) at eksisterende veg utvides til 4 felt, enten ved at det bygges ny jernbanebru og jernbanen flyttes slik at det blir plass til ny veg på yttersiden, eller at vegen legges ut i skråningen, og 2) at det bygges ny tofeltsveg lenger nord og at dagens rv. 127 etter noe utbedring fortsatt benyttes [3].



Eksisterende rv. 127 ligger på en 15 m høy skråning mellom jernbanen og Borregaards fabrikk. Helningen varierer fra 1:1,5 til 1:2. Skråningen slik den ligger i dag har en beregnet sikkerhet mot utglidning iht. NGI-rapporten fra 1955 [1]. I rapporten står det at «*endringer i terreng- og belastningsforhold må derfor tilpasses slik at foreliggende stabilitetsforhold ikke forverres*». Videre i rapporten står det at: «*I dag ligger en del av vegbanen på halvbru. Denne er i dårlig forfatning og må i alle tilfeller snart skiftes ut. Løsning med å bygge opp ei vertikal fylling av superlette fyllmasser (blokker av ekspandert polystyren – EPS) har vært diskutert i denne sammenheng. En slik utførelse vil imidlertid være noe komplisert å gjennomføre. Delvis går dette på utlegging av EPS-blokkene og sikring av kontakt med det gamle brudekket, delvis at horisontalstabiliteten må sikres med betongplater forankret inn i jernbanefyllingen*». «.....» «*Løsningen med EPS vil ikke belaste nåværende terreng i nevneverdig grad og gir muligheter til å opprettholde trafikk på vegen under anlegget*» [3].

Videre står det at: «*Utvidelse av vegen inn mot jernbanen synes eller mulig ved bruk av stålpunt som forankres inn under jernbanefyllinga. For å få plass til 4-feltsveg vil det være behov for å flytte jernbanelinja noe. En slik løsning vil gi avlastning av terrenget og ikke forverre dagens stabilitetsforhold*»[3].

For traséalternativ 2 lengst nord står det at fylling for ny veg inn mot landkaret ikke vil medføre stabilitetsproblemer for vegen. Videre nordover på Tarris mot GS-kulverten står det at «*maksimal fyllingshøyde er 5 m. For å oppnå tilstrekkelig stabilitet må fyllinga, der den er høyere enn 3 m legges ut i to etapper med minst 2 måneders mellomrom. Dette for at poreovertrykket skal få tid til å dreneres ut*» [3].

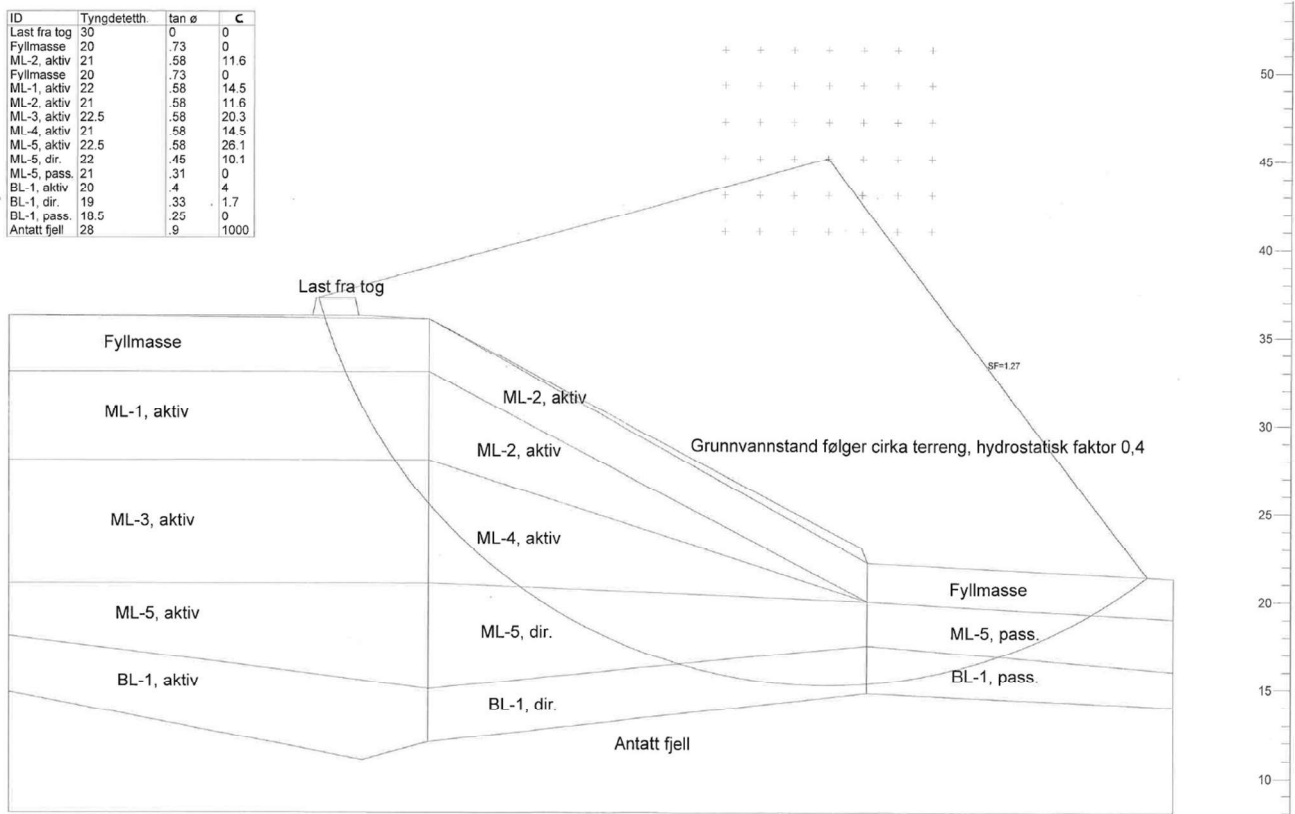
## 4 GeoVita 2002 – Skråning ved Kokeri

Det ble utført stabilitetsvurderinger for skråningen i området mellom Kokeri og Fyrhus, da det var flere tydelige tegne på at skråningsoverflaten var i sig og enkelte fundamenter hadde beveget seg. Borregaard engasjerte GeoVita AS for å gjøre en vurdering av skråningsstabiliteten.

Det ble utført stabilitetsberegninger for fire profiler, og som grunnlag for jordstyrke ble effektivspenningsparametere benyttet. Poretrykket ble målt.

Sikkerhetsfaktor i mest kritiske beregningsprofil ble beregnet til  $F_{c\phi} \approx 1,27$ , men det ble videre argumentert for at styrkeparametere for det bløte laget over berg ble forsiktig anslått og det ble brukt noe høyere poretrykk enn målt, slik at man kunne konkludere med at sannsynlig minste sikkerhetsnivå var et sted mellom  $F_{c\phi} = 1,3 - 1,4$ .

Det ble informert om at for den mest kritiske delen av skråningen ble stabiliteten også kontrollert ved en totalspenningsanalyse, men beregningen ble ikke vedlagt eller presentert. I rapportteksten står det at beregningsmessig sikkerhet med totalspenningsanalyse ble tilsvarende som for effektivspenningsanalysen. Det ble konkludert med at dagens sikkerhetsnivå for skråningen ved dypere liggende skjærflater kan ansees som tilfredsstillende, selv om det mest anstrengte området ligger helt på grensen [4].



## 5 SVV 2012 – Fv.118 St. Mariegate bru

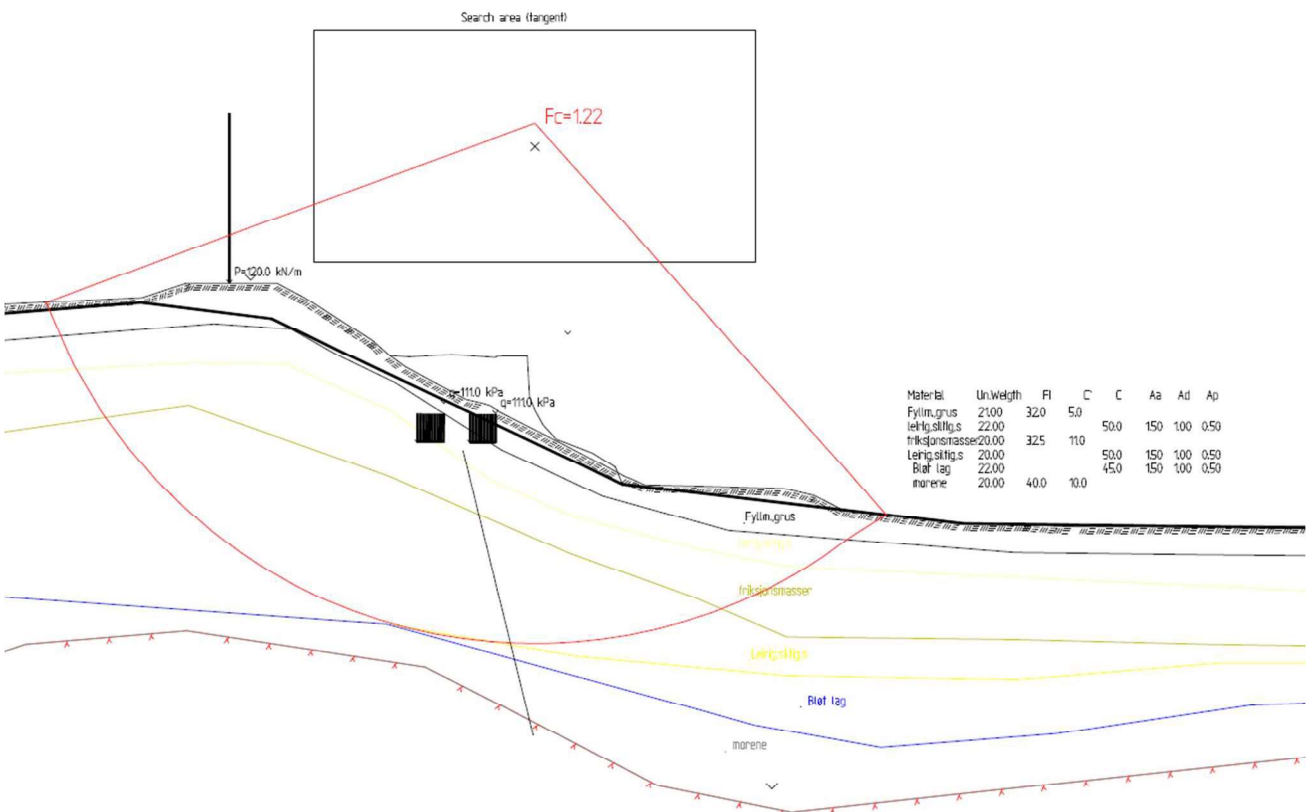
Etter oppdrag fra Statens vegvesen har TMT-seksjon, Geoteknikk og skred i Vegdirektoratet og Berg- og geoteknikkseksjonen i Region Øst utført grunnundersøkelser og geotekniske vurderinger for nybygging/erstatning av St. Mariegate bru (fv. 118) i Sarpsborg.

Innledningsvis stilles det spørsmål til hvorfor stabilitetsberegningene til NGI i 1955 ikke tar hensyn til egenvekten av St. Mariegate bru som er fundamentert på løsmassene, og hvorfor det ikke ble tatt hensyn til høyere grunnvannstand i totalvurderingen av sikkerheten.

I stabilitetsberegningene ble det lagt inn en 3D-effekt (faktor  $f_s = 0,01$ ), for å ta høyde for sidefriksjonsandelen av et potensielt skredlegeme. Maksimal skredbredde ble vurdert til 200 m ut ifra den topografiske situasjonen på stedet. Man vurderte at bygningen i St. Mariegate 2 har en stabiliserende virkning, og denne ble ikke hensyntatt i beregningene. Det ble utført udrenerte analyser (totalspenningsanalyse).

Det ble utført stabilitetsberegninger for 1) dagens situasjon, 2) under bygging av tørrmur/fylling, og 3) i permanent situasjon etter bygging. Følgende sikkerhetsfaktorer ble beregnet: 1)  $F_{cu} \approx 1,22$ , 2)  $F_{cu} \approx 1,28$ , og 3)  $F_{cu} \approx 1,31$ . Videre ble det konkludert med at sikkerheten ligger under kravet til sikkerhetsfaktor, og at de ikke ser noen teknisk gjennomførbare muligheter for å forbedre skråningsstabiliteten ytterligere ut over det som tiltaket medfører, pga. bebyggelse og trafikkarealer tett inntil tiltaksstedet. Det ble vurdert at sikkerhetsnivået etter gjennomført tiltak anses som forsvarlig, også med hensyn til at eksisterende bru utgjør en stadig økende trafikkfare pga. svært dårlig allmentilstand og begrensede muligheter til rehabilitering [5].

Stabilitet profil 1 (265), udrenert ADP-analyse med hydrostatisk poretrykksfordeling  
Drenerte og udrenerte lag  
Lagdelling basert på grunnundersøkelser fra 1955, 1979, 2012  
Beregninger utført med GeoSuit-Stability, sidefriksjonsfaktor 0,01



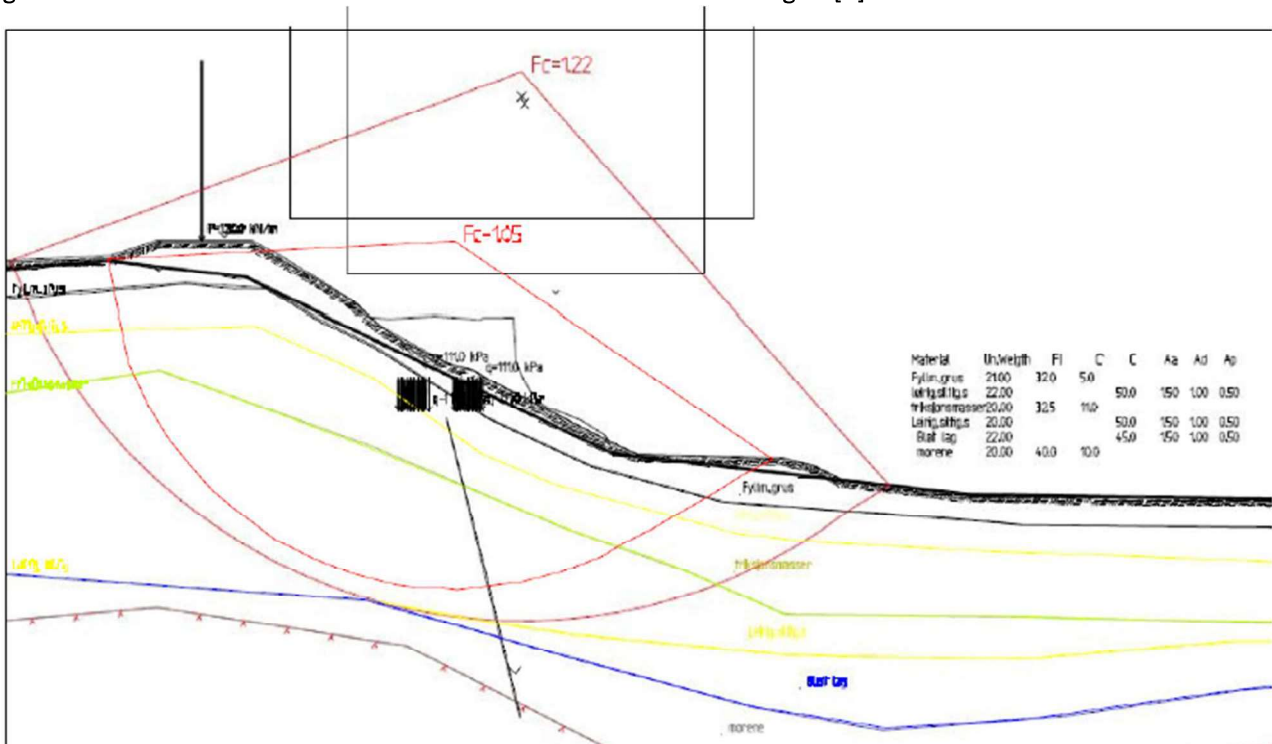
## 6 Norconsult 2013 – Fv.118 St. Mariegate bru. Uavhengig kontroll av geoteknisk prosjektering

Norconsult har på oppdrag fra Vegdirektoratet utført uavhengig kontroll av geoteknisk prosjektering for erstatning av eksisterende St. Mariegate bru i Sarpsborg. Grunnlaget for kontrollen er rapport nr. 2010239217-25 «Geoteknikk. Fv. 118 St. Mariegate bru», datert 2012-09-27 [5]. Denne er presentert ovenfor.

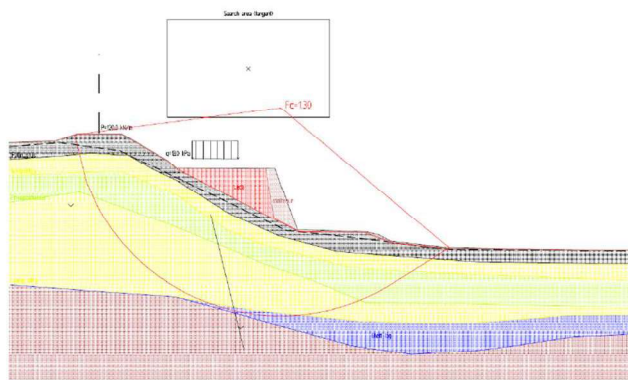
I kontrollen påpekes det at det er benyttet noe lav linjelast på toppen av jernbanefyllingen, og det stilles spørsmål til argumentet med at «*virkelig sikkerhet sannsynligvis er høyere enn beregnet pga. konservativt valgte styrkeparametere*» i et tilfelle hvor kravet til sikkerhet baseres på prosentvis forbedring fra før-situasjonen. Videre påpekes det at det bør sjekkes hvilken betydning effekten av sidefriksjonsfaktor får for beregnet materialfaktor.

Resultatet fra uavhengig kontrollør sine stabilitetsberegninger viser at beregning uten sidefriksjonsfaktor ble  $F_{cu} = 1,05$ . I dette tilfellet medførte altså sidefriksjonsfaktoren en økning i materialfaktoren på ca. 13 %. Resultatet fra beregningen av situasjonen etter bygging av støttemur uten sidefriksjonsfaktor ga  $F_{cu} = 0,97$  (sammenlignet mot  $F_{cu} \approx 1,30$  med sidefriksjonsfaktor). Beregningen uten sidefriksjonsfaktor ga altså lavere sikkerhet for situasjonen etter etablering av støttemur og lettklinkerfylling.

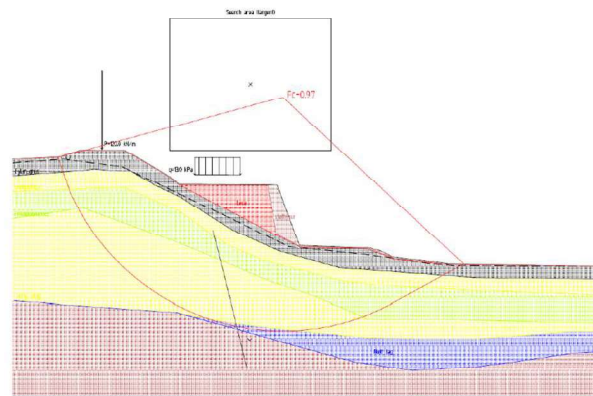
Konklusjonen av den uavhengige kontrollen var at det ikke var tilfredsstillende dokumentert at den foreslåtte løsningen forbedrer stabilitetsforholdene iht. kravene i håndbok V220 fra Statens vegvesen. Det ble anbefalt å utføre nye stabilitetsberegninger hvor man ser på effekten av å variere sidefriksjonsfaktoren, og at man vurderer andre tiltak for å forbedre stabiliteten i skråningen [6].



Figur 3: Stabilitetsberegning, dagens situasjon, sidefriksjonsfaktor=0,00,  $F_c=1,05$



Figur 4: Stabilitetsberegning, etter bygging av støttemur, sidefriksjonsfaktor=0,01,  $F_c=1,30$



Figur 5: Stabilitetsberegning, etter bygging av støttemur, sidefriksjonsfaktor=0,00,  $F_c=0,97$

## 7 Aas-Jakobsen 2014 – Fv. 118 Ny St. Mariegate bru

På oppdrag fra Statens vegvesen Region øst (SvRø), har Dr. Ing. A. Aas-Jakobsen AS, i samarbeid med GeoVita AS, utarbeidet dette forprosjektet. Oppdraget var å utrede tre alternative løsninger for å erstatte dagens St. Mariegate bru, og komme med en anbefaling for valg av endelig løsning.

I rapporten står det at *«det har blitt utført nye stabilitetsberegninger av eksisterende skråning, som viser en ikke tilfredsstillende stabilitet/lav sikkerhet»*, og at *«ved befarings av eksisterende bru er det også tydelige tegn på skader som følge av deformasjoner i skråningen. På bakgrunn av dette har det vært nødvendig å vurdere tiltak for å forbedre stabiliteten i skråningen»*.

Men det presenteres ingen stabilitetsvurderinger i rapporten. På grunnlagslisten er stabilitetsvurderingene utført av Statens vegvesen i 2012 opplistet [7].

## 8 ØRP 2015 – Fv. 118 ny St. Marie gate bru

I forbindelse med at Statens vegvesen ønsker å erstatte eksisterende St. Mariegade bru i Sarpsborg, ble det utarbeidet en geoteknisk rapport i 2012 som beskriver utførte grunnundersøkelser og løsningsforslag, som senere ble kontrollert av uavhengig kontrollør Norconsult i 2013. Etter dette ble det utarbeidet en forprosjektsrapport av Aas-Jakobsen som vurderer 3 alternative løsninger for ny bru.

På bakgrunn av dette har ØRP (Øvre Romerike Prosjektering AS) laget en rapport (et forprosjektsstudie) som både besvarer kommentarene fra kontrollnotatet til Norconsult fra 2013, og vurderer de 3 alternative løsningene fra Aas-Jakobsens rapport fra 2014. I tillegg er det noen egne vurderinger i dokumentet. Dette oppdraget ble gitt av Statens vegvesen, Region Øst. Det er verdt å merke seg at den geotekniske rapporten fra 2012 fra Statens vegvesen er utarbeidet av samme person som utarbeidet rapporten fra ØRP i 2015.

I rapporten står det at skråningen ved brua er i labil tilstand og at skråningen må stabiliseres før eller i kombinasjon med selve tiltaket.

I rapporten skrives det at bruk av sidefriksjonsfaktor i stabilitetsberegninger for å ta høyde for 3D-effekter er vanlig anerkjent praksis i geoteknisk prosjektering, med referanse til kurskompendiet «Stabilitetsanalyser av skråninger, skjæringer og fyllinger» fra NGF-kurset i 2014. Sidefriksjonsfaktoren gir forholdsvis høyt bidrag pga. dype glideflater og at friksjonsandel fra sidene av et potensielt utglidningslegeme er forholdsvis høyt.

ØRP mener at bruk av sidefriksjonsfaktor på 0,001 absolutt er forsvarlig og riktig i dette tilfellet.

ØRP har utført reviderte beregninger etter uavhengig kontroll av Norconsult i 2013.

| Situasjon  | Sikkerhet SVV (ref./1) | Sikkerhet Norconsult (ref./2/) | Sikkerhet ØRP* | Kommentar  |
|--|------------------------|--------------------------------|----------------|--|
| Dagens skråning, sidefriksjon = 0,000                | 0,99                   | 1,05                           | 1,00           | 2D beregning   |
| Dagens skråning, sidefriksjon = 0,010                | 1,22                   | 1,19                           | 1,04           | Beregning ØRP 4 % høyere enn 2D-beregning                    |
| Etter tiltak (mur) Sidefriksjon=0,000                | ?                      | 0,97                           | 1,00           | 2D beregning, mur ca. 12 m høy                               |
| Etter tiltak (mur) Sidefriksjon=0,010                | 1,31                   | 1,30                           | 1,13           | Beregning ØRP 13 % høyere enn 2D-beregning, mur ca. 12 m høy |
| Etter tiltak (mur), nytt forslag, Sidefriksjon=0,010 | -                      | -                              | 1,20           | Forslag ØRP, permanent tilstand med senket mur, ca. 6m høy   |

Fig. 1: Oversikt stabilitetsberegninger i Geosuite

\*med korrigerede parametere, jfr. a.

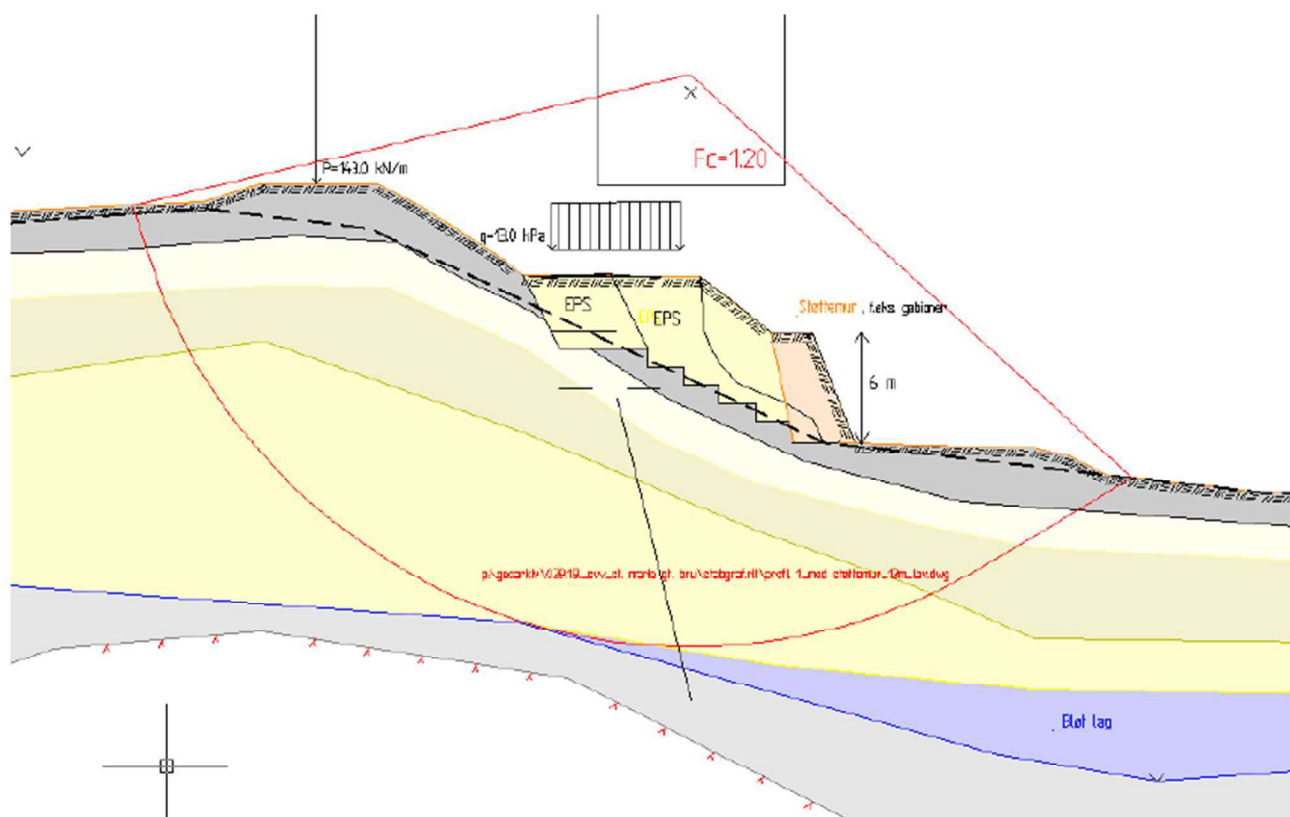


Fig. 4: Forslag permanent EPS fylling + gabionmur, ØRP

I rapporten vurderes det at løsningen til Aas-Jakobsen med stagforankret spunt og 2-4 m høy motfylling for å sikre spuntarbeidene virker unødvendig komplisert, dyr og tidskrevende. ØRP mener at løsning med gabionmur og EPS-blokker øker skråningsstabiliteten med 20 %, ved at vekt fra gabionmur fungerer som en slags «motfylling». Det ble brukt sidefriksjonsfaktor 0,001. Det påpekes at løsningen burde tas opp til vurdering med Aas-Jakobsen, og at forslaget må utredes mer detaljert [8].

## 9 Norconsult 2018 – Brukstid Sarpebruene

Norconsult har bistått Statens vegvesen Region øst med inspeksjon, reparasjon, midlertidige tiltak for forsterkning av Sarpebruene. Notatet gir en oppsummering av avdekkede skader, utførte tiltak, forventet brukstid av bruene etter endt tiltak, og eventuelle nye tiltak for å forlenge brukstiden ytterligere.

For St. Mariegade bru står det at: *«En av brudelene hadde en sideveis forskyvning i forhold til øvrige brudelene. Dette ser ut til å skyldes høyt jordtrykk fra jernbanefyllingen mot muren langs brua. Muren har delvis glidd ut under brua og brua har forskjøvet seg sideveis [9]».*

Videre i notatet står det for St. Mariegade bru at: *«Skråningen brua står i er bratt og det har tidligere gått leirras i området. Brua har fått deformasjoner sideveis på grunn av forskyvninger i jordmassene, derfor er det planer om å installere inklinometerkanaler for å registrere eventuelle nye forskyvninger i grunnen».*

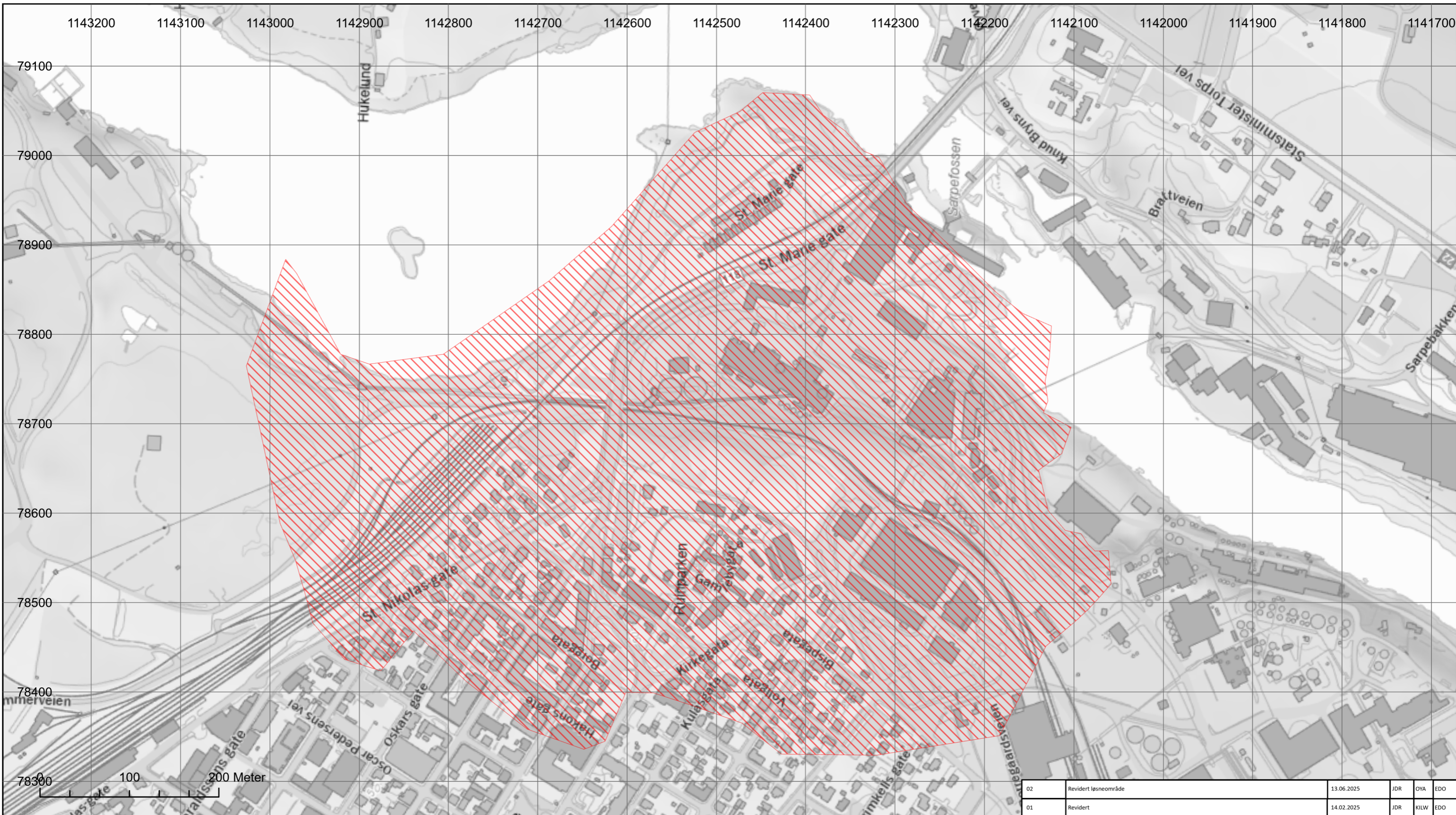
Notatet sier også at skråningen langs St. Mariegade bru og Nordre Kanalbru er ustabil og har medført sideveis forskyvning på deler av St. Mariegade bru [9].

## 10 Referanser


- [1] NGI, "Grunnundersøkelse med stabilitetsanalyse av terrenget mellom Glomma og A/S Borregaards fabrikkområde.," Grunnundersøkelser, Stabilitetsanalyser 21355007\_O.204-1, Aug. 1955.
- [2] Statens vegvesen, "Gang- og sykkelveg over Sarpsfossen," 8796094\_B-244B, 1976.
- [3] Statens Vegvesen, "Rv.127 v/Sarpsbrua," Veglaboratoriet, Grunnundersøkelser, Geoteknisk vurdering 8796136\_B-244A, Mar. 1988.
- [4] GeoVita AS, "Skråning ved Kokeri - Stabilitetsvurderinger," Stabilitetsvurderinger - Geoteknisk rapport 1522-1, Feb. 2002.
- [5] Statens Vegvesen, "Fv.118 St. Mariegate bru," Vegdirektoratet, Grunnundersøkelser, områdestabilitet, geoteknisk prosjektering 2010239217-25, Sep. 2012.
- [6] Norconsult, "Fv.118 St. Mariegate bru. Uavhengig kontroll av geoteknisk prosjektering," Notat - Uavhengig kontroll 5133301-1, Jun. 2013.
- [7] AAS-JAKOBSEN, "Fv.118 Ny St. Mariegate bru. Forprosjekt.," Forprosjektsrapport 11360-2, Sep. 2014.
- [8] ØRP (Øvre Romerike Prosjektering AS), "Fv. 118, ny St. Marie gate bru - Geoteknisk notat nr. 1," Geoteknisk notat Geoteknisk notat nr. 1, Jun. 2015.
- [9] Norconsult, "Brukstil Sarpebruene," Notat 5145827, Dok.nr.: 15, May 2018.


# VEDLEGG C

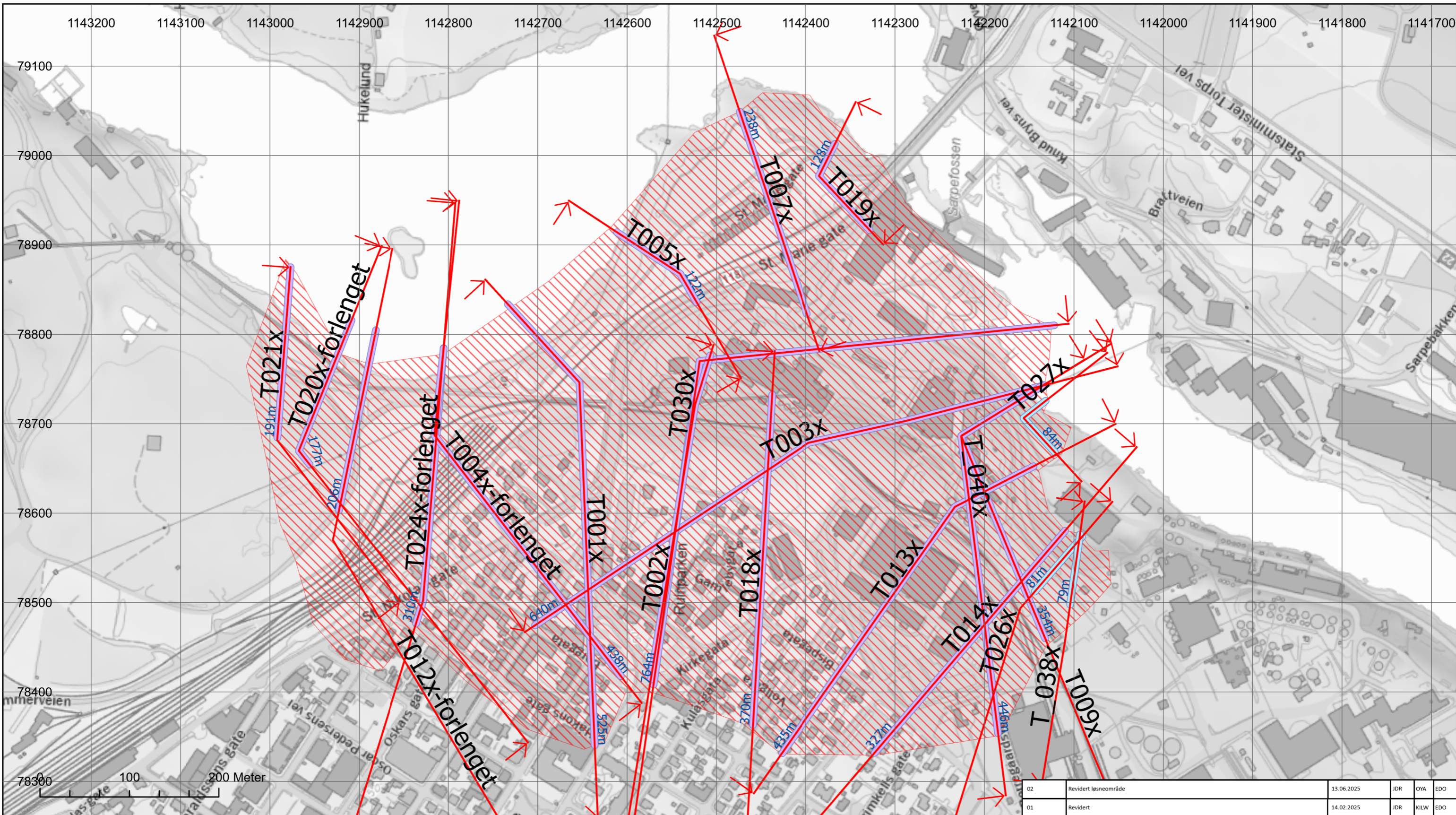
## Løsne- og utløpsområde



### Tegnforklaring


Løsneområde  
 Høy faregrad



|  |                      |  |   |                    |                 |
|--|----------------------|--|---|--------------------|-----------------|
| 02   | Revidert løsneområde | 13.06.2025                                       | JDR   | OYA                | EDO             |
| 01   | Revidert             | 14.02.2025                                       | JDR   | KILW               | EDO             |
| 00   | Utarbeidet           | 06.09.2024                                       | JDR   | KILW               | EDO             |
| Rev.                                       | Beskrivelse          | Dato   | Tegn.   | Kontr.             | Godkj.          |
| <b>Løsneområde områdestabilitet Tarris</b> |                      | Original format:<br>A3                           | Fag:<br>RIG   |                    |                 |
|  |                      | Filnavn:<br>10245026-RIG-TEG-001A                |   |                    |                 |
| <b>Østfold fylkeskommune</b>               |                      | Underlagets filnavn:<br>Kartgrunnlag fra Geodata |   |                    |                 |
| <b>Fv. 118 Ny Sarpsbru</b>                 |                      | Målestokk:<br>1:4 000                            |  |                    |                 |
| <b>Områdestabilitetsvurdering</b>          |                      |  |   |                    |                 |
| <b>Multiconsult</b>                        |                      | Dato<br>13.06.2025                               | Konstr./tegn<br>JDR   | Kontrollert<br>OYA | Godkjent<br>EDO |
|  |                      | Oppdragsnr.<br>10245026-01                       | Tegningsnr.<br>001A   | Rev.               | 02              |




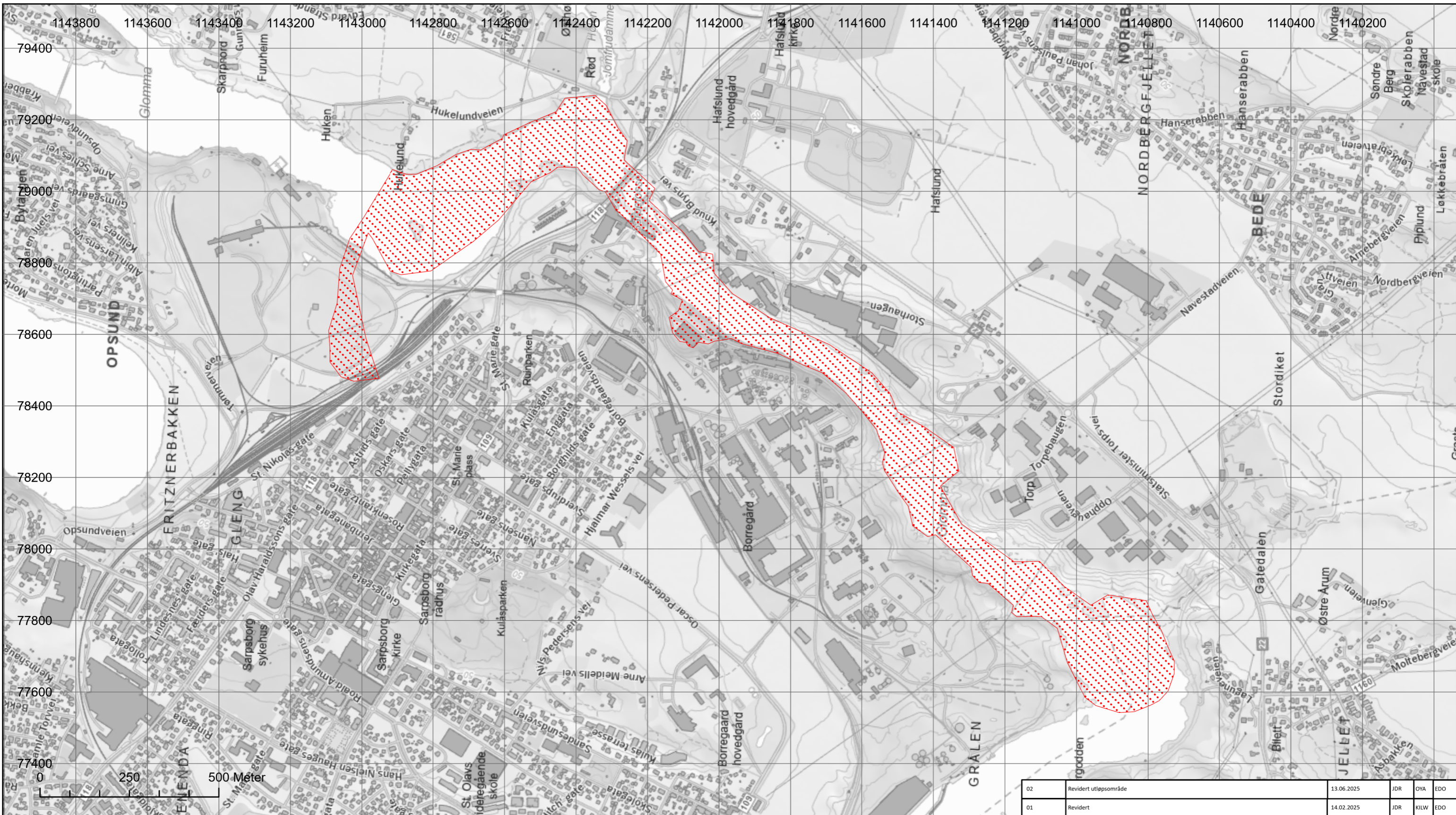
### Tegnforklaring

Løsneområde  
 Høy faregrad

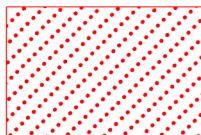
Kritiske profiler  


Løsneområde distanse  
 Retrogressivt skred  
 Rotasjonsskred



|  |                          |   |                  |                    |   |
|--|--------------------------|---|------------------|--------------------|---|
| 02   | Revidert løsneområde     | 13.06.2025                                    | JDR              | OYA                | EDO   |
| 01   | Revidert                 | 14.02.2025                                    | JDR              | KILW               | EDO   |
| 00   | Utarbeidet               | 06.09.2024                                    | JDR              | KILW               | EDO   |
| Rev.   | Beskrivelse              | Dato  | Tegn.            | Kontr.             | Godkj.  |
| Løsneområde områdestabilitet Tarris  |                          | Original format: A3                           | Fag: RIG         |                    |   |
|  |                          | Filnavn: 10245026-RIG-TEG-001B                |                  |                    |   |
| Østfold fylkeskommune<br>Fv. 118 Ny Sarpsbru<br>Områdestabilitetsvurdering |                          | Underlagets filnavn: Kartgrunnlag fra Geodata |                  | Målestokk: 1:4 000 |  |
| <b>Multiconsult</b>  | Dato: 13.06.2025         | Konstr./tegnet: JDR                           | Kontrollert: OYA | Godkjent: EDO      |   |
|  | Oppdragsnr.: 10245026-01 | Tegningsnr.: 001B                             | Rev.             | 02                 |   |

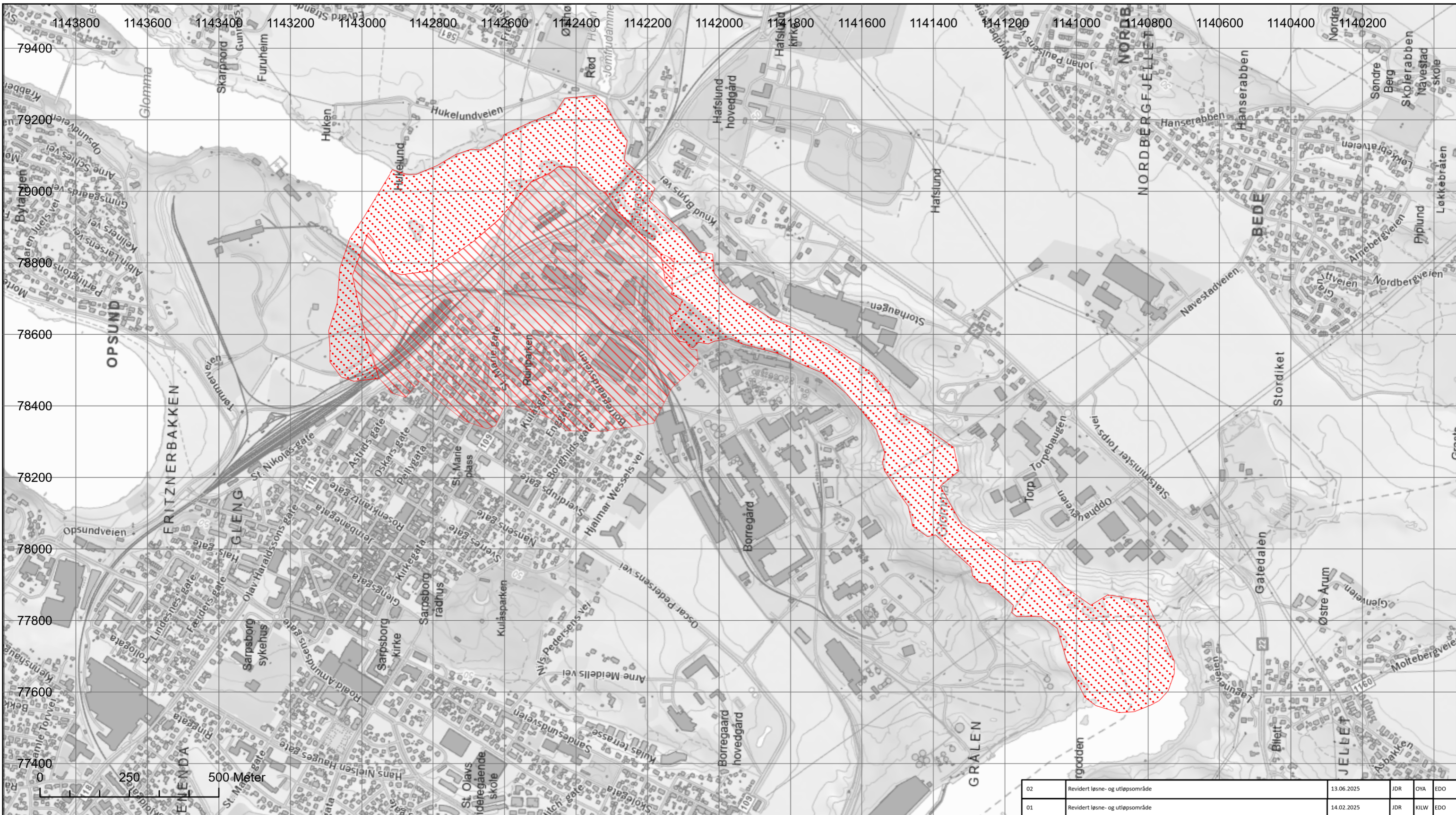


### Tegnforklaring


Utløpsområde  
 Høy faregrad

Koordinatsystem: ETRS 1989 NTM Zone 11. Høydegrunnlag: NN2000

|   |                       |   |                          |                    |                 |
|---|-----------------------|---|--------------------------|--------------------|-----------------|
| 02  | Revidert utløpsområde | 13.06.2025  | JDR                      | OYA                | EDO             |
| 01  | Revidert              | 14.02.2025  | JDR                      | KILW               | EDO             |
| 00  | Utarbeidet            | 06.09.2024  | JDR                      | KILW               | EDO             |
| Rev.  | Beskrivelse           | Dato  | Tegn.                    | Kontr.             | Godkj.          |
| Utløpsområde områdestabilitet Tarris  |                       | Original format:  | Fag:                     |                    |                 |
|   |                       | A3  | RIG                      |                    |                 |
| Østfold fylkeskommune<br>Fv. 118 Ny Sarpsbru<br>Områdestabilitetsvurdering            |                       | Filnavn:  | 10245026-RIG-TEG-002     |                    |                 |
|   |                       | Underlagets filnavn:  | Kartgrunnlag fra Geodata |                    |                 |
| Målestokk:<br>1:10 000  |                       |  |                          |                    |                 |
|   |                       |   |                          |                    |                 |
|  |                       | Dato<br>13.06.2025  | Konstr./tegnet<br>JDR    | Kontrollert<br>OYA | Godkjent<br>EDO |
| Oppdragsnr.<br>10245026-01  |                       | Tegningsnr.<br>002  |                          | Rev.<br>02         |                 |





### Tegnforklaring

Løsneområde  
 Høy faregrad

Utløpsområde  
 Høy faregrad

Koordinatsystem: ETRS 1989 NTM Zone 11. Høydegrunnlag: NN2000

|   |                                 |   |   |                  |               |
|---|---------------------------------|---|---|------------------|---------------|
| 02  | Revidert løсне- og utløpsområde | 13.06.2025                                    | JDR   | OYA              | EDO           |
| 01  | Revidert løсне- og utløpsområde | 14.02.2025                                    | JDR   | KILW             | EDO           |
| 00  | Utarbeidet                      | 06.09.2024                                    | JDR   | KILW             | EDO           |
| Rev.  | Beskrivelse                     | Dato  | Tegn.   | Kontr.           | Godkj.        |
| Løsne- og utløpsområde områdestabilitet Tarris  |                                 | Original format: A3                           | Fag: RIG  |                  |               |
|   |                                 | Filnavn: 10245026-RIG-TEG-003                 |   |                  |               |
| Østfold fylkeskommune   |                                 | Underlagets filnavn: Kartgrunnlag fra Geodata |   |                  |               |
| Fv. 118 Ny Sarpsbru   |                                 | Målestokk: 1:10 000                           |  |                  |               |
| Områdestabilitetsvurdering  |                                 |   |   |                  |               |
|  |                                 | Dato: 13.06.2025                              | Konstr./tegnet: JDR   | Kontrollert: OYA | Godkjent: EDO |
|   |                                 | Oppdragsnr.: 10245026-01                      | Tegningsnr.: 003  | Rev.: 02         |               |

# VEDLEGG D

## Terrengsnitt Tarris

### Innhold

|    |                         |    |
|----|-------------------------|----|
| 1  | Revisjonshistorikk..... | 2  |
| 2  | T021x.....              | 3  |
| 3  | T020x.....              | 4  |
| 4  | T012x.....              | 5  |
| 5  | T024x.....              | 7  |
| 6  | T004x.....              | 9  |
| 7  | T001x.....              | 11 |
| 8  | T005x.....              | 13 |
| 9  | T007x.....              | 14 |
| 10 | T006x.....              | 15 |
| 11 | T019x.....              | 16 |
| 12 | T002x.....              | 17 |
| 13 | T030x.....              | 19 |
| 14 | T003x.....              | 21 |
| 15 | T040x.....              | 23 |
| 16 | T009x.....              | 25 |
| 17 | T027x.....              | 26 |
| 18 | T014x.....              | 27 |
| 19 | T026x.....              | 29 |
| 20 | T_038x.....             | 31 |
| 21 | T018x.....              | 33 |
| 22 | T013x.....              | 35 |

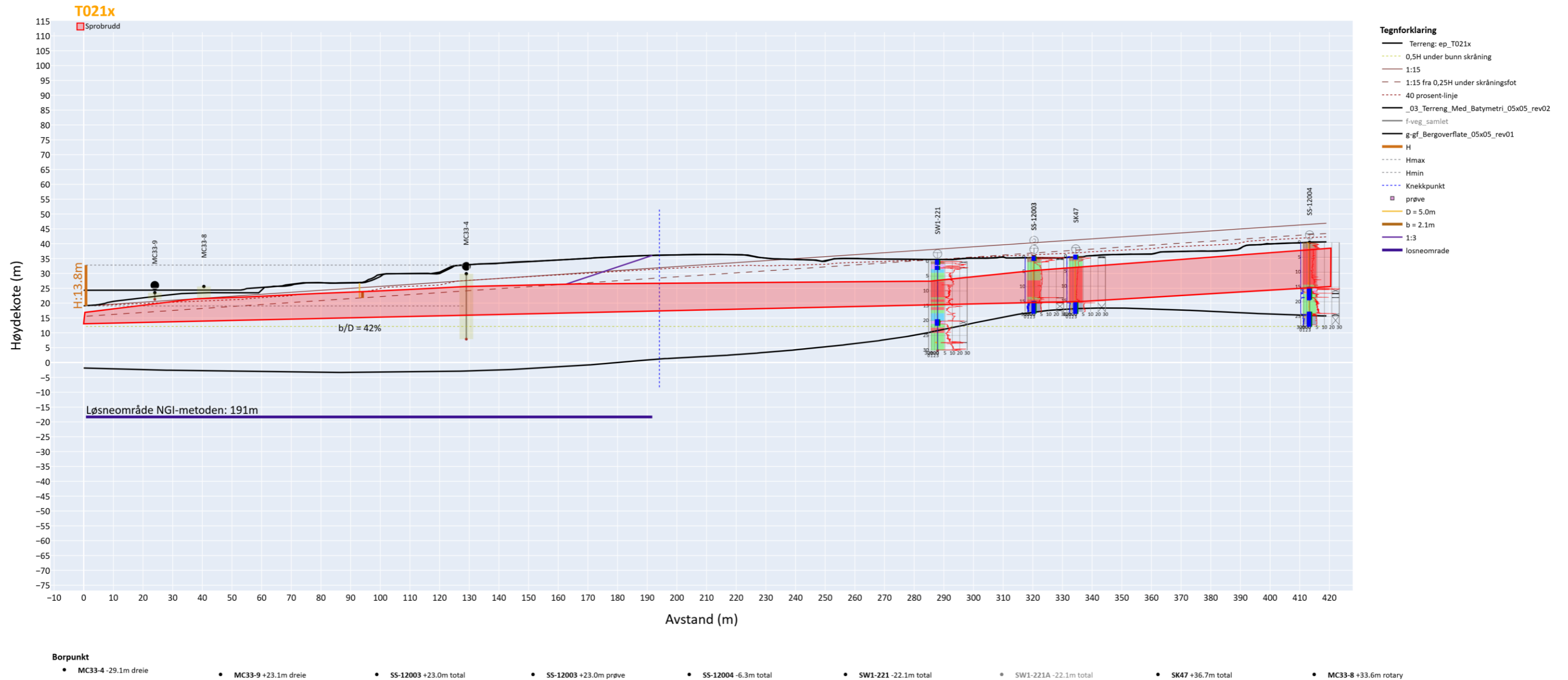
# 1 Revisjonshistorikk

Tabell 1 belyser revisjonshistorikken til vedlegget. I tillegg er endringer i tekst samt utskiftede figurer synliggjort med revisjonsstrek i marginen.

Tabell 1: Revisjonshistorikk.

| REVISJON | TERRENGSNITT | BESKRIVELSE AV ENDRING FRA REVISJON  |
|----------|--------------|--|
| 01       | T010x        | Byttet navn til T010a. Snittet er vurdert på nytt. Revidert snitt gir et kortere løsneområde.  |
| 01       | T021x        | Revidert etter utført batymetri. Ingen relevante beregninger. Manglende grunnlag for å utføre dette.   |
| 01       | T020x        | Revidert etter utført batymetri. Ingen relevante beregninger. Manglende grunnlag for å utføre dette.   |
| 01       | T012x        | Revidert etter utført batymetri. Tegnet inn kritisk glideflate. Revurdert b/D.   |
| 01       | T024x        | Revidert etter utført batymetri. Tegnet inn kritisk glideflate. Revurdert b/D.   |
| 01       | T004x        | Tegnet inn kritisk glideflate. Revurdert b/D.  |
| 01       | T001x        | Tegnet inn kritisk glideflate. Revurdert b/D.  |
| 01       | T007x        | Tegnet inn kritisk glideflate. Revurdert b/D.  |
| 01       | T019x        | Tegnet inn kritisk glideflate. Revurdert b/D.  |
| 01       | T002x        | Oppdatert H. Oppdatert sprøbruddpolygon, slik at det er mer basert på de nærmeste utførte grunnundersøkelsene. Lagt inn kritisk glideflate. Revurdert b/D. |
| 01       | T003x        | Oppdatert H, etter kommentarer fra tredjepart. Går en dyp glideflate som vil gjøre at 1:15 linjen går like dypt som når den følger berget.                 |
| 01       | T027x        | Oppdatert figur, ingen større endringer.   |
| 01       | T014x        | Tegnet inn kritisk glideflate. Revurdert b/D.  |
| 01       | T026x        | Oppdatert figur etter nytt grunnlag, ingen større endringer.   |
| 01       | T_038        | Endret navn fra T038 til T_038 som i plantegning. Oppdatert figur, ingen større endringer.   |
| 01       | T018x        | Inkludert i rev 01 da det er avgjørende for utstrekning av løsneområde.  |
| 01       | T013x        | Inkludert i rev 01 da det er avgjørende for utstrekning av løsneområde.  |
| 02       | T010a        | Profilet er vurdert på nytt. Profilet er basert på ny vurdering ekskludert fra sonen og er derfor fjernet fra vedlegget.                                   |

## 2 T021x

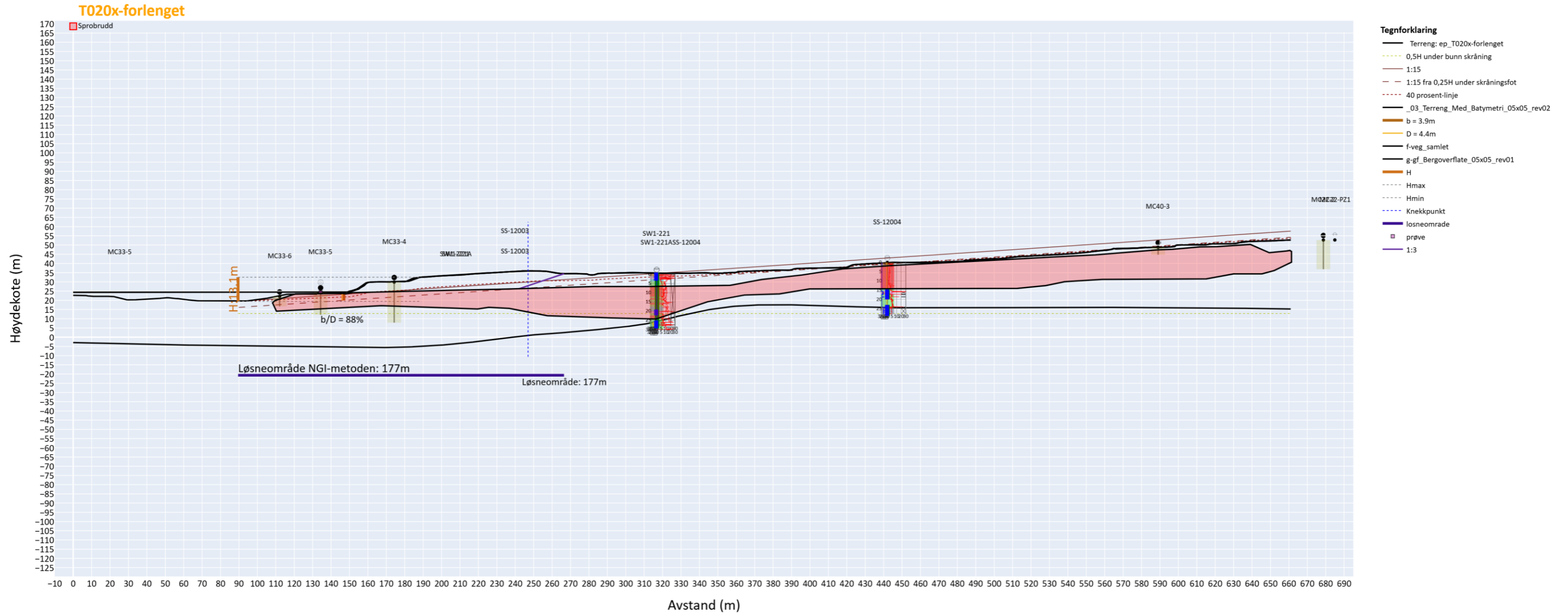


Tolket kvikkleirelag er basert på begrenset grunnlag og vil avvike fra virkeligheten. Snittet er kun ment som en illustrasjon på utførte vurderinger.

I enkelte punkter er det kun vist symbol, ikke tolkning. Tidligere utførte sonderinger som ikke foreligger på digitalt format, er vist med strek som indikerer dybden det er boret i. Disse punktene har ofte usikker plassering, og høyden er satt til dagens terrengnivå. Sonderingsprofilen er benyttet som støtte ved tolking av lagdeling og tillagt vekt avhengig av vurdert datakvalitet. Tolkning av laginndeling av sonderingsprofil er lagt ved snittet i form av fargekoding som beskrevet i 10245026-RIG-NOT-004.

Henvisninger: Referanser til rapporter med grunnundersøkelser er gitt i områdestabilitetsrapporten. Plantegning med plassering av snittene, og tilhørende løsneområde er vist på tegning nr. -RIG-TEG-001B.

### 3 T020x



- Borpunkt**
- MC22-2 -18.8m dreie
  - MC22-PZ1 +23.1m pz
  - MC33-4 +18.8m dreie
  - MC33-5 +9.2m dreie
  - MC33-5 +9.2m prøve
  - MC33-6 +3.7m dreie
  - MC40-3 -25.6m dreie
  - SS-12004 +8.3m total
  - SW1-221 -9.1m total
  - SW1-221A -9.1m total

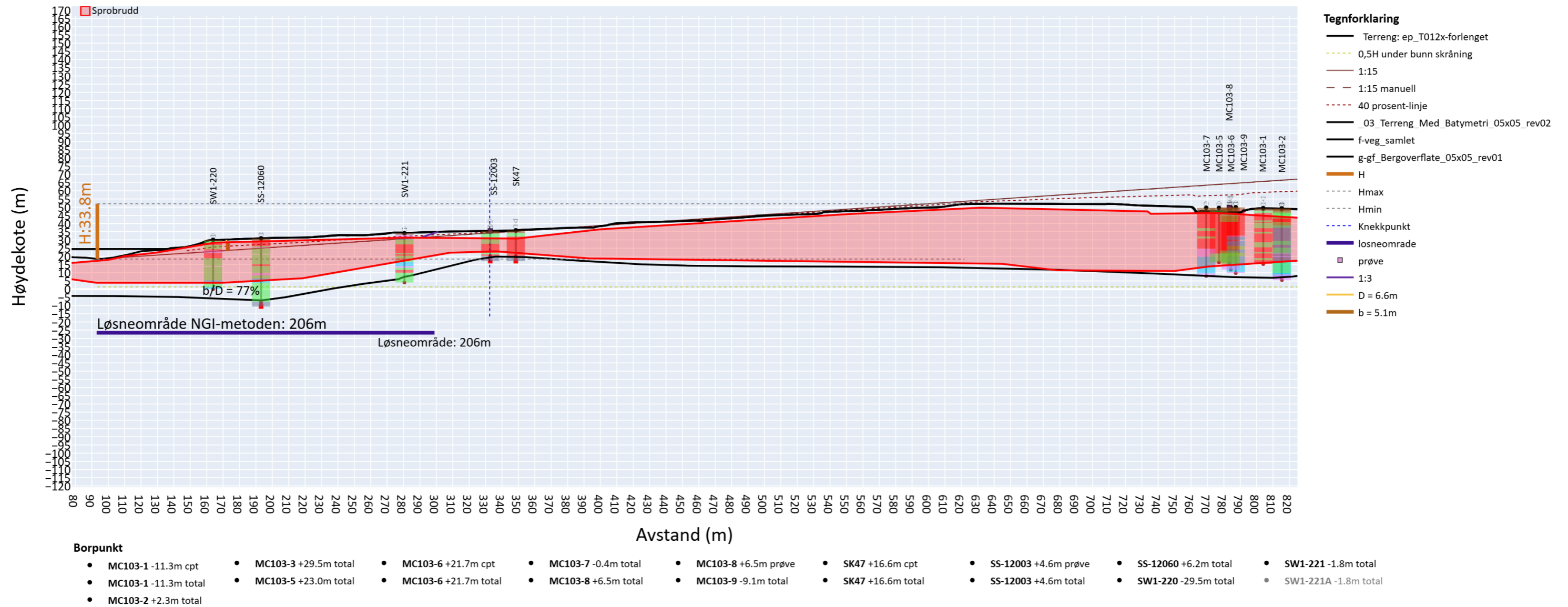
Tolket kvikkleirelag er basert på begrenset grunnlag og vil avvike fra virkeligheten. Snittet er kun ment som en illustrasjon på utførte vurderinger.

I enkelte punkter er det kun vist symbol, ikke tolkning. Tidligere utførte sonderinger som ikke foreligger på digitalt format, er vist med strek som indikerer dybden det er boret i. Disse punktene har ofte usikker plassering, og høyden er satt til dagens terrengnivå. Sonderingsprofilen er benyttet som støtte ved tolking av lagdeling og tillagt vekt avhengig av vurdert datakvalitet. Tolkning av laginndeling av sonderingsprofil er lagt ved snittet i form av fargekoding som beskrevet i 10245026-RIG-NOT-004.

Henvisninger: Referanser til rapporter med grunnundersøkelser er gitt i områdestabilitetsrapporten. Plantegning med plassering av snittene, og tilhørende løsneområde er vist på tegning nr. -RIG-TEG-001B.

## 4 T012x

## T012x-forlenget

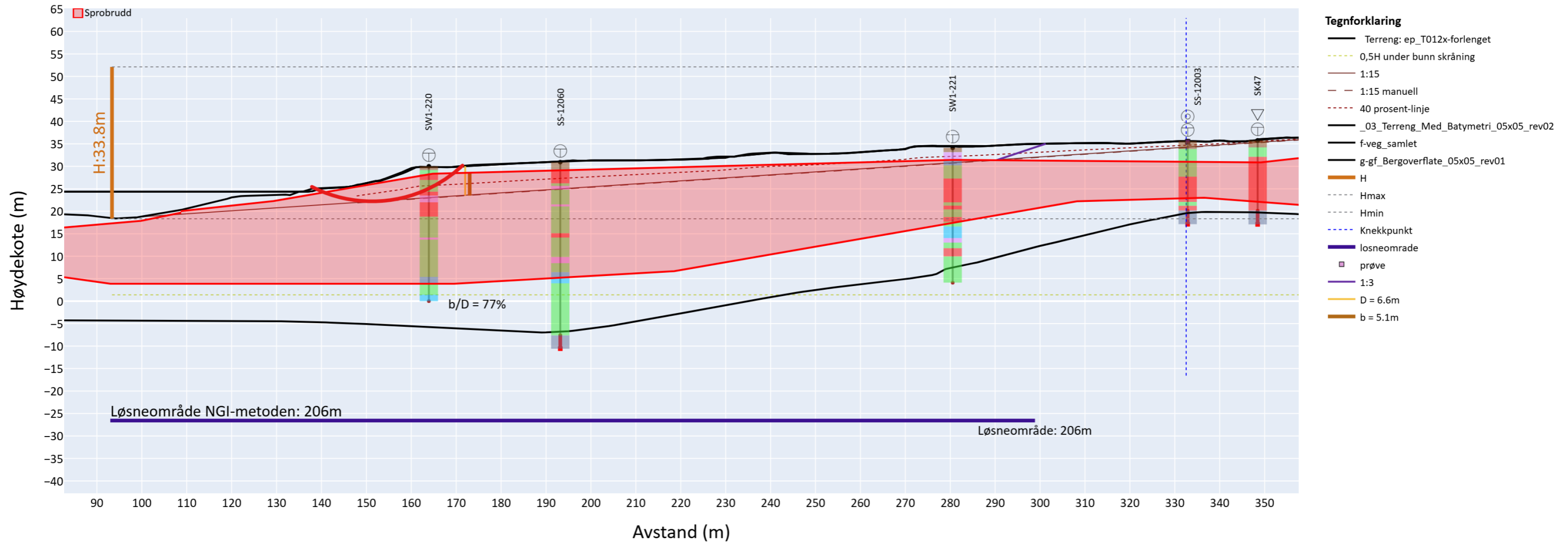


Tolket kvikkleirelag er basert på begrenset grunnlag og vil avvike fra virkeligheten. Snittet er kun ment som en illustrasjon på utførte vurderinger.

I enkelte punkter er det kun vist symbol, ikke tolkning. Tidligere utførte sonderinger som ikke foreligger på digitalt format, er vist med strek som indikerer dybden det er boret i. Disse punktene har ofte usikker plassering, og høyden er satt til dagens terrenghvå. Sonderingsprofilen er benyttet som støtte ved tolking av lagdeling og tillagt vekt avhengig av vurdert datakvalitet. Tolkning av laginndeling av sonderingsprofil er lagt ved snittet i form av fargekoding som beskrevet i 10245026-RIG-NOT-004.

Henvisninger: Referanser til rapporter med grunnundersøkelser er gitt i områdestabilitetsrapporten. Plantegning med plassering av snittene, og tilhørende løsneområde er vist på tegning nr. -RIG-TEG-001B.

T012x-forlenget



Borpunkt

- MC103-1 -11.3m cpt
- MC103-1 -11.3m total
- MC103-2 +2.3m total
- MC103-3 +29.5m total
- MC103-5 +23.0m total
- MC103-6 +21.7m cpt
- MC103-6 +21.7m total
- MC103-7 -0.4m total
- MC103-8 +6.5m total
- MC103-9 -9.1m total
- MC103-8 +6.5m prøve
- SK47 +16.6m cpt
- SK47 +16.6m total
- SS-12003 +4.6m prøve
- SS-12003 +4.6m total
- SS-12060 +6.2m total
- SW1-220 -29.5m total
- SW1-221 -1.8m total
- SW1-221A -1.8m total

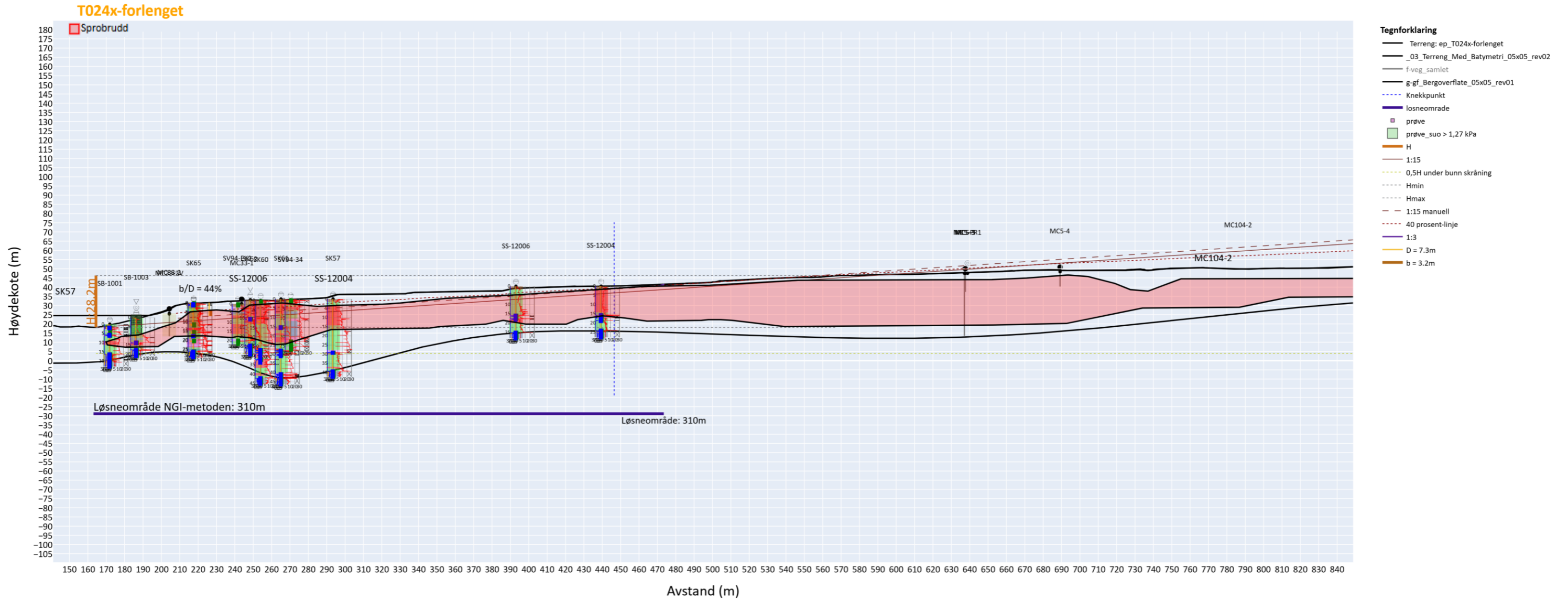
Kritisk glideflate er tegnet inn basert på totalspenningsanalysen av skråningen fra snitt BT001 vist på tegning RIG-TEG-800.1.

Tolket kvikkleirelag er basert på begrenset grunnlag og vil avvike fra virkeligheten. Snittet er kun ment som en illustrasjon på utførte vurderinger.

I enkelte punkter er det kun vist symbol, ikke tolkning. Tidligere utførte sonderinger som ikke foreligger på digitalt format, er vist med strek som indikerer dybden det er boret i. Disse punktene har ofte usikker plassering, og høyden er satt til dagens terrengnivå. Sonderingsprofilen er benyttet som støtte ved tolking av lagdeling og tillagt vekt avhengig av vurdert datakvalitet. Tolkning av laginndeling av sonderingsprofil er lagt ved snittet i form av fargekoding som beskrevet i 10245026-RIG-NOT-004.

Henvisninger: Referanser til rapporter med grunnundersøkelser er gitt i områdestabilitetsrapporten. Plantegning med plassering av snittene, og tilhørende løsneområde er vist på tegning nr. -RIG-TEG-001B.

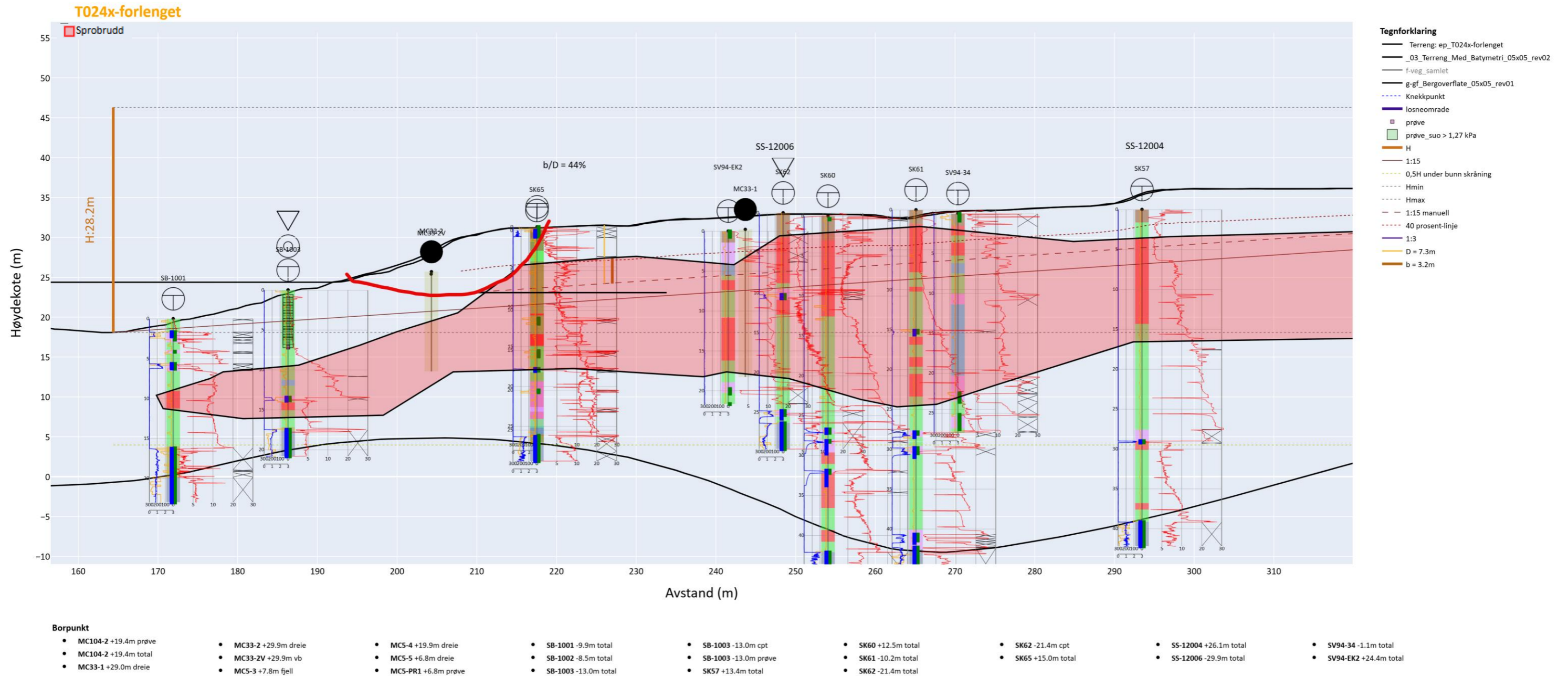
5 T024x



Tolket kvikkleirelag er basert på begrenset grunnlag og vil avvike fra virkeligheten. Snittet er kun ment som en illustrasjon på utførte vurderinger.

I enkelte punkter er det kun vist symbol, ikke tolkning. Tidligere utførte sonderinger som ikke foreligger på digitalt format, er vist med strek som indikerer dybden det er boret i. Disse punktene har ofte usikker plassering, og høyden er satt til dagens terrengnivå. Sonderingsprofilen er benyttet som støtte ved tolking av lagdeling og tillagt vekt avhengig av vurdert datakvalitet. Tolkning av laginndeling av sonderingsprofil er lagt ved snittet i form av fargekoding som beskrevet i 10245026-RIG-NOT-004.

Henvisninger: Referanser til rapporter med grunnundersøkelser er gitt i områdestabilitetsrapporten. Plantegning med plassering av snittene, og tilhørende løsneområde er vist på tegning nr. -RIG-TEG-001B.



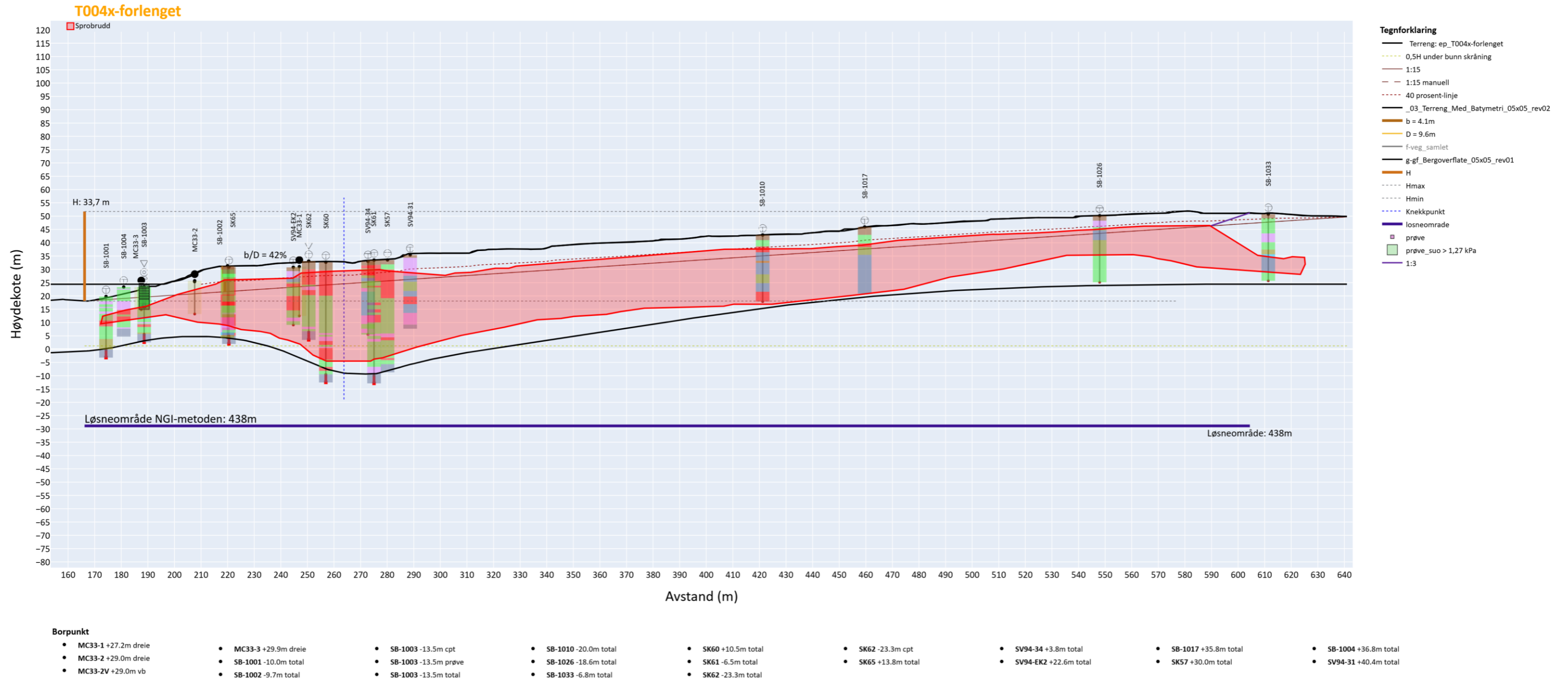
Kritisk glideflate er tegnet inn basert på totalspenningsanalysen av skråningen fra snitt BT002 vist på tegning RIG-TEG-801.1.

Tolket kvikkleirelag er basert på begrenset grunnlag og vil avvike fra virkeligheten. Snittet er kun ment som en illustrasjon på utførte vurderinger.

I enkelte punkter er det kun vist symbol, ikke tolkning. Tidligere utførte sonderinger som ikke foreligger på digitalt format, er vist med strek som indikerer dybden det er boret i. Disse punktene har ofte usikker plassering, og høyden er satt til dagens terrengnivå. Sonderingsprofilen er benyttet som støtte ved tolking av lagdeling og tillagt vekt avhengig av vurdert datakvalitet. Tolkning av laginndeling av sonderingsprofil er lagt ved snittet i form av fargekoding som beskrevet i 10245026-RIG-NOT-004.

Henvisninger: Referanser til rapporter med grunnundersøkelser er gitt i områdestabilitetsrapporten. Plantegning med plassering av snittene, og tilhørende løsneområde er vist på tegning nr. -RIG-TEG-001B.

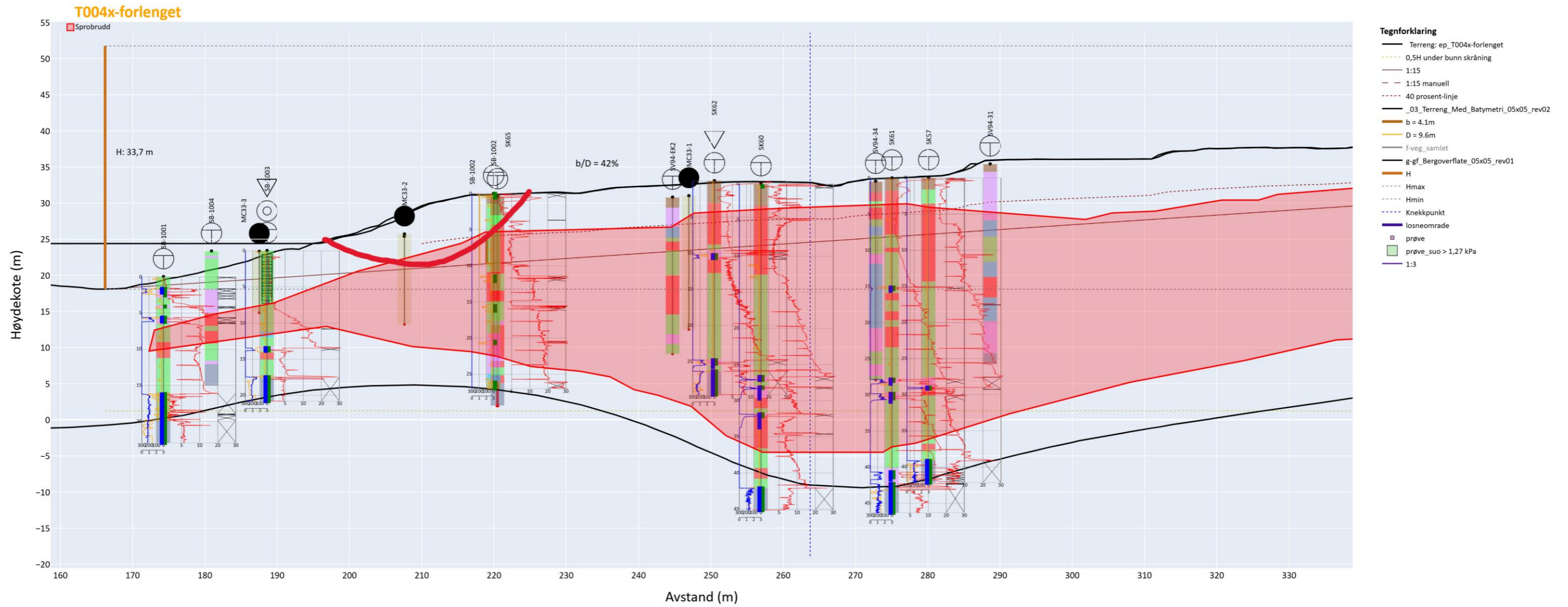
# 6 T004x



Tolket kvikkleirelag er basert på begrenset grunnlag og vil avvike fra virkeligheten. Snittet er kun ment som en illustrasjon på utførte vurderinger.

I enkelte punkter er det kun vist symbol, ikke tolkning. Tidligere utførte sonderinger som ikke foreligger på digitalt format, er vist med strek som indikerer dybden det er boret i. Disse punktene har ofte usikker plassering, og høyden er satt til dagens terrengnivå. Sonderingsprofilen er benyttet som støtte ved tolking av lagdeling og tillagt vekt avhengig av vurdert datakvalitet. Tolkning av laginndeling av sonderingsprofil er lagt ved snittet i form av fargekoding som beskrevet i 10245026-RIG-NOT-004.

Henvisninger: Referanser til rapporter med grunnundersøkelser er gitt i områdestabilitetsrapporten. Plantegning med plassering av snittene, og tilhørende løsneområde er vist på tegning nr. -RIG-TEG-001B.



| Borpunkt              |                        |                        |                        |                     |                     |                         |                        |                        |  |
|-----------------------|------------------------|------------------------|------------------------|---------------------|---------------------|-------------------------|------------------------|------------------------|--|
| • MC33-1 +27.2m dreie | • MC33-3 +29.9m dreie  | • SB-1003 -13.5m cpt   | • SB-1010 -20.0m total | • SK60 +10.5m total | • SK62 -23.3m cpt   | • SV94-34 +3.8m total   | • SB-1017 +35.8m total | • SB-1004 +36.8m total |  |
| • MC33-2 +29.0m dreie | • SB-1001 -10.0m total | • SB-1003 -13.5m prøve | • SB-1026 -18.6m total | • SK61 -6.5m total  | • SK65 +13.8m total | • SV94-EK2 +22.6m total | • SK57 +30.0m total    | • SV94-31 +40.4m total |  |
| • MC33-2V +29.0m vb   | • SB-1002 -9.7m total  | • SB-1003 -13.5m total | • SB-1033 -6.8m total  | • SK62 -23.3m total |                     |                         |                        |                        |  |

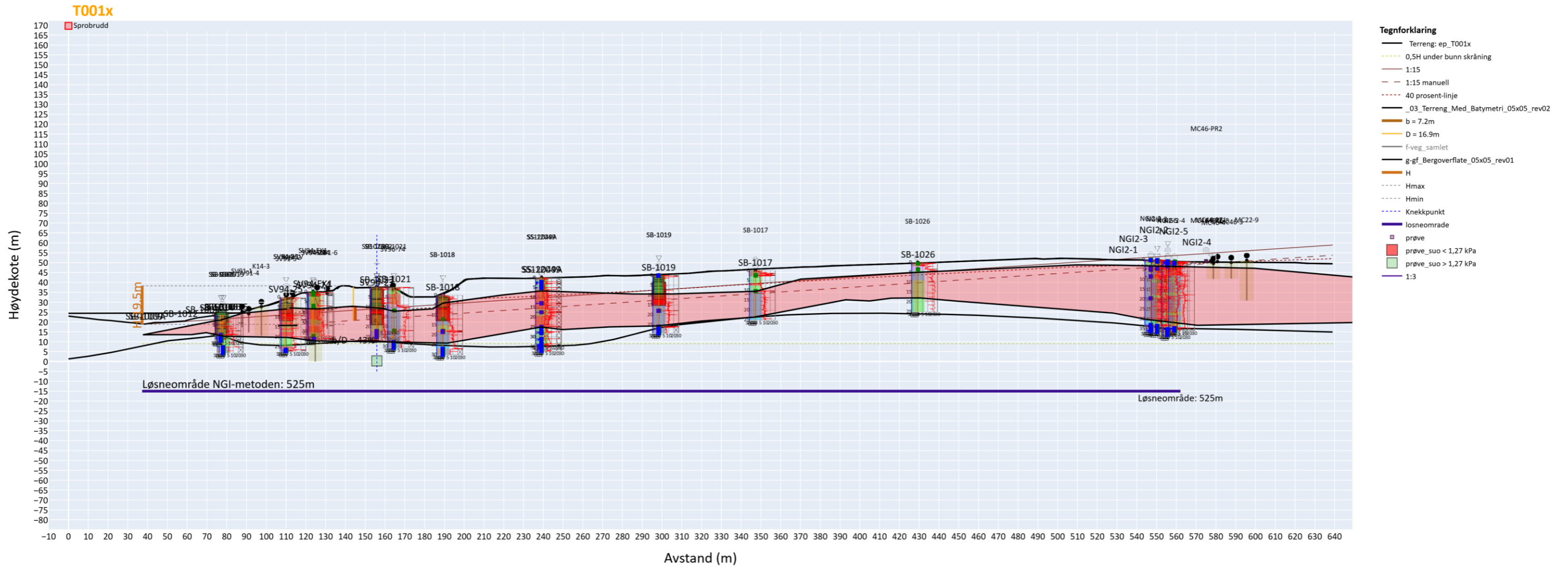
Kritisk glideflate er tegnet inn basert på totalspenningsanalysen av skråningen fra snitt BT002 vist på tegning RIG-TEG-801.1.

Tolket kvikkeirelag er basert på begrenset grunnlag og vil avvike fra virkeligheten. Snittet er kun ment som en illustrasjon på utførte vurderinger.

I enkelte punkter er det kun vist symbol, ikke tolkning. Tidligere utførte sonderinger som ikke foreligger på digitalt format, er vist med strek som indikerer dybden det er boret i. Disse punktene har ofte usikker plassering, og høyden er satt til dagens terrengnivå. Sonderingsprofilen er benyttet som støtte ved tolking av lagdeling og tillagt vekt avhengig av vurdert datakvalitet. Tolkning av laginndeling av sonderingsprofil er lagt ved snittet i form av fargekoding som beskrevet i 10245026-RIG-NOT-004.

Henvisninger: Referanser til rapporter med grunnundersøkelser er gitt i områdestabilitetsrapporten. Plantegning med plassering av snittene, og tilhørende løseområde er vist på tegning nr. -RIG-TEG-001B.

7 T001x



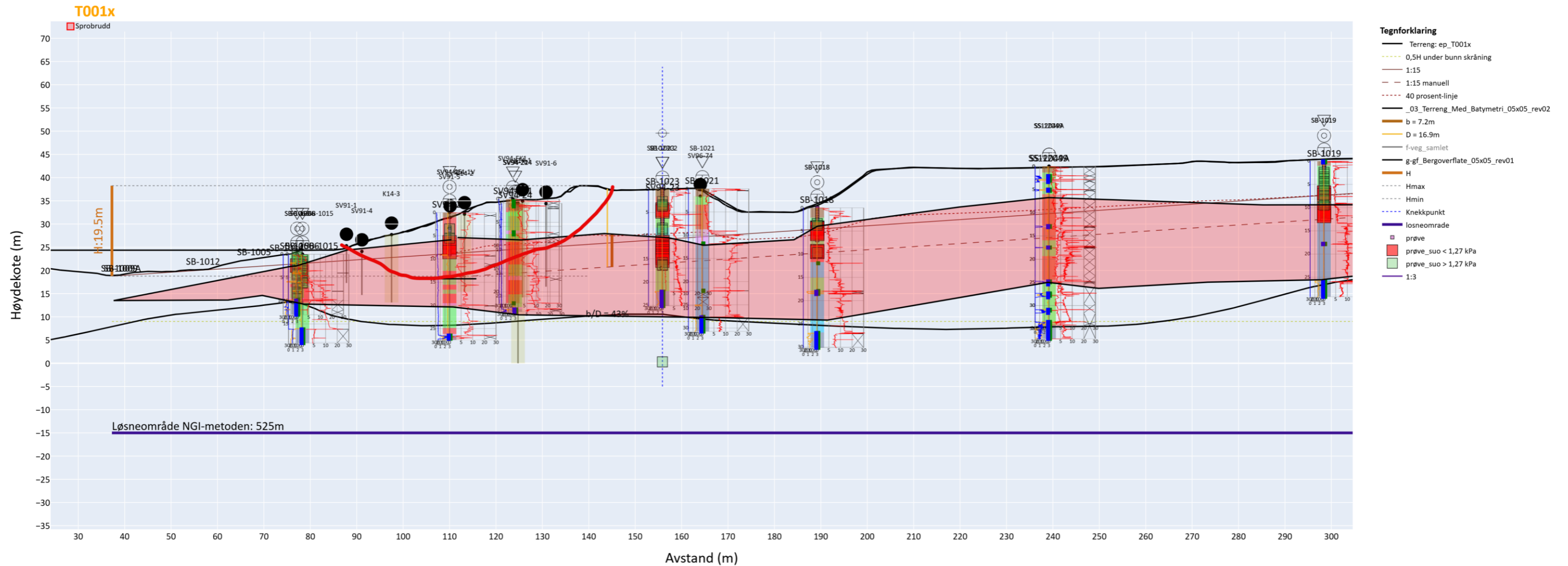
Borpunkt

- |  |   |   |   |   |   |   |   |  |
|--|---|---|---|---|---|---|---|--|
| <ul style="list-style-type: none"> <li>• K14-1 -5.4m dreie</li> <li>• K14-1V -4.5m vb</li> <li>• K14-2 -4.5m dreie</li> <li>• K14-3 -3.4m dreie</li> <li>• MC22-9 +28.6m dreie</li> <li>• MC46-3 +17.0m dreie</li> </ul> | <ul style="list-style-type: none"> <li>• MC46-4 +10.7m dreie</li> <li>• MC46-5 +27.1m dreie</li> <li>• MC46-PR2 +23.0m prøve</li> <li>• MC46-PZ1 +24.6m pz</li> <li>• NGI2-2 +16.8m cpt</li> <li>• NGI2-2 +16.8m total</li> </ul> | <ul style="list-style-type: none"> <li>• NGI2-3 +14.3m total</li> <li>• NGI2-4 +4.2m total</li> <li>• NGI2-5 -0.8m cpt</li> <li>• NGI2-5 -0.8m prøve</li> <li>• NGI2-5 -0.8m total</li> <li>• SB-1006 +26.9m total</li> </ul> | <ul style="list-style-type: none"> <li>• SB-1006 +26.9m cpt</li> <li>• SB-1006 +26.9m prøve</li> <li>• SB-1017 +22.0m pz</li> <li>• SB-1017 +22.0m total</li> <li>• SB-1018 +12.2m cpt</li> <li>• SB-1018 +12.2m total</li> </ul> | <ul style="list-style-type: none"> <li>• SB-1018 +12.2m prøve</li> <li>• SB-1019 +8.5m cpt</li> <li>• SB-1019 +8.5m prøve</li> <li>• SB-1019 +8.5m total</li> <li>• SB-1021 -5.8m cpt</li> <li>• SB-1021 -5.8m total</li> </ul> | <ul style="list-style-type: none"> <li>• SB-1023 -20.2m cpt</li> <li>• SB-1023 -20.2m pz</li> <li>• SB-1023 -20.2m total</li> <li>• SB-1026 -15.0m total</li> <li>• SB-1066 +0.9m cpt</li> <li>• SB-1066 +0.9m total</li> </ul> | <ul style="list-style-type: none"> <li>• SB-1066 +0.9m prøve</li> <li>• SB1023C2 -20.2m cpt</li> <li>• SS12049A -6.5m total</li> <li>• SV91-1 +29.8m dreie</li> <li>• SV91-4 +3.1m dreie</li> </ul> | <ul style="list-style-type: none"> <li>• SV91-5 +7.0m dreie</li> <li>• SV91-6 +10.7m dreie</li> <li>• SV94-24 -26.0m cpt</li> <li>• SV94-24 -26.0m total</li> <li>• SV94-25 -27.9m cpt</li> <li>• SV94-25 -27.9m total</li> </ul> | <ul style="list-style-type: none"> <li>• SV94-25 -27.9m prøve</li> <li>• SV94-EK1 +11.2m cpt</li> <li>• SV94-EK1 +11.2m total</li> <li>• SV94-Z24 -25.9m pz</li> <li>• SV96-74 +16.7m dreie</li> </ul> |
|--|---|---|---|---|---|---|---|--|

Tolket kvikkleirelag er basert på begrenset grunnlag og vil avvike fra virkeligheten. Snittet er kun ment som en illustrasjon på utførte vurderinger.

I enkelte punkter er det kun vist symbol, ikke tolkning. Tidligere utførte sonderinger som ikke foreligger på digitalt format, er vist med strek som indikerer dybden det er boret i. Disse punktene har ofte usikker plassering, og høyden er satt til dagens terrengnivå. Sonderingsprofilen er benyttet som støtte ved tolking av lagdeling og tillagt vekt avhengig av vurdert datakvalitet. Tolking av laginndeling av sonderingsprofil er lagt ved snittet i form av fargekoding som beskrevet i 10245026-RIG-NOT-004.

Henvisninger: Referanser til rapporter med grunnundersøkelser er gitt i områdestabilitetsrapporten. Plantegning med plassering av snittene, og tilhørende løsneområde er vist på tegning nr. -RIG-TEG-001B.



**Borpunkt**

- |  |   |   |   |   |   |   |   |  |
|--|---|---|---|---|---|---|---|--|
| <ul style="list-style-type: none"> <li>• K14-1 -5.4m dreie</li> <li>• K14-1V -4.5m vb</li> <li>• K14-2 -4.5m dreie</li> <li>• K14-3 -3.4m dreie</li> <li>• MC22-9 +28.6m dreie</li> <li>• MC46-3 +17.0m dreie</li> </ul> | <ul style="list-style-type: none"> <li>• MC46-4 +10.7m dreie</li> <li>• MC46-5 +27.1m dreie</li> <li>• MC46-PR2 +23.0m prøve</li> <li>• MC46-PZ1 +24.6m pz</li> <li>• NGI2-2 +16.8m cpt</li> <li>• NGI2-2 +16.8m total</li> </ul> | <ul style="list-style-type: none"> <li>• NGI2-3 +14.3m total</li> <li>• NGI2-4 +4.2m total</li> <li>• NGI2-5 -0.8m cpt</li> <li>• NGI2-5 -0.8m prøve</li> <li>• NGI2-5 -0.8m total</li> <li>• SB-1006 +26.9m total</li> </ul> | <ul style="list-style-type: none"> <li>• SB-1006 +26.9m cpt</li> <li>• SB-1006 +26.9m prøve</li> <li>• SB-1017 +22.0m pz</li> <li>• SB-1017 +22.0m total</li> <li>• SB-1018 +12.2m cpt</li> <li>• SB-1018 +12.2m total</li> </ul> | <ul style="list-style-type: none"> <li>• SB-1018 +12.2m prøve</li> <li>• SB-1019 +8.5m cpt</li> <li>• SB-1019 +8.5m prøve</li> <li>• SB-1019 +8.5m total</li> <li>• SB-1021 -5.8m cpt</li> <li>• SB-1021 -5.8m total</li> </ul> | <ul style="list-style-type: none"> <li>• SB-1023 -20.2m cpt</li> <li>• SB-1023 -20.2m pz</li> <li>• SB-1023 -20.2m total</li> <li>• SB-1026 -15.0m total</li> <li>• SB-1066 +0.9m cpt</li> <li>• SB-1066 +0.9m total</li> </ul> | <ul style="list-style-type: none"> <li>• SB-1066 +0.9m prøve</li> <li>• SB1023C2 -20.2m cpt</li> <li>• SS12049A -6.5m total</li> <li>• SS12049A -6.5m total</li> <li>• SV91-1 +29.8m dreie</li> <li>• SV91-4 +3.1m dreie</li> </ul> | <ul style="list-style-type: none"> <li>• SV91-5 +7.0m dreie</li> <li>• SV91-6 +10.7m dreie</li> <li>• SV94-24 -26.0m cpt</li> <li>• SV94-24 -26.0m total</li> <li>• SV94-25 -27.9m cpt</li> <li>• SV94-25 -27.9m total</li> </ul> | <ul style="list-style-type: none"> <li>• SV94-25 -27.9m prøve</li> <li>• SV94-EK1 +11.2m cpt</li> <li>• SV94-EK1 +11.2m total</li> <li>• SV94-Z24 -25.9m pz</li> <li>• SV96-74 +16.7m dreie</li> </ul> |
|--|---|---|---|---|---|---|---|--|

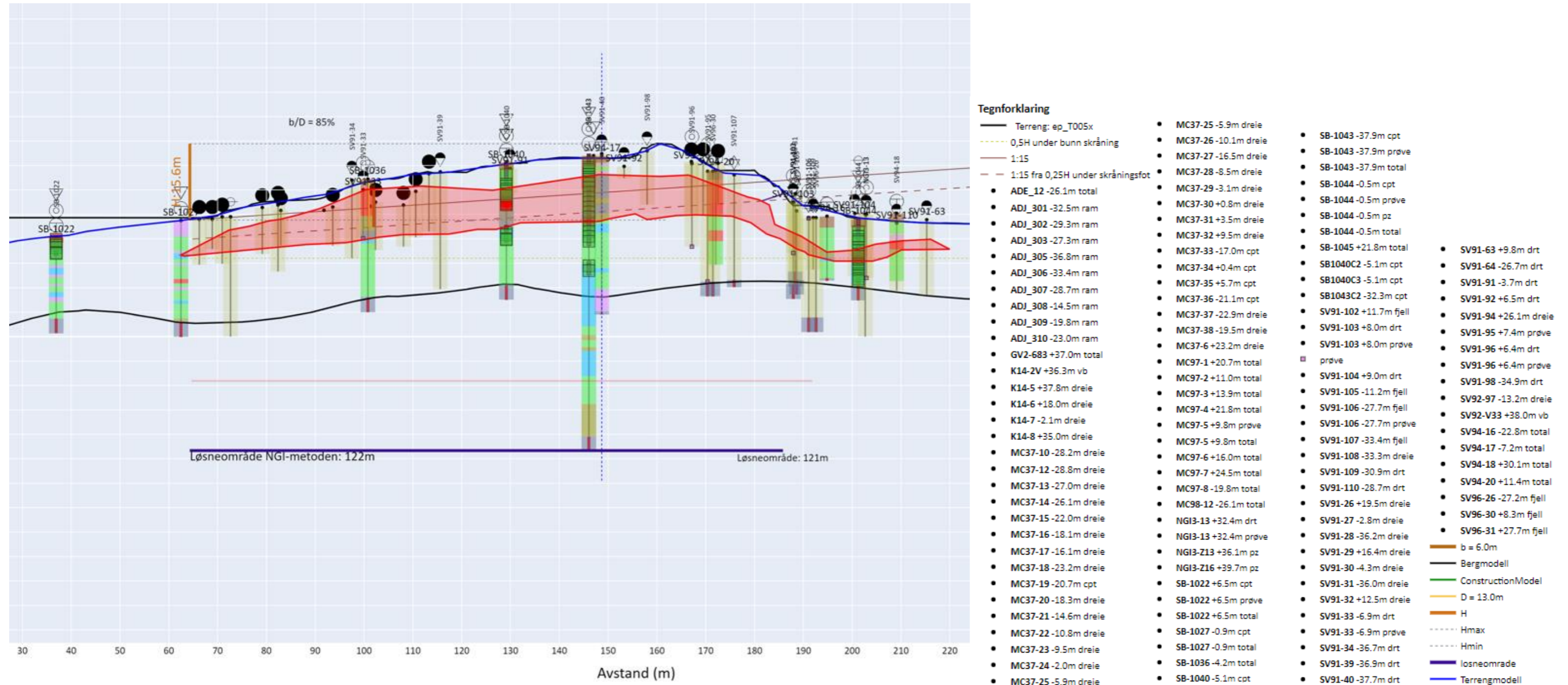
Kritisk glideflate er tegnet inn basert på totalspenningsanalysen av skrånningen fra snitt BT003 vist på tegning RIG-TEG-802.1.

Tolket kvikkeleirelag er basert på begrenset grunnlag og vil avvike fra virkeligheten. Snittet er kun ment som en illustrasjon på utførte vurderinger.

I enkelte punkter er det kun vist symbol, ikke tolkning. Tidligere utførte sonderinger som ikke foreligger på digitalt format, er vist med strek som indikerer dybden det er boret i. Disse punktene har ofte usikker plassering, og høyden er satt til dagens terrengnivå. Sonderingsprofilen er benyttet som støtte ved tolking av lagdeling og tillagt vekt avhengig av vurdert datakvalitet. Tolkning av laginndeling av sonderingsprofil er lagt ved snittet i form av fargekoding som beskrevet i 10245026-RIG-NOT-004.

Henvisninger: Referanser til rapporter med grunnundersøkelser er gitt i områdestabilitetsrapporten. Plantegning med plassering av snittene, og tilhørende løseområde er vist på tegning nr. -RIG-TEG-001B.

8 T005x

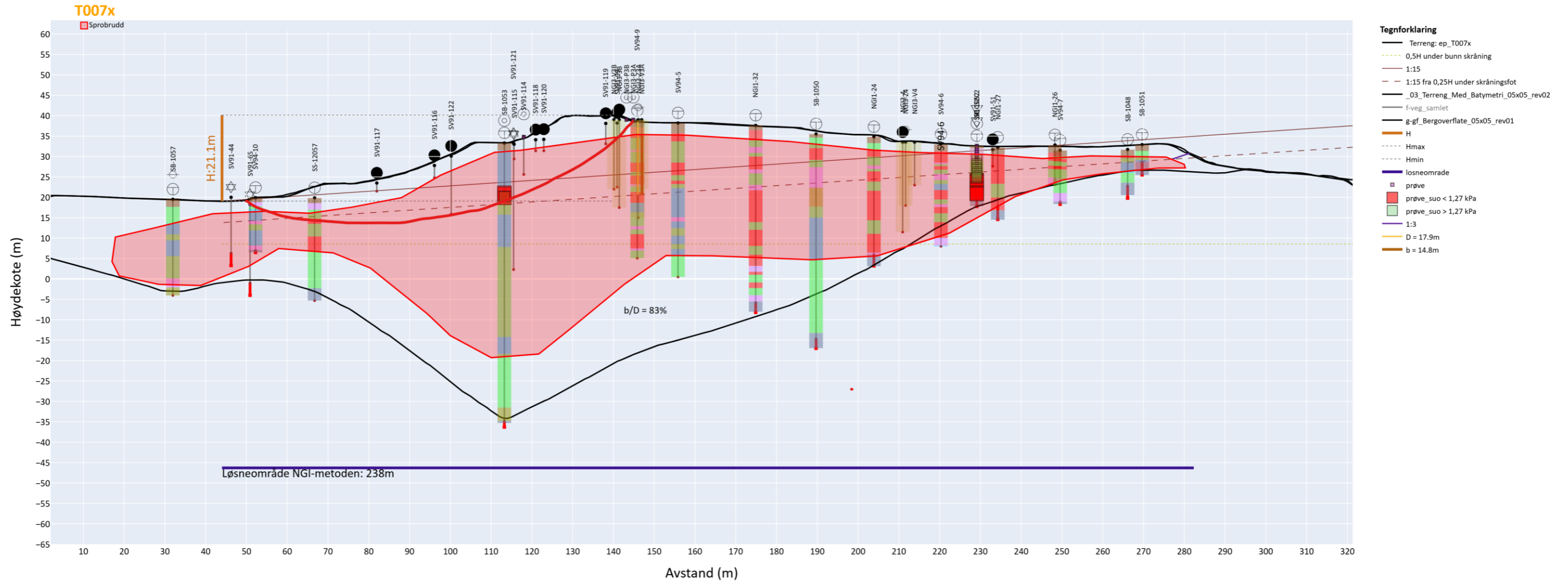


Tolket kvikkeirelag er basert på begrenset grunnlag og vil avvike fra virkeligheten. Snittet er kun ment som en illustrasjon på utførte vurderinger.

I enkelte punkter er det kun vist symbol, ikke tolkning. Tidligere utførte sonderinger som ikke foreligger på digitalt format, er vist med strek som indikerer dybden det er boret i. Disse punktene har ofte usikker plassering, og høyden er satt til dagens terrengnivå. Sonderingsprofilen er benyttet som støtte ved tolking av lagdeling og tillagt vekt avhengig av vurdert datakvalitet. Tolkning av laginndeling av sonderingsprofil er lagt ved snittet i form av fargekoding som beskrevet i 10245026-RIG-NOT-004.

Henvisninger: Referanser til rapporter med grunnundersøkelser er gitt i områdestabilitetsrapporten. Plantegning med plassering av snittene, og tilhørende løsneområde er vist på tegning nr. -RIG-TEG-001B.

9 T007x



Borpunkt

- |                        |                         |                        |                       |                         |                         |                         |                        |                       |
|------------------------|-------------------------|------------------------|-----------------------|-------------------------|-------------------------|-------------------------|------------------------|-----------------------|
| • NGI1-24 +11.4m total | • NGI3-4 -9.9m dreie    | • NGI3-V4 -11.7m vb    | • SB-1051 +8.9m total | • SB-1053 -0.7m prøve   | • SV91-114 -23.6m prøve | • SV91-119 +7.3m dreie  | • SV91-51 -25.1m dreie | • SV94-5 +17.0m total |
| • NGI1-26 +27.0m total | • NGI3-P3A +14.6m prøve | • NGI3-Z3A +17.7m pz   | • SB-1052 +7.3m cpt   | • SB-1057 -1.2m pz      | • SV91-115 -23.7m fjell | • SV91-120 +15.5m dreie | • SV91-65 +25.6m fjell | • SV94-6 -13.2m total |
| • NGI1-27 -5.9m total  | • NGI3-P3B +20.6m prøve | • NGI3-Z4 -7.0m pz     | • SB-1052 +7.3m prøve | • SB-1057 -1.2m total   | • SV91-116 -23.0m dreie | • SV91-121 +16.1m fjell | • SV91-99 -24.8m dreie | • SV94-7 -23.9m total |
| • NGI1-32 +28.7m total | • NGI3-V3A +22.8m vb    | • SB-1048 -10.9m total | • SB-1052 +7.3m total | • SB1052C2 +7.3m cpt    | • SV91-117 -22.0m dreie | • SV91-122 +17.2m dreie | • SV94-10 -20.0m total | • SV94-9 -20.4m total |
| • NGI3-3B +18.1m dreie | • NGI3-V3B +20.5m vb    | • SB-1050 -26.6m total | • SB-1053 -0.7m total | • SS-12057 +17.3m total | • SV91-118 -3.8m dreie  | • SV91-44 -21.7m fjell  |                        |                       |

Kritisk glideflate er tegnet inn basert på totalspenningsanalysen av skråningen fra snitt BT008 vist på tegning RIG-TEG-807.1

Tolket kvikkeirelag er basert på begrenset grunnlag og vil avvike fra virkeligheten. Snittet er kun ment som en illustrasjon på utførte vurderinger.

I enkelte punkter er det kun vist symbol, ikke tolkning. Tidligere utførte sonderinger som ikke foreligger på digitalt format, er vist med strek som indikerer dybden det er boret i. Disse punktene har ofte usikker plassering, og høyden er satt til dagens terrengnivå. Sonderingsprofilen er benyttet som støtte ved tolking av lagdeling og tillagt vekt avhengig av vurdert datakvalitet. Tolkning av laginndeling av sonderingsprofil er lagt ved snittet i form av fargekoding som beskrevet i 10245026-RIG-NOT-004.

Henvisninger: Referanser til rapporter med grunnundersøkelser er gitt i områdestabilitetsrapporten. Plantegning med plassering av snittene, og tilhørende løsneområde er vist på tegning nr. -RIG-TEG-001B.

10 T006x

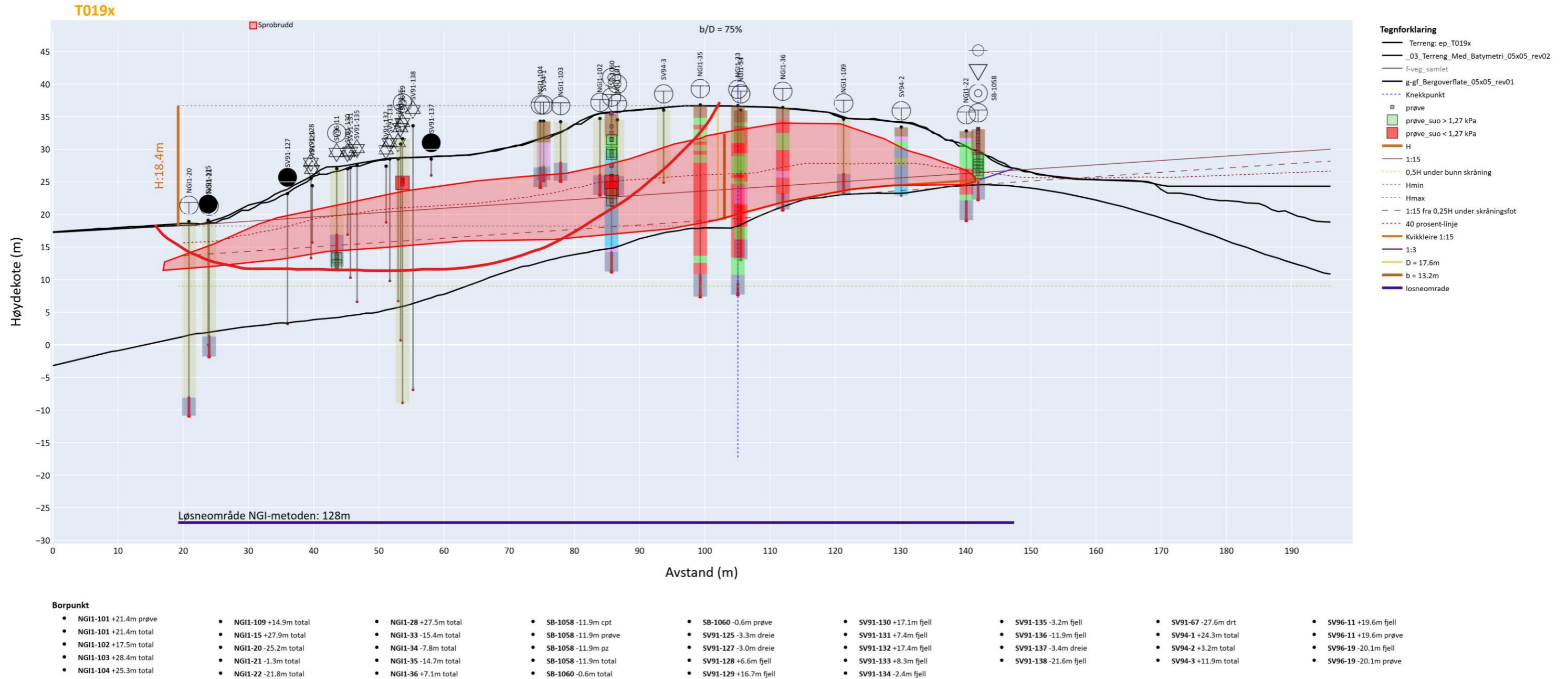


Tolket kvikkleirelag er basert på begrenset grunnlag og vil avvike fra virkeligheten. Snittet er kun ment som en illustrasjon på utførte vurderinger.

I enkelte punkter er det kun vist symbol, ikke tolkning. Tidligere utførte sonderinger som ikke foreligger på digitalt format, er vist med strek som indikerer dybden det er boret i. Disse punktene har ofte usikker plassering, og høyden er satt til dagens terrengnivå. Sonderingsprofilen er benyttet som støtte ved tolking av lagdeling og tillagt vekt avhengig av vurdert datakvalitet. Tolkning av laginndeling av sonderingsprofil er lagt ved snittet i form av fargekoding som beskrevet i 10245026-RIG-NOT-004.

Henvisninger: Referanser til rapporter med grunnundersøkelser er gitt i områdestabilitetsrapporten. Plantegning med plassering av snittene, og tilhørende løsneområde er vist på tegning nr. -RIG-TEG-001B.

11 T019x



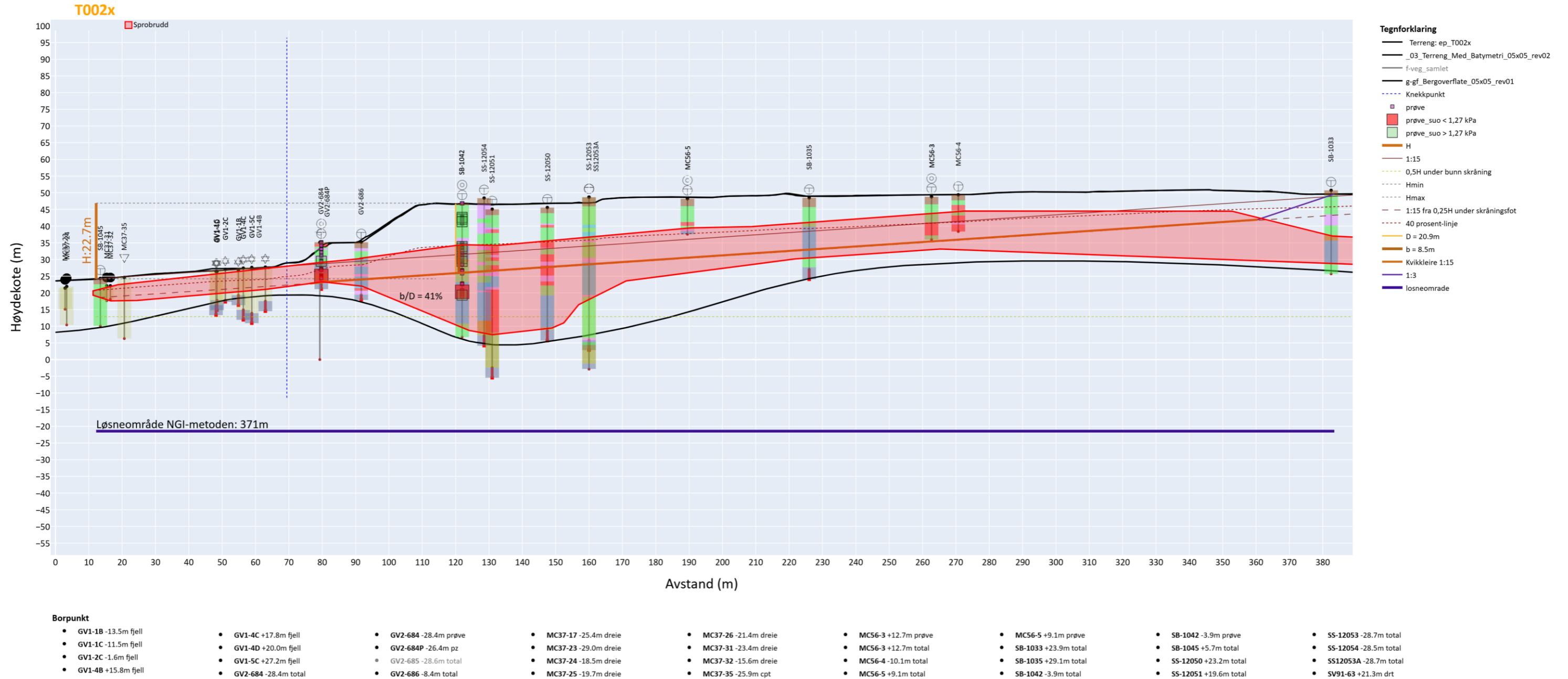
Kritisk glideflate er tegnet inn basert på totalspenningsanalysen av skrånningen fra snitt BT010 vist på tegning RIG-TEG-809.1

Tolket kvikkleirelag er basert på begrenset grunnlag og vil avvike fra virkeligheten. Snittet er kun ment som en illustrasjon på utførte vurderinger.

I enkelte punkter er det kun vist symbol, ikke tolkning. Tidligere utførte sonderinger som ikke foreligger på digitalt format, er vist med strek som indikerer dybden det er boret i. Disse punktene har ofte usikker plassering, og høyden er satt til dagens terrengnivå. Sonderingsprofilen er benyttet som støtte ved tolking av lagdeling og tillagt vekt avhengig av vurdert datakvalitet. Tolkning av laginndeling av sonderingsprofil er lagt ved snittet i form av fargekoding som beskrevet i 10245026-RIG-NOT-004.

Henvisninger: Referanser til rapporter med grunnundersøkelser er gitt i områdestabilitetsrapporten. Plantegning med plassering av snittene, og tilhørende løsneområde er vist på tegning nr. -RIG-TEG-001B.

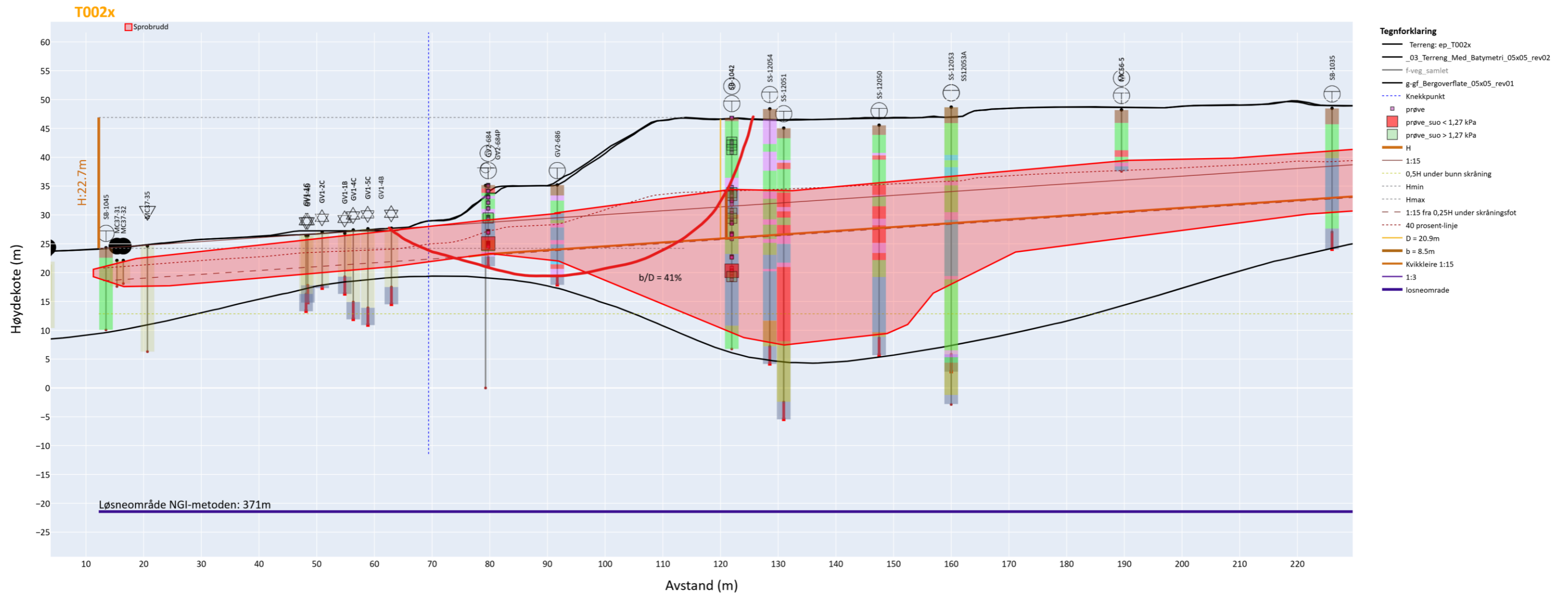
# 12 T002x



Tolket kvikkleirelag er basert på begrenset grunnlag og vil avvike fra virkeligheten. Snittet er kun ment som en illustrasjon på utførte vurderinger.

I enkelte punkter er det kun vist symbol, ikke tolkning. Tidligere utførte sonderinger som ikke foreligger på digitalt format, er vist med strek som indikerer dybden det er boret i. Disse punktene har ofte usikker plassering, og høyden er satt til dagens terrengnivå. Sonderingsprofilen er benyttet som støtte ved tolking av lagdeling og tillagt vekt avhengig av vurdert datakvalitet. Tolkning av laginndeling av sonderingsprofil er lagt ved snittet i form av fargekoding som beskrevet i 10245026-RIG-NOT-004.

Henvisninger: Referanser til rapporter med grunnundersøkelser er gitt i områdestabilitetsrapporten. Plantegning med plassering av snittene, og tilhørende løsneområde er vist på tegning nr. -RIG-TEG-001B.



**Borpunkt**

|   |   |   |  |  |   |   |  |   |
|---|---|---|--|--|---|---|--|---|
| <ul style="list-style-type: none"> <li>GV1-1B -13.5m fjell</li> <li>GV1-1C -11.5m fjell</li> <li>GV1-2C -1.6m fjell</li> <li>GV1-4B +15.8m fjell</li> </ul> | <ul style="list-style-type: none"> <li>GV1-4C +17.8m fjell</li> <li>GV1-4D +20.0m fjell</li> <li>GV1-5C +27.2m fjell</li> <li>GV2-684 -28.4m total</li> </ul> | <ul style="list-style-type: none"> <li>GV2-684 -28.4m prøve</li> <li>GV2-684P -26.4m pz</li> <li>GV2-685 -28.6m total</li> <li>GV2-686 -8.4m total</li> </ul> | <ul style="list-style-type: none"> <li>MC37-17 -25.4m dreie</li> <li>MC37-23 -29.0m dreie</li> <li>MC37-24 -18.5m dreie</li> <li>MC37-25 -19.7m dreie</li> </ul> | <ul style="list-style-type: none"> <li>MC37-26 -21.4m dreie</li> <li>MC37-31 -23.4m dreie</li> <li>MC37-32 -15.6m dreie</li> <li>MC37-35 -25.9m cpt</li> </ul> | <ul style="list-style-type: none"> <li>MC56-3 +12.7m prøve</li> <li>MC56-3 +12.7m total</li> <li>MC56-4 -10.1m total</li> <li>MC56-5 +9.1m total</li> </ul> | <ul style="list-style-type: none"> <li>MC56-5 +9.1m prøve</li> <li>SB-1033 +23.9m total</li> <li>SB-1035 +29.1m total</li> <li>SB-1042 -3.9m total</li> </ul> | <ul style="list-style-type: none"> <li>SB-1042 -3.9m prøve</li> <li>SB-1045 +5.7m total</li> <li>SS-12050 +23.2m total</li> <li>SS-12051 +19.6m total</li> </ul> | <ul style="list-style-type: none"> <li>SS-12053 -28.7m total</li> <li>SS-12054 -28.5m total</li> <li>SS12053A -28.7m total</li> <li>SV91-63 +21.3m drt</li> </ul> |
|---|---|---|--|--|---|---|--|---|

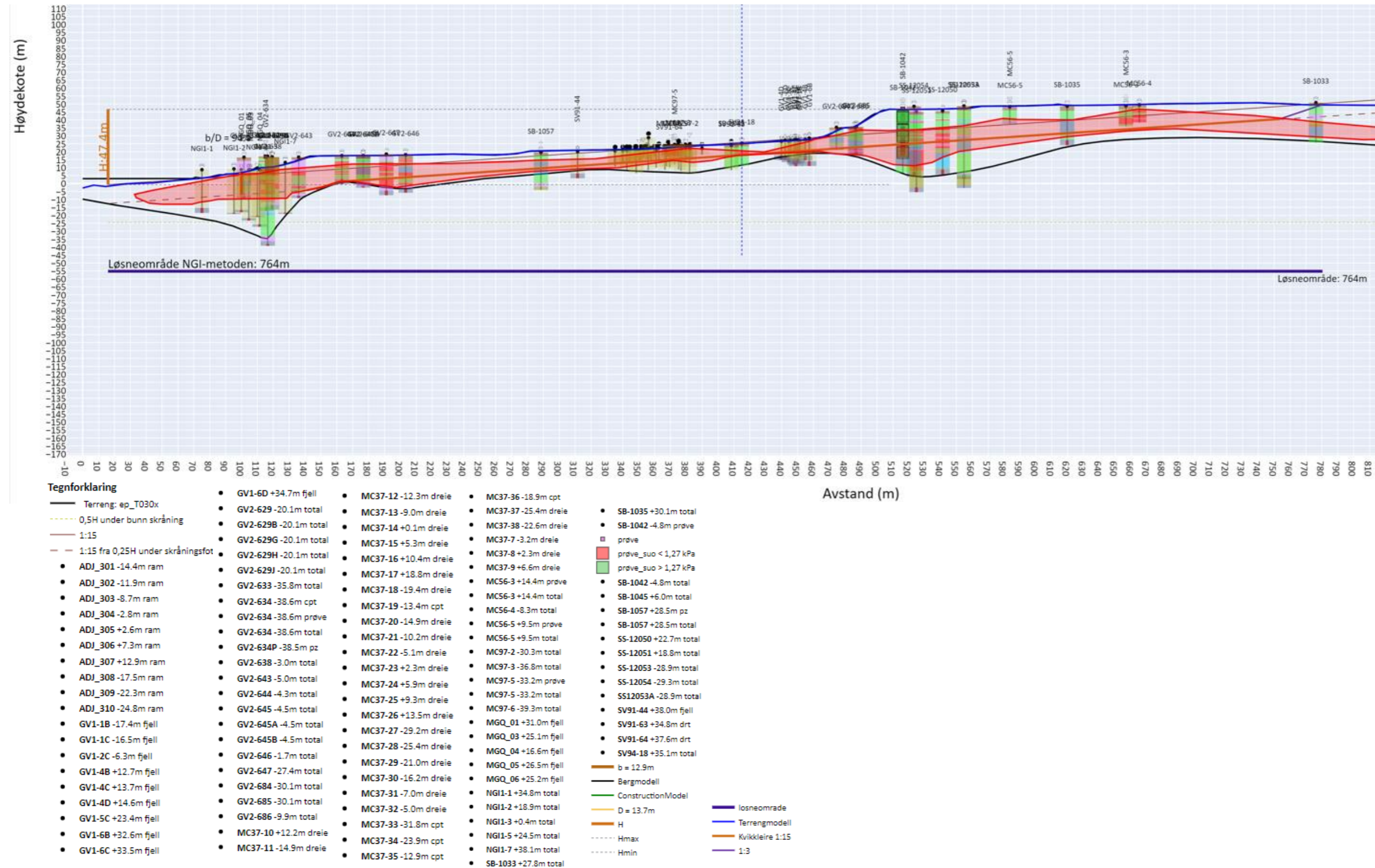
Skredmekanismen kunne blitt vurdert som rotasjonsskred i det aktuelle snittet pga. lagdelte grunnforhold i bakkant glideflate som trolig ville gitt  $b/D < 40\%$ . Likevel, grunnet lite grunnlag og retrogressiv skredmekanisme i tilstøtende snitt, er det samlet sett vurdert retrogressiv skredmekanisme i skråningen. Kritisk glideflate er tegnet inn basert på totalspenningsanalysen av skråningen fra snitt BT014 vist på tegning RIG-TEG-813.1.

Tolket kvikkleirelag er basert på begrenset grunnlag og vil avvike fra virkeligheten. Snittet er kun ment som en illustrasjon på utførte vurderinger.

I enkelte punkter er det kun vist symbol, ikke tolkning. Tidligere utførte sonderinger som ikke foreligger på digitalt format, er vist med strek som indikerer dybden det er boret i. Disse punktene har ofte usikker plassering, og høyden er satt til dagens terrengnivå. Sonderingsprofilen er benyttet som støtte ved tolking av lagdeling og tillagt vekt avhengig av vurdert datakvalitet. Tolkning av laginndeling av sonderingsprofil er lagt ved snittet i form av fargekoding som beskrevet i 10245026-RIG-NOT-004.

Henvisninger: Referanser til rapporter med grunnundersøkelser er gitt i områdestabilitetsrapporten. Plantegning med plassering av snittene, og tilhørende løseområde er vist på tegning nr. -RIG-TEG-001B.

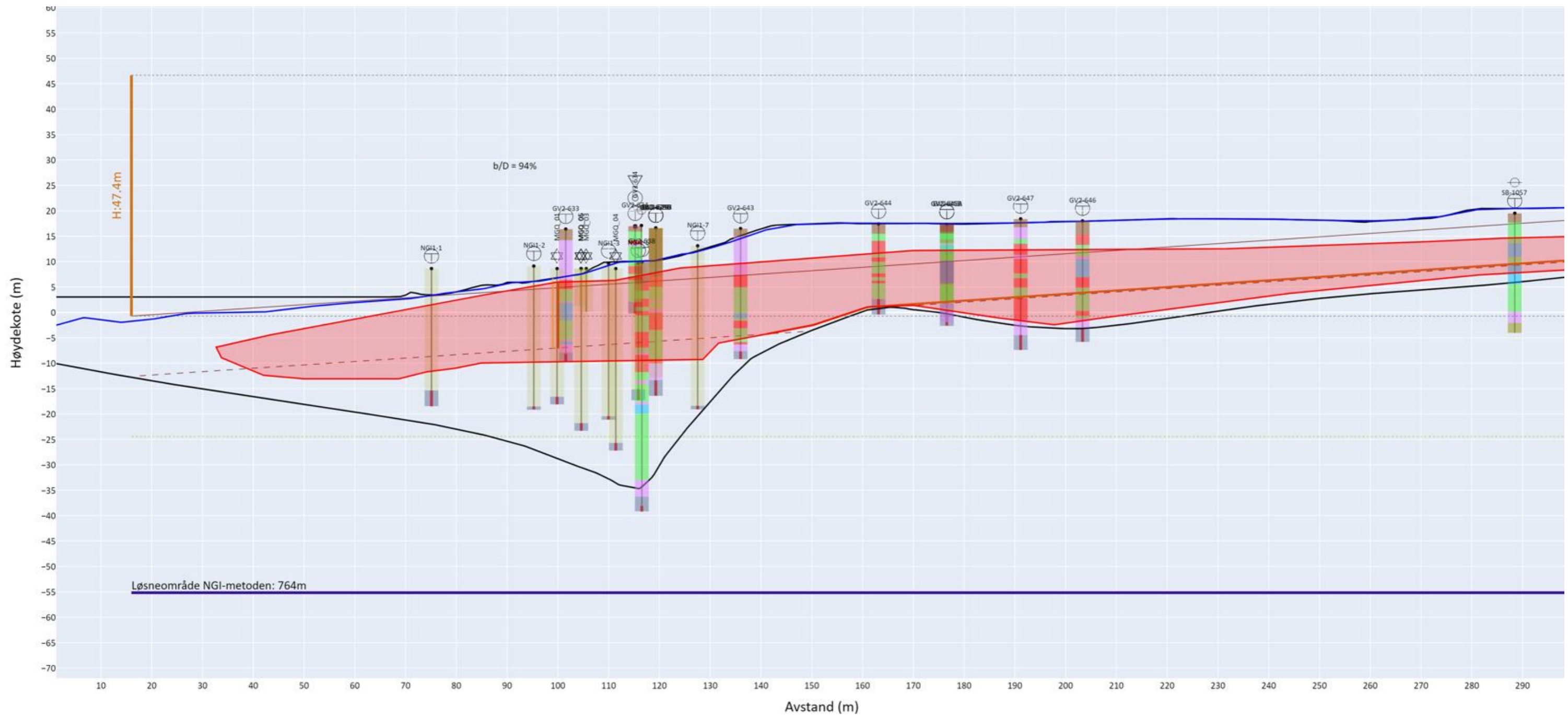
13 T030x



Tolket kvikkleirelag er basert på begrenset grunnlag og vil avvike fra virkeligheten. Snittet er kun ment som en illustrasjon på utførte vurderinger.

I enkelte punkter er det kun vist symbol, ikke tolkning. Tidligere utførte sonderinger som ikke foreligger på digitalt format, er vist med strek som indikerer dybden det er boret i. Disse punktene har ofte usikker plassering, og høyden er satt til dagens terrengnivå. Sonderingsprofilen er benyttet som støtte ved tolking av lagdeling og tillagt vekt avhengig av vurdert datakvalitet. Tolkning av laginndeling av sonderingsprofil er lagt ved snittet i form av fargekoding som beskrevet i 10245026-RIG-NOT-004.

Henvisninger: Referanser til rapporter med grunnundersøkelser er gitt i områdestabilitetsrapporten. Plantegning med plassering av snittene, og tilhørende løsneområde er vist på tegning nr. -RIG-TEG-001B.

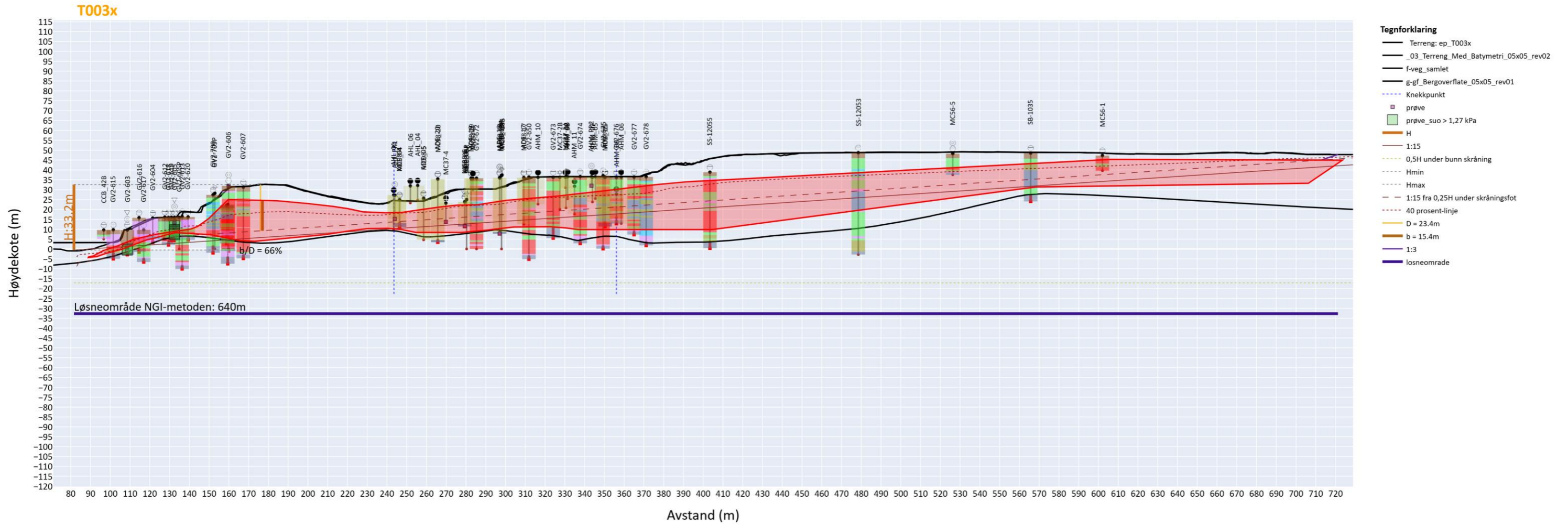


Tolket kvikkleirelag er basert på begrenset grunnlag og vil avvike fra virkeligheten. Snittet er kun ment som en illustrasjon på utførte vurderinger.

I enkelte punkter er det kun vist symbol, ikke tolkning. Tidligere utførte sonderinger som ikke foreligger på digitalt format, er vist med strek som indikerer dybden det er boret i. Disse punktene har ofte usikker plassering, og høyden er satt til dagens terrenghøyde. Sonderingsprofilen er benyttet som støtte ved tolking av lagdeling og tillagt vekt avhengig av vurdert datakvalitet. Tolkning av laginndeling av sonderingsprofil er lagt ved snittet i form av fargekoding som beskrevet i 10245026-RIG-NOT-004.

Henvisninger: Referanser til rapporter med grunnundersøkelser er gitt i områdestabilitetsrapporten. Plantegning med plassering av snittene, og tilhørende løsneområde er vist på tegning nr. -RIG-TEG-001B.

14 T003x



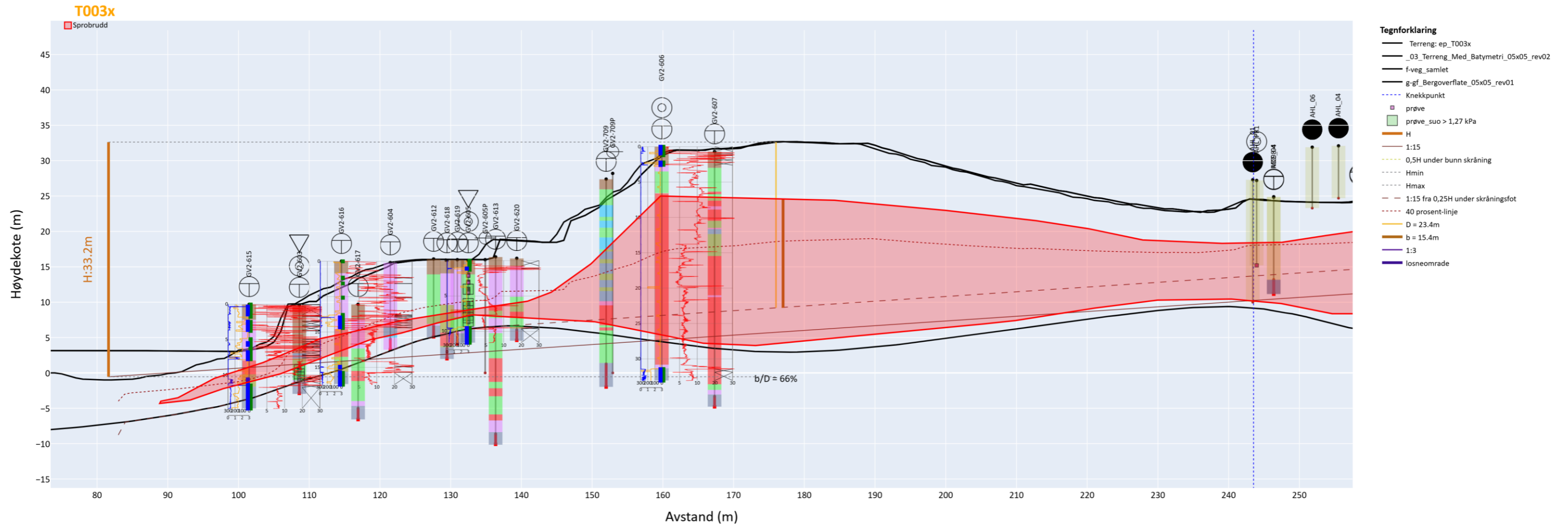
**Borpunkt**

|   |  |   |  |   |  |  |   |   |
|---|--|---|--|---|--|--|---|---|
| <ul style="list-style-type: none"> <li>ADE_04 -17.5m total</li> <li>ADE_05 -4.3m total</li> <li>ADE_06 +17.7m prøve</li> <li>ADE_06 +17.7m total</li> <li>ADE_06P +18.3m pz</li> <li>ADE_15 +11.1m total</li> <li>ADE_17 +8.3m total</li> <li>ADE_18 -7.0m prøve</li> <li>ADE_18 -7.0m total</li> <li>ADE_18P -9.8m pz</li> </ul> | <ul style="list-style-type: none"> <li>ADE_19 -14.7m total</li> <li>ADE_20 -24.7m total</li> <li>AHL_01 -22.4m dreie</li> <li>AHL_04 -19.8m dreie</li> <li>AHL_06 -23.3m dreie</li> <li>AHL_PR1 -21.3m prøve</li> <li>AHM_02 -14.4m dreie</li> <li>AHM_05 -2.2m dreie</li> <li>AHM_06 +7.2m dreie</li> </ul> | <ul style="list-style-type: none"> <li>AHM_07 -14.8m dreie</li> <li>AHM_08 +3.0m dreie</li> <li>AHM_09 +22.9m dreie</li> <li>AHM_10 +10.1m dreie</li> <li>AHM_11 +15.4m dreie</li> <li>AHM_PR2 -3.3m prøve</li> <li>CCB_42B -23.4m total</li> <li>GV2-603 -0.1m cpt</li> <li>GV2-603 -0.1m total</li> </ul> | <ul style="list-style-type: none"> <li>GV2-603 -0.1m prøve</li> <li>GV2-604 -4.4m total</li> <li>GV2-605 -6.3m cpt</li> <li>GV2-605 -6.3m prøve</li> <li>GV2-605 -6.3m total</li> <li>GV2-605P -0.4m pz</li> <li>GV2-606 -17.7m prøve</li> <li>GV2-606 -17.7m total</li> <li>GV2-607 -20.3m total</li> </ul> | <ul style="list-style-type: none"> <li>GV2-612 -19.9m total</li> <li>GV2-613 +23.3m total</li> <li>GV2-615 -13.5m total</li> <li>GV2-616 -19.4m total</li> <li>GV2-617 +16.7m total</li> <li>GV2-618 +13.0m total</li> <li>GV2-619 +3.0m total</li> <li>GV2-620 +10.6m total</li> <li>GV2-636 +16.9m total</li> </ul> | <ul style="list-style-type: none"> <li>GV2-636S +16.5m total</li> <li>GV2-650 -21.2m total</li> <li>GV2-672 -23.6m total</li> <li>GV2-673 +6.3m total</li> <li>GV2-674 +0.3m total</li> <li>GV2-675 -18.4m total</li> <li>GV2-676 +19.0m total</li> <li>GV2-677 +12.4m total</li> <li>GV2-678 +3.0m total</li> </ul> | <ul style="list-style-type: none"> <li>GV2-709 -20.2m total</li> <li>GV2-709P -21.5m pz</li> <li>MC37-2A +4.9m dreie</li> <li>MC37-2B +4.5m fjell</li> <li>MC37-3 -6.9m dreie</li> <li>MC37-4 +10.7m dreie</li> <li>MC37-4 +10.7m prøve</li> <li>MC56-1 +16.8m total</li> <li>MC56-5 +24.4m total</li> </ul> | <ul style="list-style-type: none"> <li>MC56-5 +24.4m prøve</li> <li>MC98-15 +11.1m total</li> <li>MC98-17 +8.3m total</li> <li>MC98-18 -7.0m prøve</li> <li>MC98-18 -7.0m total</li> <li>MC98-18A -9.8m pz</li> <li>MC98-18B -10.3m pz</li> <li>MC98-19 -14.7m total</li> <li>MC98-20 -24.7m total</li> </ul> | <ul style="list-style-type: none"> <li>MC98-4 -17.5m total</li> <li>MC98-5 -4.3m total</li> <li>MC98-6 +17.7m prøve</li> <li>MC98-6 +17.7m total</li> <li>MC98-6A +18.3m pz</li> <li>SB-1035 +11.2m total</li> <li>SS-12053 +20.3m total</li> <li>SS-12055 +16.8m total</li> <li>SS12053A +20.3m total</li> </ul> |
|---|--|---|--|---|--|--|---|---|

Tolket kvikkleirelag er basert på begrenset grunnlag og vil avvike fra virkeligheten. Snittet er kun ment som en illustrasjon på utførte vurderinger.

I enkelte punkter er det kun vist symbol, ikke tolkning. Tidligere utførte sonderinger som ikke foreligger på digitalt format, er vist med strek som indikerer dybden det er boret i. Disse punktene har ofte usikker plassering, og høyden er satt til dagens terrengnivå. Sonderingsprofilen er benyttet som støtte ved tolking av lagdeling og tillagt vekt avhengig av vurdert datakvalitet. Tolkning av laginndeling av sonderingsprofil er lagt ved snittet i form av fargekoding som beskrevet i 10245026-RIG-NOT-004.

Henvisninger: Referanser til rapporter med grunnundersøkelser er gitt i områdestabilitetsrapporten. Plantegning med plassering av snittene, og tilhørende løsneområde er vist på tegning nr. -RIG-TEG-001B.



**Borpunkt**

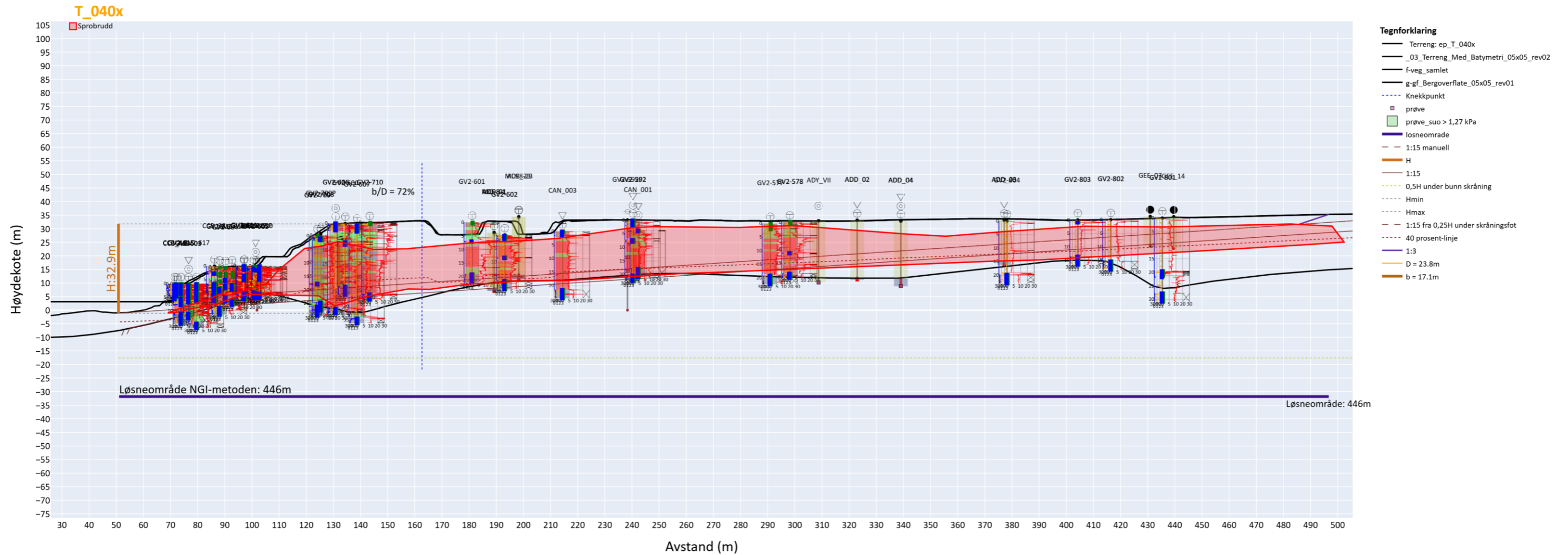
- |   |  |   |  |   |  |  |   |   |
|---|--|---|--|---|--|--|---|---|
| <ul style="list-style-type: none"> <li>• ADE_04 -17.5m total</li> <li>• ADE_05 -4.3m total</li> <li>• ADE_06 +17.7m prøve</li> <li>• ADE_06 +17.7m total</li> <li>• ADE_06P +18.3m pz</li> <li>• ADE_15 +11.1m total</li> <li>• ADE_17 +8.3m total</li> <li>• ADE_18 -7.0m prøve</li> <li>• ADE_18 -7.0m total</li> <li>• ADE_18P -9.8m pz</li> </ul> | <ul style="list-style-type: none"> <li>• ADE_19 -14.7m total</li> <li>• ADE_20 -24.7m total</li> <li>• AHL_01 -22.4m dreie</li> <li>• AHL_04 -19.8m dreie</li> <li>• AHL_06 -23.3m dreie</li> <li>• AHL_PR1 -21.3m prøve</li> <li>• AHM_02 -14.4m dreie</li> <li>• AHM_05 -2.2m dreie</li> <li>• AHM_06 +7.2m dreie</li> </ul> | <ul style="list-style-type: none"> <li>• AHM_07 -14.8m dreie</li> <li>• AHM_08 +3.0m dreie</li> <li>• AHM_09 +22.9m dreie</li> <li>• AHM_10 +10.1m dreie</li> <li>• AHM_11 +15.4m dreie</li> <li>• AHM_PR2 -3.3m prøve</li> <li>• CCB_42B -23.4m total</li> <li>• GV2-603 -0.1m cpt</li> <li>• GV2-603 -0.1m total</li> </ul> | <ul style="list-style-type: none"> <li>• GV2-603 -0.1m prøve</li> <li>• GV2-604 -4.4m total</li> <li>• GV2-605 -6.3m cpt</li> <li>• GV2-605 -6.3m prøve</li> <li>• GV2-605 -6.3m total</li> <li>• GV2-605P -0.4m pz</li> <li>• GV2-606 -17.7m prøve</li> <li>• GV2-606 -17.7m total</li> <li>• GV2-607 -20.3m total</li> </ul> | <ul style="list-style-type: none"> <li>• GV2-612 -19.9m total</li> <li>• GV2-613 +23.3m total</li> <li>• GV2-615 -13.5m total</li> <li>• GV2-616 -19.4m total</li> <li>• GV2-617 +16.7m total</li> <li>• GV2-618 +13.0m total</li> <li>• GV2-619 +3.0m total</li> <li>• GV2-620 +10.6m total</li> <li>• GV2-636 +16.9m total</li> </ul> | <ul style="list-style-type: none"> <li>• GV2-636S +16.5m total</li> <li>• GV2-650 -21.2m total</li> <li>• GV2-672 -23.6m total</li> <li>• GV2-673 +6.3m total</li> <li>• GV2-674 +0.3m total</li> <li>• GV2-675 -18.4m total</li> <li>• GV2-676 +19.0m total</li> <li>• GV2-677 +12.4m total</li> <li>• GV2-678 +3.0m total</li> </ul> | <ul style="list-style-type: none"> <li>• GV2-709 -20.2m total</li> <li>• GV2-709P -21.5m pz</li> <li>• MC37-2A +4.9m dreie</li> <li>• MC37-2B +4.5m fjell</li> <li>• MC37-3 -6.9m dreie</li> <li>• MC37-4 +10.7m dreie</li> <li>• MC37-4 +10.7m prøve</li> <li>• MC56-1 +16.8m total</li> <li>• MC56-5 +24.4m total</li> </ul> | <ul style="list-style-type: none"> <li>• MC56-5 +24.4m prøve</li> <li>• MC98-15 +11.1m total</li> <li>• MC98-17 +8.3m total</li> <li>• MC98-18 -7.0m prøve</li> <li>• MC98-18 -7.0m total</li> <li>• MC98-18A -9.8m pz</li> <li>• MC98-18B -10.3m pz</li> <li>• MC98-19 -14.7m total</li> <li>• MC98-20 -24.7m total</li> </ul> | <ul style="list-style-type: none"> <li>• MC98-4 -17.5m total</li> <li>• MC98-5 -4.3m total</li> <li>• MC98-6 +17.7m prøve</li> <li>• MC98-6 +17.7m total</li> <li>• MC98-6A +18.3m pz</li> <li>• SB-1035 +11.2m total</li> <li>• SS-12053 +20.3m total</li> <li>• SS-12055 +16.8m total</li> <li>• SS12053A +20.3m total</li> </ul> |
|---|--|---|--|---|--|--|---|---|

Tolket kvikkeirelag er basert på begrenset grunnlag og vil avvike fra virkeligheten. Snittet er kun ment som en illustrasjon på utførte vurderinger.

I enkelte punkter er det kun vist symbol, ikke tolkning. Tidligere utførte sonderinger som ikke foreligger på digitalt format, er vist med strek som indikerer dybden det er boret i. Disse punktene har ofte usikker plassering, og høyden er satt til dagens terrengnivå. Sonderingsprofilen er benyttet som støtte ved tolking av lagdeling og tillagt vekt avhengig av vurdert datakvalitet. Tolkning av laginndeling av sonderingsprofil er lagt ved snittet i form av fargekoding som beskrevet i 10245026-RIG-NOT-004.

Henvisninger: Referanser til rapporter med grunnundersøkelser er gitt i områdestabilitetsrapporten. Plantegning med plassering av snittene, og tilhørende løseområde er vist på tegning nr. -RIG-TEG-001B.

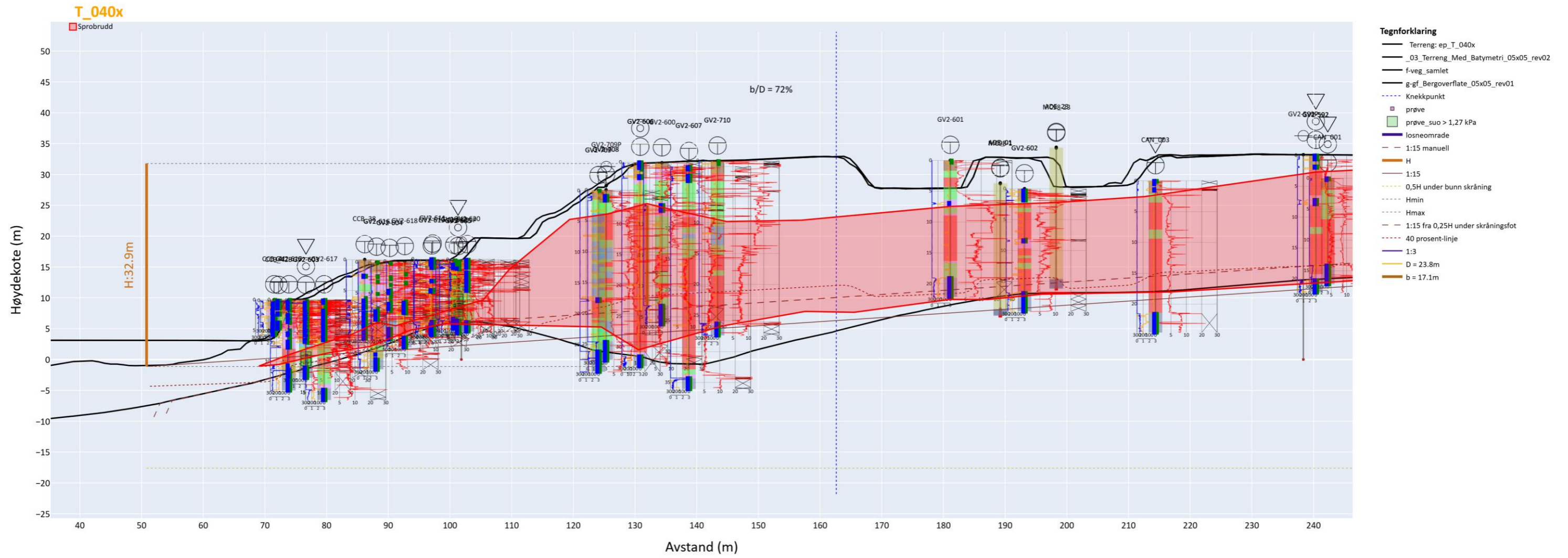
15 T040x



Tolket kvikkleirelag er basert på begrenset grunnlag og vil avvike fra virkeligheten. Snittet er kun ment som en illustrasjon på utførte vurderinger.

I enkelte punkter er det kun vist symbol, ikke tolkning. Tidligere utførte sonderinger som ikke foreligger på digitalt format, er vist med strek som indikerer dybden det er boret i. Disse punktene har ofte usikker plassering, og høyden er satt til dagens terrengnivå. Sonderingsprofilen er benyttet som støtte ved tolking av lagdeling og tillagt vekt avhengig av vurdert datakvalitet. Tolkning av laginndeling av sonderingsprofil er lagt ved snittet i form av fargekoding som beskrevet i 10245026-RIG-NOT-004.

Henvisninger: Referanser til rapporter med grunnundersøkelser er gitt i områdestabilitetsrapporten. Plantegning med plassering av snittene, og tilhørende løsneområde er vist på tegning nr. -RIG-TEG-001B.



**Borpunkt**

|  |  |  |  |  |   |  |  |   |
|--|--|--|--|--|---|--|--|---|
| <ul style="list-style-type: none"> <li>• ADD_02 +16.0m cpt</li> <li>• ADD_02 +16.0m total</li> <li>• ADD_03 +16.4m cpt</li> <li>• ADD_03 +16.4m total</li> <li>• ADD_04 -1.2m cpt</li> <li>• ADD_04 -1.2m prøve</li> <li>• ADD_04 -1.2m total</li> </ul> | <ul style="list-style-type: none"> <li>• ADE_01 +19.5m total</li> <li>• ADE_23 +24.8m total</li> <li>• ADY_VII +24.0m enkel</li> <li>• ADY_VII +24.0m prøve</li> <li>• CAN_001 -27.1m cpt</li> <li>• CAN_001 -27.1m prøve</li> <li>• CAN_001 -27.1m total</li> </ul> | <ul style="list-style-type: none"> <li>• CAN_003 -20.8m cpt</li> <li>• CAN_003 -20.8m total</li> <li>• CCB_38 -23.4m total</li> <li>• CCB_41 -26.8m total</li> <li>• CCB_42B -19.4m total</li> <li>• GEE_07 +29.1m dreie</li> <li>• GEE_14 +18.6m dreie</li> </ul> | <ul style="list-style-type: none"> <li>• GV2-577 -25.3m total</li> <li>• GV2-578 -18.8m total</li> <li>• GV2-592 -0.6m cpt</li> <li>• GV2-592 -0.6m prøve</li> <li>• GV2-592 -0.6m total</li> <li>• GV2-592P +0.5m pz</li> <li>• GV2-600 -20.3m total</li> </ul> | <ul style="list-style-type: none"> <li>• GV2-601 -25.9m total</li> <li>• GV2-602 +3.9m total</li> <li>• GV2-603 +6.5m cpt</li> <li>• GV2-603 +6.5m prøve</li> <li>• GV2-603 +6.5m total</li> <li>• GV2-604 +6.2m total</li> <li>• GV2-605 +7.7m total</li> </ul> | <ul style="list-style-type: none"> <li>• GV2-605 +7.7m cpt</li> <li>• GV2-605 +7.7m prøve</li> <li>• GV2-605P +14.0m pz</li> <li>• GV2-606 +4.9m prøve</li> <li>• GV2-606 +4.9m total</li> <li>• GV2-607 +4.6m total</li> </ul> | <ul style="list-style-type: none"> <li>• GV2-611 -16.5m total</li> <li>• GV2-612 -6.8m total</li> <li>• GV2-615 -8.4m total</li> <li>• GV2-616 -10.2m total</li> <li>• GV2-617 +24.9m total</li> <li>• GV2-618 +25.2m total</li> </ul> | <ul style="list-style-type: none"> <li>• GV2-619 +16.1m total</li> <li>• GV2-620 +25.8m total</li> <li>• GV2-708 -13.3m total</li> <li>• GV2-709 +0.2m total</li> <li>• GV2-709P -0.8m pz</li> <li>• GV2-710 -14.1m total</li> </ul> | <ul style="list-style-type: none"> <li>• GV2-801 +3.6m total</li> <li>• GV2-802 -1.2m total</li> <li>• GV2-803 -19.1m total</li> <li>• GV2-804 -21.8m total</li> <li>• MC98-1 +19.5m total</li> <li>• MC98-23 +24.8m total</li> </ul> |
|--|--|--|--|--|---|--|--|---|

Tolket kvikkleirelag er basert på begrenset grunnlag og vil avvike fra virkeligheten. Snittet er kun ment som en illustrasjon på utførte vurderinger.

I enkelte punkter er det kun vist symbol, ikke tolkning. Tidligere utførte sonderinger som ikke foreligger på digitalt format, er vist med strek som indikerer dybden det er boret i. Disse punktene har ofte usikker plassering, og høyden er satt til dagens terrengnivå. Sonderingsprofilen er benyttet som støtte ved tolking av lagdeling og tillagt vekt avhengig av vurdert datakvalitet. Tolkning av laginndeling av sonderingsprofil er lagt ved snittet i form av fargekoding som beskrevet i 10245026-RIG-NOT-004.

Henvisninger: Referanser til rapporter med grunnundersøkelser er gitt i områdestabilitetsrapporten. Plantegning med plassering av snittene, og tilhørende løseområde er vist på tegning nr. -RIG-TEG-001B.

16 T009x



- Tegnforklaring**
- Terrang: ep\_T009x
  - 0,5H under bunn skråning
  - 1:15
  - - - 1:15 fra 0,25H under skråningsfot
  - CAN\_001 -4.8m cpt
  - CAN\_001 -4.8m prøve
  - prøve
  - CAN\_001 -4.8m total
  - CAN\_002 -17.4m total
  - CAN\_003 -6.2m cpt
  - CAN\_003 -6.2m total
  - GV2-554 -20.3m total
  - GV2-554B -20.3m total
  - GV2-566 -17.6m total
  - GV2-568 +2.5m prøve
  - GV2-568 +2.5m total
  - GV2-576 -14.9m prøve
  - prøve\_suo < 1,27 kPa
  - GV2-576 -14.9m total
  - GV2-577 +9.9m total
  - GV2-578 +18.1m total
  - GV2-590 -22.1m total
  - GV2-592 +20.3m total
  - GV2-600 -20.5m total
  - GV2-601 -20.0m total
  - GV2-602 +12.0m total
  - GV2-603 +6.6m cpt
  - GV2-603 +6.6m prøve
  - prøve\_suo > 1,27 kPa
  - GV2-603 +6.6m total
  - GV2-604 +6.3m total
  - GV2-605 +7.7m cpt
  - GV2-605 +7.7m prøve
  - GV2-605 +7.7m total
  - GV2-605P +14.0m pz
  - GV2-606 +4.8m prøve
  - GV2-606 +4.8m total
  - GV2-607 +4.5m total
  - GV2-611 -16.5m total
  - GV2-612 -6.8m total
  - GV2-615 -8.3m total
  - GV2-616 -10.1m total
  - GV2-619 +16.1m total
  - GV2-690 -18.9m cpt
  - GV2-690 -18.9m total
  - GV2-691 -15.8m total
  - GV2-698 +1.6m total
  - GV2-705 -23.8m total
  - GV2-705B -23.8m total
  - GV2-708 -13.3m total
  - GV2-709 +0.1m total
  - GV2-709P -0.9m pz
  - GV2-710 -14.2m total

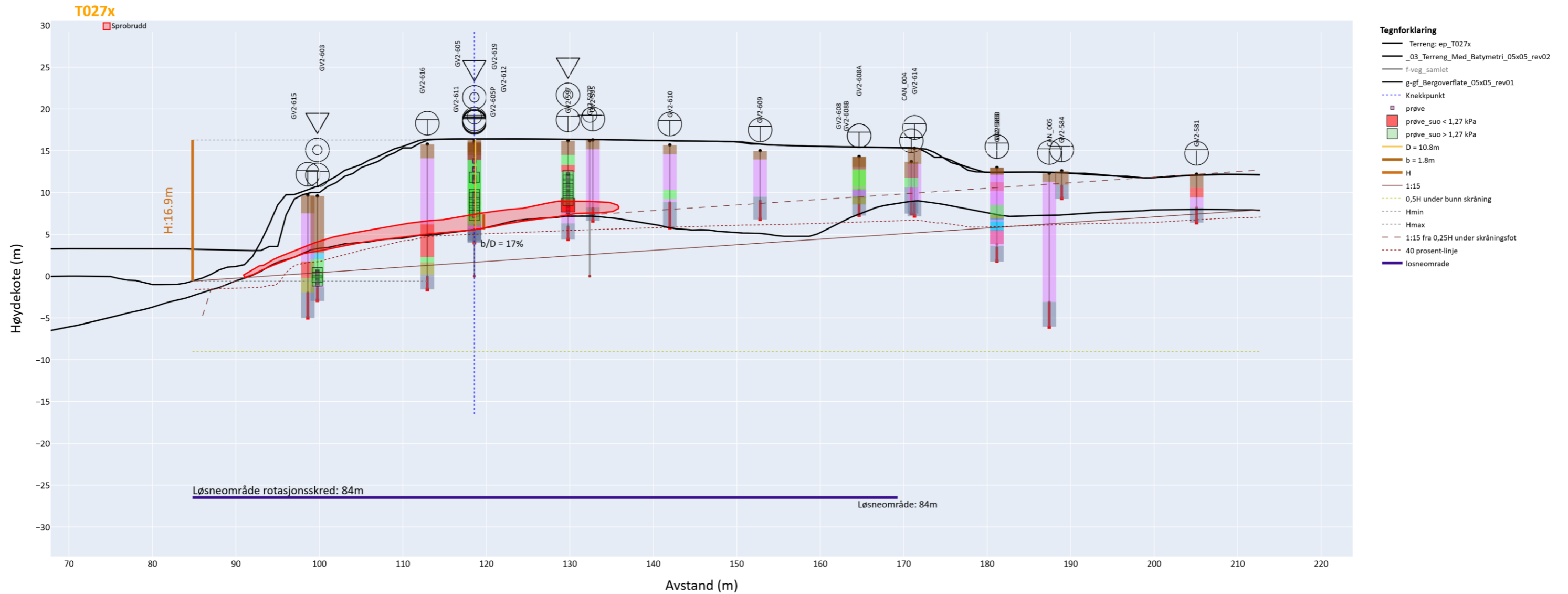
- b = 11.3m
- Bergmodell
- ConstructionModel
- D = 13.7m
- H
- Hmax
- Hmin
- løsneområde
- Terrangmodell
- 1:3

Tolket kvikkleirelag er basert på begrenset grunnlag og vil avvike fra virkeligheten. Snittet er kun ment som en illustrasjon på utførte vurderinger.

I enkelte punkter er det kun vist symbol, ikke tolkning. Tidligere utførte sonderinger som ikke foreligger på digitalt format, er vist med strek som indikerer dybden det er boret i. Disse punktene har ofte usikker plassering, og høyden er satt til dagens terrengnivå. Sonderingsprofilen er benyttet som støtte ved tolking av lagdeling og tillagt vekt avhengig av vurdert datakvalitet. Tolkning av laginndeling av sonderingsprofil er lagt ved snittet i form av fargekoding som beskrevet i 10245026-RIG-NOT-004.

Henvisninger: Referanser til rapporter med grunnundersøkelser er gitt i områdestabilitetsrapporten. Plantegning med plassering av snittene, og tilhørende løsneområde er vist på tegning nr. -RIG-TEG-001B.

17 T027x



Borpunkt

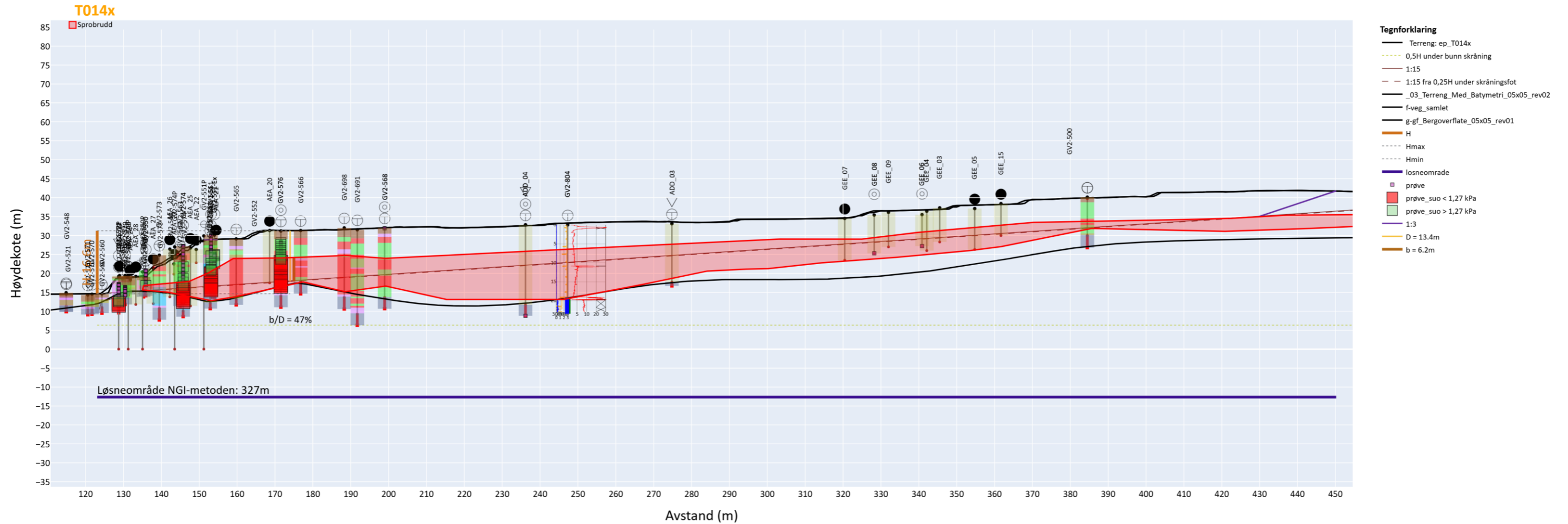
- CAN\_004 +33.6m total
- CAN\_005 -21.5m total
- GV2-581 +39.1m total
- GV2-584 +39.0m total
- GV2-585 +23.0m total
- GV2-585B +23.0m total
- GV2-595 -5.5m total
- GV2-597 +8.4m total
- GV2-597 +8.4m cpt
- GV2-597 +8.4m prøve
- GV2-603 +24.3m total
- GV2-603 +24.3m cpt
- GV2-603 +24.3m prøve
- GV2-604 +25.4m total
- GV2-605 +28.6m total
- GV2-605 +28.6m cpt
- GV2-605 +28.6m prøve
- GV2-605P +34.8m pz
- GV2-608 +19.5m total
- GV2-608A +19.5m total
- GV2-608B +19.5m total
- GV2-609 +17.4m total
- GV2-609 +17.4m pz
- GV2-610 +13.4m total
- GV2-611 +5.5m total
- GV2-612 +15.1m total
- GV2-614 +1.4m total
- GV2-615 +9.1m total
- GV2-616 +8.9m total
- GV2-619 +36.0m total
- GV2-707 +34.8m total
- GV2-708 +33.2m total
- GV2-709 +37.1m total
- GV2-709P +37.7m pz

Tolket kvikkeirelag er basert på begrenset grunnlag og vil avvike fra virkeligheten. Snittet er kun ment som en illustrasjon på utførte vurderinger.

I enkelte punkter er det kun vist symbol, ikke tolkning. Tidligere utførte sonderinger som ikke foreligger på digitalt format, er vist med strek som indikerer dybden det er boret i. Disse punktene har ofte usikker plassering, og høyden er satt til dagens terrengnivå. Sonderingsprofilen er benyttet som støtte ved tolking av lagdeling og tillagt vekt avhengig av vurdert datakvalitet. Tolkning av laginndeling av sonderingsprofil er lagt ved snittet i form av fargekoding som beskrevet i 10245026-RIG-NOT-004.

Henvisninger: Referanser til rapporter med grunnundersøkelser er gitt i områdestabilitetsrapporten. Plantegning med plassering av snittene, og tilhørende løsneområde er vist på tegning nr. -RIG-TEG-001B.

18 T014x



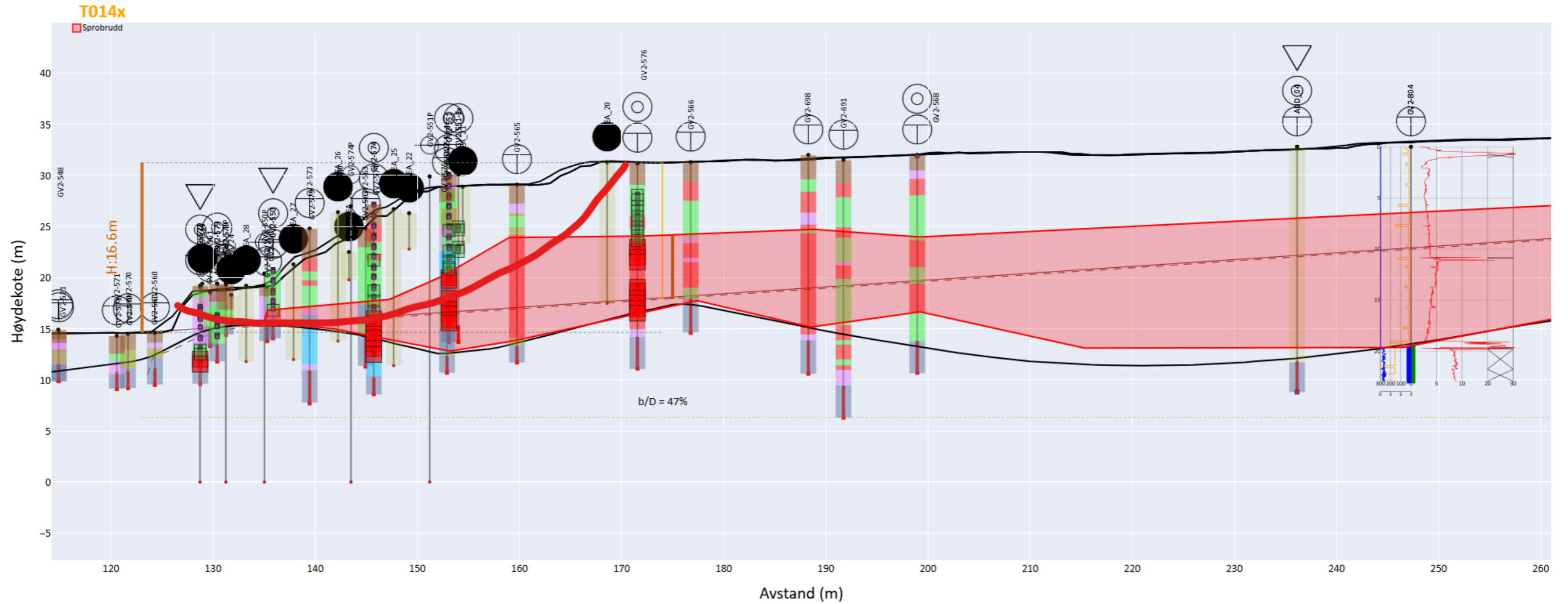
Borpunkt

- |  |   |  |  |   |   |   |  |  |
|--|---|--|--|---|---|---|--|--|
| <ul style="list-style-type: none"> <li>• ADD_03 +9.5m cpt</li> <li>• ADD_03 +9.5m total</li> <li>• ADD_04 +25.8m cpt</li> <li>• ADD_04 +25.8m prøve</li> <li>• ADD_04 +25.8m total</li> <li>• AEA_19 -26.0m dreie</li> <li>• AEA_20 -2.0m dreie</li> <li>• AEA_21 -6.0m dreie</li> <li>• AEA_22 -7.6m dreie</li> <li>• AEA_23 -9.3m dreie</li> </ul> | <ul style="list-style-type: none"> <li>• AEA_24 -12.4m dreie</li> <li>• AEA_25 +28.9m dreie</li> <li>• AEA_26 +27.6m dreie</li> <li>• AEA_27 +26.8m dreie</li> <li>• AEA_28 +25.7m dreie</li> <li>• CCB_50 +4.2m total</li> <li>• CCB_51 +11.4m total</li> <li>• CCB_52 +18.1m total</li> <li>• CCB_53 +11.5m total</li> <li>• CCB_54 +10.1m total</li> </ul> | <ul style="list-style-type: none"> <li>• CCB_55 +11.8m total</li> <li>• CCB_57 +11.9m total</li> <li>• CCB_60 +4.2m total</li> <li>• CCB_60B +4.2m total</li> <li>• CCB_61 +19.4m total</li> <li>• CCB_62 +4.0m total</li> <li>• CCB_63 +19.5m total</li> <li>• CCB_64 +4.3m total</li> <li>• CCB_65 +17.6m total</li> <li>• CCB_72 -9.1m total</li> </ul> | <ul style="list-style-type: none"> <li>• CCB_73 -4.1m total</li> <li>• CCB_74 -8.4m total</li> <li>• CCB_76 -18.6m total</li> <li>• CCB_77 -17.8m total</li> <li>• GEE_03 +28.0m ram</li> <li>• GEE_04 +2.2m ram</li> <li>• GEE_05 -27.5m dreie</li> <li>• GEE_05 -27.5m ram</li> <li>• GEE_06 -25.3m prøve</li> </ul> | <ul style="list-style-type: none"> <li>• GEE_07 -21.7m dreie</li> <li>• GEE_08 +4.9m prøve</li> <li>• GEE_09 +29.9m ram</li> <li>• GEE_15 +23.6m dreie</li> <li>• GEE_15 +23.6m ram</li> <li>• GV2-500 +17.0m total</li> <li>• GV2-521 -18.9m total</li> <li>• GV2-548 -9.4m total</li> </ul> | <ul style="list-style-type: none"> <li>• GV2-549 -17.6m total</li> <li>• GV2-550 -20.1m cpt</li> <li>• GV2-550 -20.1m prøve</li> <li>• GV2-550P -19.3m pz</li> <li>• GV2-551-Ex -28.7m prøve</li> <li>• GV2-551 -26.3m prøve</li> <li>• GV2-551 -26.3m total</li> <li>• GV2-551P -25.6m pz</li> </ul> | <ul style="list-style-type: none"> <li>• GV2-560 -0.9m total</li> <li>• GV2-561 -1.7m total</li> <li>• GV2-562 -1.4m total</li> <li>• GV2-563 -0.1m total</li> <li>• GV2-564 +0.2m total</li> <li>• GV2-565 +1.1m total</li> <li>• GV2-566 +2.5m total</li> <li>• GV2-568 +3.2m prøve</li> <li>• GV2-568 +3.2m total</li> </ul> | <ul style="list-style-type: none"> <li>• GV2-570 +10.1m total</li> <li>• GV2-571 +23.5m total</li> <li>• GV2-572 +25.0m cpt</li> <li>• GV2-572 +25.0m prøve</li> <li>• GV2-572 +25.0m total</li> <li>• GV2-572P +23.5m pz</li> <li>• GV2-573 +27.6m total</li> <li>• GV2-574 +29.0m prøve</li> <li>• GV2-574 +29.0m total</li> </ul> | <ul style="list-style-type: none"> <li>• GV2-574P +28.7m pz</li> <li>• GV2-576 +18.8m prøve</li> <li>• GV2-576 +18.8m total</li> <li>• GV2-579 +10.9m prøve</li> <li>• GV2-579 +10.9m total</li> <li>• GV2-579P +10.5m pz</li> <li>• GV2-691 -22.9m total</li> <li>• GV2-698 +22.3m total</li> <li>• GV2-804 -16.9m total</li> </ul> |
|--|---|--|--|---|---|---|--|--|

Tolket kvikkleirelag er basert på begrenset grunnlag og vil avvike fra virkeligheten. Snittet er kun ment som en illustrasjon på utførte vurderinger.

I enkelte punkter er det kun vist symbol, ikke tolkning. Tidligere utførte sonderinger som ikke foreligger på digitalt format, er vist med strek som indikerer dybden det er boret i. Disse punktene har ofte usikker plassering, og høyden er satt til dagens terrengnivå. Sonderingsprofilen er benyttet som støtte ved tolking av lagdeling og tillagt vekt avhengig av vurdert datakvalitet. Tolkning av laginndeling av sonderingsprofil er lagt ved snittet i form av fargekoding som beskrevet i 10245026-RIG-NOT-004.

Henvisninger: Referanser til rapporter med grunnundersøkelser er gitt i områdestabilitetsrapporten. Plantegning med plassering av snittene, og tilhørende løsneområde er vist på tegning nr. -RIG-TEG-001B.



Kritisk glideflate er tegnet inn basert på totalspenningsanalysen av skråningen fra snitt BT018 vist på tegning RIG-TEG-817.1.

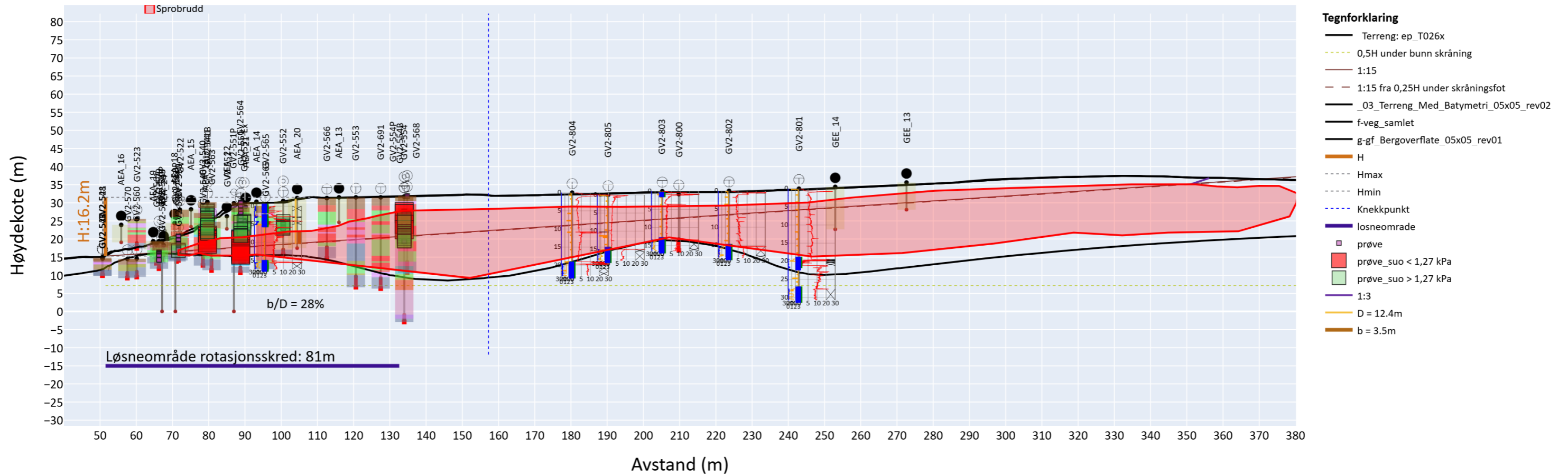
Tolket kvikkleirelag er basert på begrenset grunnlag og vil avvike fra virkeligheten. Snittet er kun ment som en illustrasjon på utførte vurderinger.

I enkelte punkter er det kun vist symbol, ikke tolkning. Tidligere utførte sonderinger som ikke foreligger på digitalt format, er vist med strek som indikerer dybden det er boret i. Disse punktene har ofte usikker plassering, og høyden er satt til dagens terrengnivå. Sonderingsprofilen er benyttet som støtte ved tolking av lagdeling og tillagt vekt avhengig av vurdert datakvalitet. Tolkning av laginndeling av sonderingsprofil er lagt ved snittet i form av fargekoding som beskrevet i 10245026-RIG-NOT-004.

Henvvisninger: Referanser til rapporter med grunnundersøkelser er gitt i områdestabilitetsrapporten. Plantegning med plassering av snittene, og tilhørende løseområde er vist på tegning nr. -RIG-TEG-001B.

19 T026x

T026x



Borpunkt

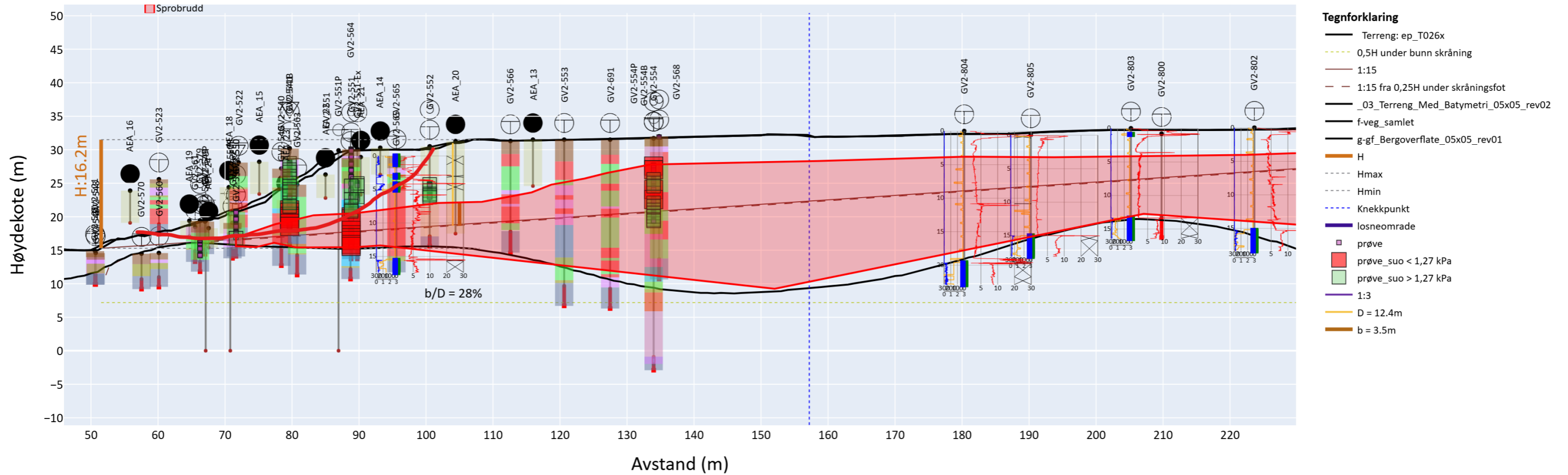
- |                       |                       |                        |                        |                           |                         |                        |                        |                        |
|-----------------------|-----------------------|------------------------|------------------------|---------------------------|-------------------------|------------------------|------------------------|------------------------|
| • AEA_13 -15.2m dreie | • AEA_21 +12.7m dreie | • CCB_76 +26.3m total  | • GV2-540 -15.1m total | • GV2-550 -1.4m cpt       | • GV2-552 -13.4m prøve  | • GV2-560 +17.9m total | • GV2-568 +21.8m prøve | • GV2-800 -22.0m total |
| • AEA_14 -19.4m dreie | • AEA_22 +11.1m dreie | • CCB_77 +15.0m total  | • GV2-541 -25.3m prøve | • GV2-550 -1.4m prøve     | • GV2-552 -13.4m total  | • GV2-561 +17.1m total | • GV2-568 +21.8m total | • GV2-801 +11.2m total |
| • AEA_15 -22.4m dreie | • AEA_23 +9.4m dreie  | • GEE_13 +29.4m dreie  | • GV2-541 -25.3m total | • GV2-550P -0.5m pz       | • GV2-553 -21.7m total  | • GV2-562 +17.4m total | • GV2-570 +28.9m total | • GV2-802 +14.6m total |
| • AEA_16 -25.8m dreie | • AEA_24 +6.4m dreie  | • GEE_14 +23.2m dreie  | • GV2-541B -25.3m cpt  | • GV2-551-Ex -10.0m prøve | • GV2-554 -27.2m prøve  | • GV2-563 +18.6m total | • GV2-579 +29.7m prøve | • GV2-803 +3.3m total  |
| • AEA_18 -14.1m dreie | • CCB_64 +28.4m total | • GV2-521 -0.1m total  | • GV2-548 +9.4m total  | • GV2-551 -7.6m prøve     | • GV2-554 -27.2m total  | • GV2-564 +18.9m total | • GV2-579 +29.7m total | • GV2-804 +11.7m total |
| • AEA_19 -7.2m dreie  | • CCB_73 +29.4m total | • GV2-522 -24.1m total | • GV2-549 +1.2m total  | • GV2-551 -7.6m total     | • GV2-554B -27.2m total | • GV2-565 +19.8m total | • GV2-579P +29.3m pz   | • GV2-805 -11.7m total |
| • AEA_20 +16.7m dreie | • CCB_74 +19.3m total | • GV2-523 -24.8m total | • GV2-550 -1.4m total  | • GV2-551P -6.9m pz       | • GV2-554P -27.2m pz    | • GV2-566 +21.2m total | • GV2-691 -4.3m total  |                        |

Tolket kvikkleirelag er basert på begrenset grunnlag og vil avvike fra virkeligheten. Snittet er kun ment som en illustrasjon på utførte vurderinger.

I enkelte punkter er det kun vist symbol, ikke tolkning. Tidligere utførte sonderinger som ikke foreligger på digitalt format, er vist med strek som indikerer dybden det er boret i. Disse punktene har ofte usikker plassering, og høyden er satt til dagens terrengnivå. Sonderingsprofilen er benyttet som støtte ved tolking av lagdeling og tillagt vekt avhengig av vurdert datakvalitet. Tolkning av laginndeling av sonderingsprofil er lagt ved snittet i form av fargekoding som beskrevet i 10245026-RIG-NOT-004.

Henvisninger: Referanser til rapporter med grunnundersøkelser er gitt i områdestabilitetsrapporten. Plantegning med plassering av snittene, og tilhørende løsneområde er vist på tegning nr. -RIG-TEG-001B.

T026x



Borpunkt

- |                       |                       |                        |                        |                           |                         |                        |                        |                        |
|-----------------------|-----------------------|------------------------|------------------------|---------------------------|-------------------------|------------------------|------------------------|------------------------|
| • AEA_13 -15.2m dreie | • AEA_21 +12.7m dreie | • CCB_76 +26.3m total  | • GV2-540 -15.1m total | • GV2-550 -1.4m cpt       | • GV2-552 -13.4m prøve  | • GV2-560 +17.9m total | • GV2-568 +21.8m prøve | • GV2-800 -22.0m total |
| • AEA_14 -19.4m dreie | • AEA_22 +11.1m dreie | • CCB_77 +15.0m total  | • GV2-541 -25.3m prøve | • GV2-550 -1.4m prøve     | • GV2-552 -13.4m total  | • GV2-561 +17.1m total | • GV2-568 +21.8m total | • GV2-801 +11.2m total |
| • AEA_15 -22.4m dreie | • AEA_23 +9.4m dreie  | • GEE_13 +29.4m dreie  | • GV2-541 -25.3m total | • GV2-550P -0.5m pz       | • GV2-553 -21.7m total  | • GV2-562 +17.4m total | • GV2-570 +28.9m total | • GV2-802 +14.6m total |
| • AEA_16 -25.8m dreie | • AEA_24 +6.4m dreie  | • GEE_14 +23.2m dreie  | • GV2-541B -25.3m cpt  | • GV2-551-Ex -10.0m prøve | • GV2-554 -27.2m prøve  | • GV2-563 +18.6m total | • GV2-579 +29.7m prøve | • GV2-803 +3.3m total  |
| • AEA_18 -14.1m dreie | • CCB_64 +28.4m total | • GV2-521 -0.1m total  | • GV2-548 +9.4m total  | • GV2-551 -7.6m prøve     | • GV2-554 -27.2m total  | • GV2-564 +18.9m total | • GV2-579 +29.7m total | • GV2-804 +11.7m total |
| • AEA_19 -7.2m dreie  | • CCB_73 +29.4m total | • GV2-522 -24.1m total | • GV2-549 +1.2m total  | • GV2-551 -7.6m total     | • GV2-554B -27.2m total | • GV2-565 +19.8m total | • GV2-579P +29.3m pz   | • GV2-805 -11.7m total |
| • AEA_20 +16.7m dreie | • CCB_74 +19.3m total | • GV2-523 -24.8m total | • GV2-550 -1.4m total  | • GV2-551P -6.9m pz       | • GV2-554P -27.2m pz    | • GV2-566 +21.2m total | • GV2-691 -4.3m total  |                        |

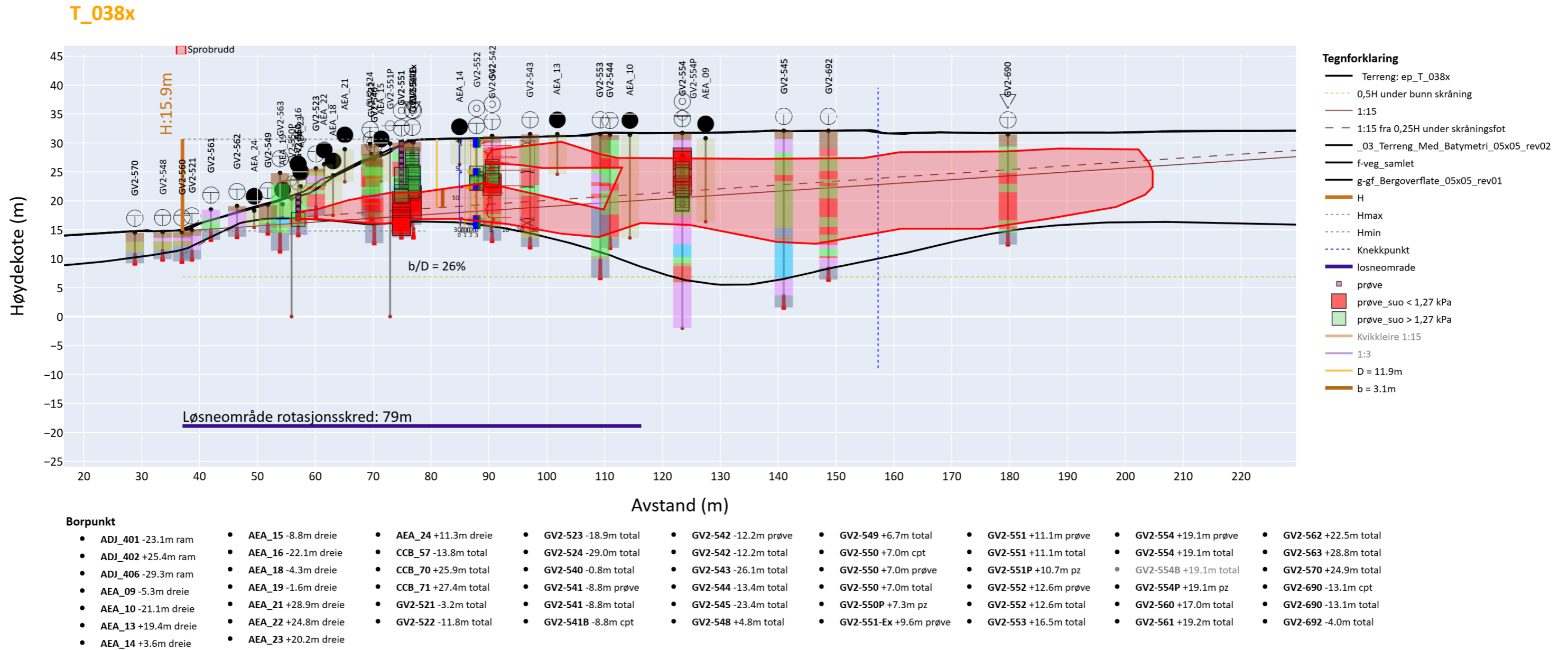
Kritisk glideflate er tegnet inn basert på totalspenningsanalysen av skråningen fra snitt BT018 vist på tegning RIG-TEG-817.1.

Tolket kvikkleirelag er basert på begrenset grunnlag og vil avvike fra virkeligheten. Snittet er kun ment som en illustrasjon på utførte vurderinger.

I enkelte punkter er det kun vist symbol, ikke tolkning. Tidligere utførte sonderinger som ikke foreligger på digitalt format, er vist med strek som indikerer dybden det er boret i. Disse punktene har ofte usikker plassering, og høyden er satt til dagens terrengnivå. Sonderingsprofilen er benyttet som støtte ved tolking av lagdeling og tillagt vekt avhengig av vurdert datakvalitet. Tolkning av laginndeling av sonderingsprofil er lagt ved snittet i form av fargekoding som beskrevet i 10245026-RIG-NOT-004.

Henvisninger: Referanser til rapporter med grunnundersøkelser er gitt i områdestabilitetsrapporten. Plantegning med plassering av snittene, og tilhørende løsneområde er vist på tegning nr. -RIG-TEG-001B.

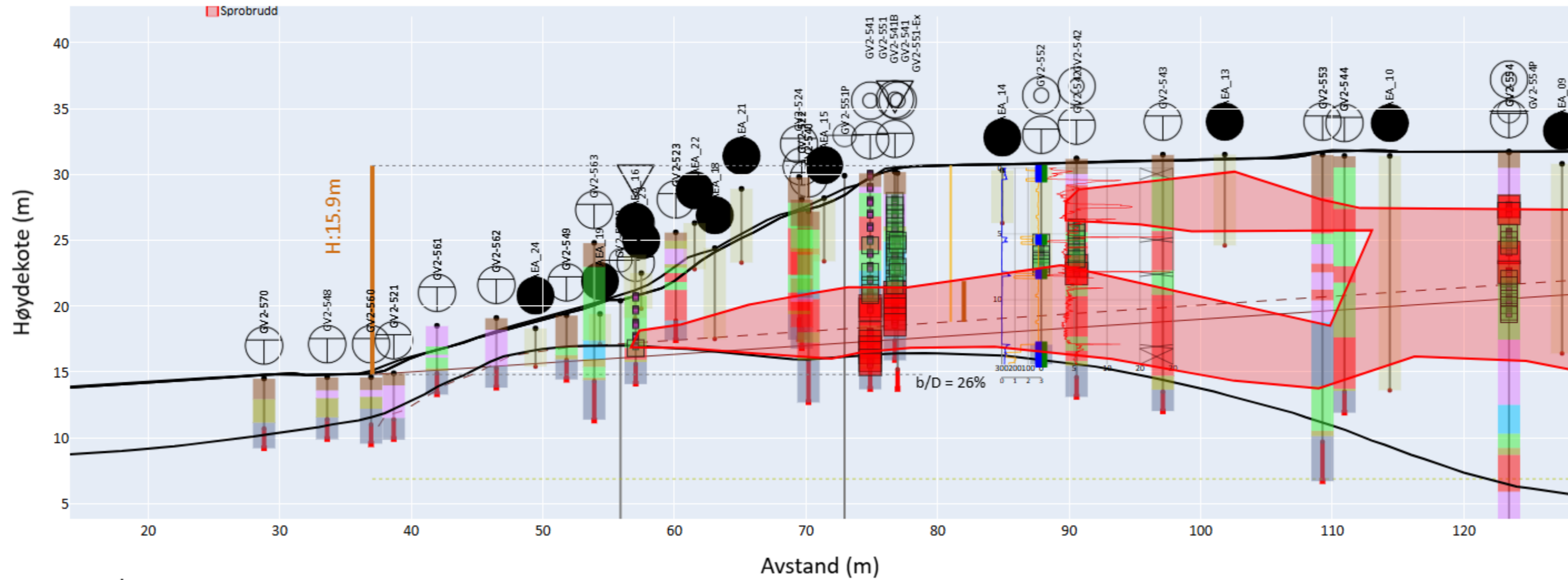
20 T\_038x



Tolket kvikkleirelag er basert på begrenset grunnlag og vil avvike fra virkeligheten. Snittet er kun ment som en illustrasjon på utførte vurderinger.

I enkelte punkter er det kun vist symbol, ikke tolkning. Tidligere utførte sonderinger som ikke foreligger på digitalt format, er vist med strek som indikerer dybden det er boret i. Disse punktene har ofte usikker plassering, og høyden er satt til dagens terrengnivå. Sonderingsprofilen er benyttet som støtte ved tolking av lagdeling og tillagt vekt avhengig av vurdert datakvalitet. Tolkning av laginndeling av sonderingsprofil er lagt ved snittet i form av fargekoding som beskrevet i 10245026-RIG-NOT-004.

Henvisninger: Referanser til rapporter med grunnundersøkelser er gitt i områdestabilitetsrapporten. Plantegning med plassering av snittene, og tilhørende løsneområde er vist på tegning nr. -RIG-TEG-001B.

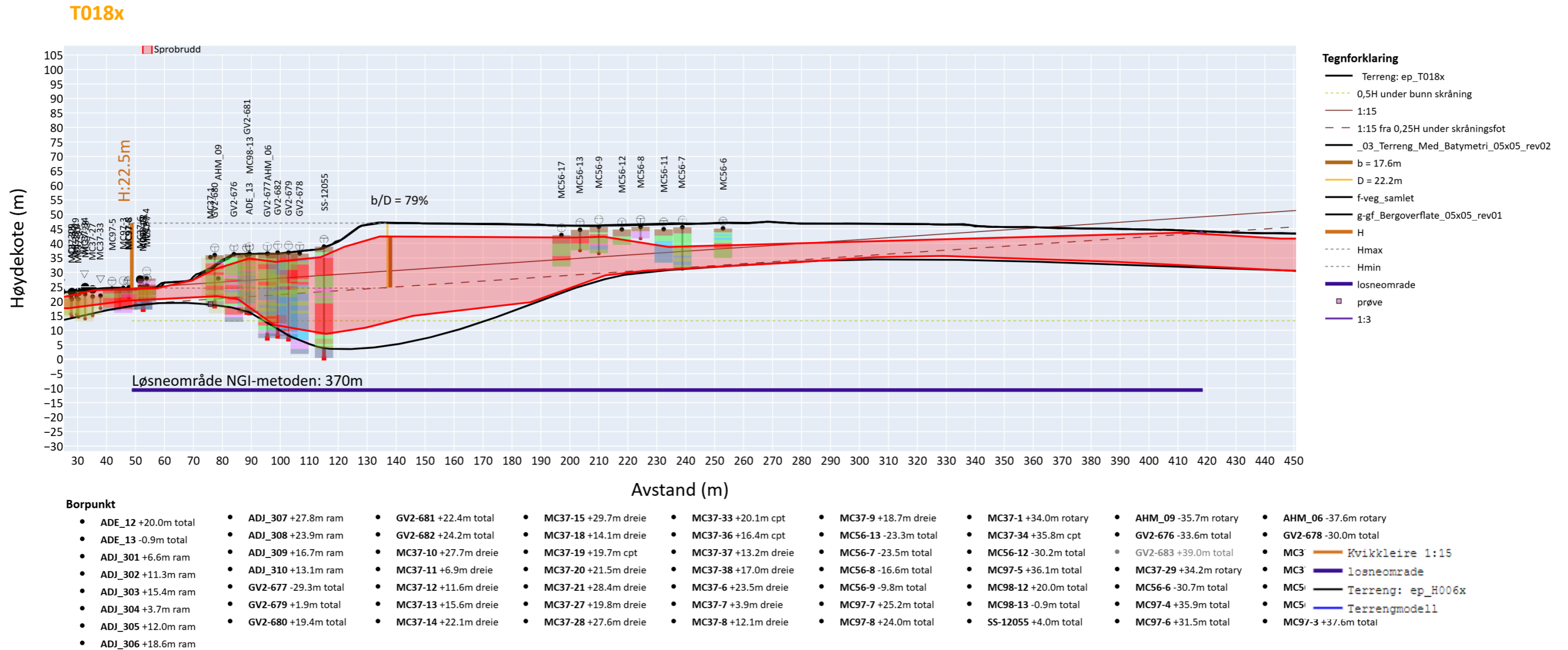


Tolket kvikkleirelag er basert på begrenset grunnlag og vil avvike fra virkeligheten. Snittet er kun ment som en illustrasjon på utførte vurderinger.

I enkelte punkter er det kun vist symbol, ikke tolkning. Tidligere utførte sonderinger som ikke foreligger på digitalt format, er vist med strek som indikerer dybden det er boret i. Disse punktene har ofte usikker plassering, og høyden er satt til dagens terrengnivå. Sonderingsprofilen er benyttet som støtte ved tolking av lagdeling og tillagt vekt avhengig av vurdert datakvalitet. Tolkning av laginndeling av sonderingsprofil er lagt ved snittet i form av fargekoding som beskrevet i 10245026-RIG-NOT-004.

Henvisninger: Referanser til rapporter med grunnundersøkelser er gitt i områdestabilitetsrapporten. Plantegning med plassering av snittene, og tilhørende løseområde er vist på tegning nr. -RIG-TEG-001B.

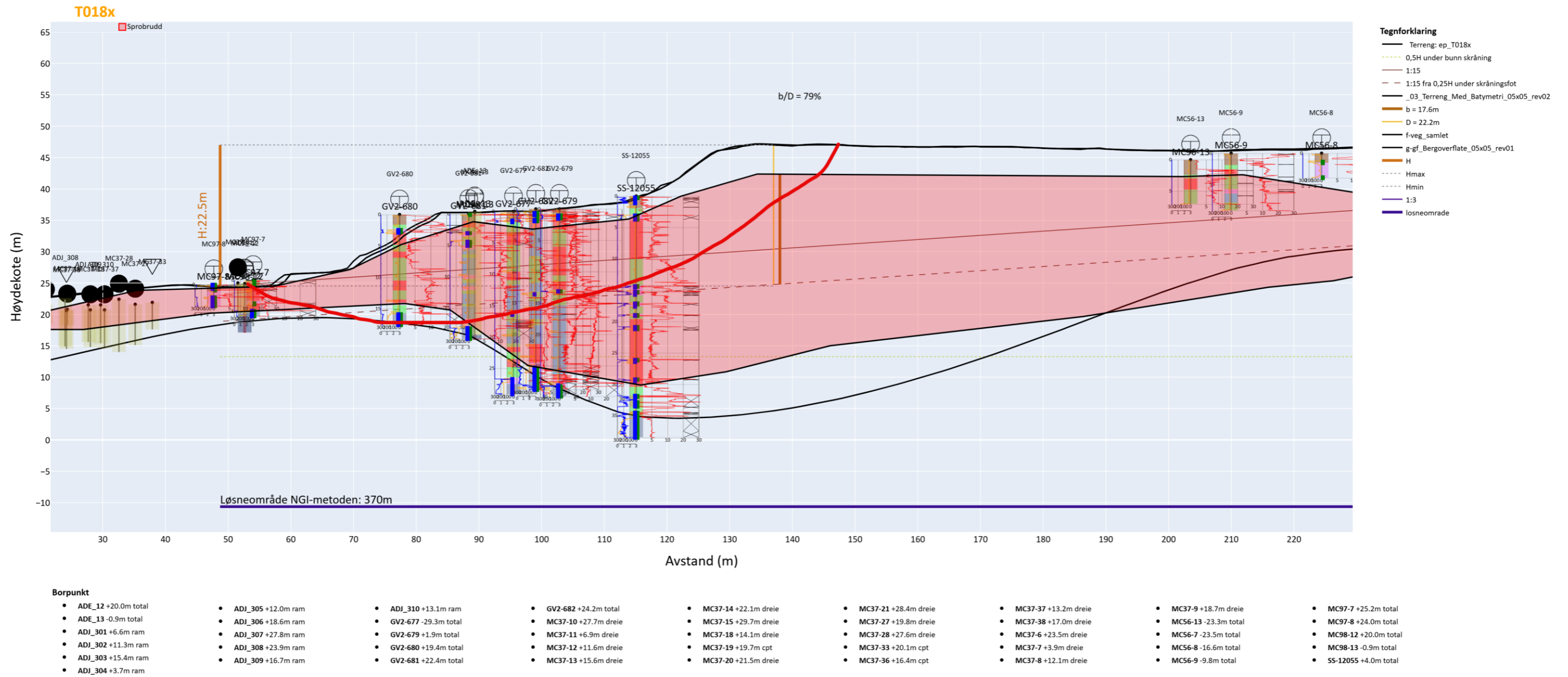
21 T018x



Tolket kvikkleirelag er basert på begrenset grunnlag og vil avvike fra virkeligheten. Snittet er kun ment som en illustrasjon på utførte vurderinger.

I enkelte punkter er det kun vist symbol, ikke tolkning. Tidligere utførte sonderinger som ikke foreligger på digitalt format, er vist med strek som indikerer dybden det er boret i. Disse punktene har ofte usikker plassering, og høyden er satt til dagens terrengnivå. Sonderingsprofilen er benyttet som støtte ved tolking av lagdeling og tillagt vekt avhengig av vurdert datakvalitet. Tolkning av laginndeling av sonderingsprofil er lagt ved snittet i form av fargekoding som beskrevet i 10245026-RIG-NOT-004.

Henvisninger: Referanser til rapporter med grunnundersøkelser er gitt i områdestabilitetsrapporten. Plantegning med plassering av snittene, og tilhørende løsneområde er vist på tegning nr. -RIG-TEG-001B.



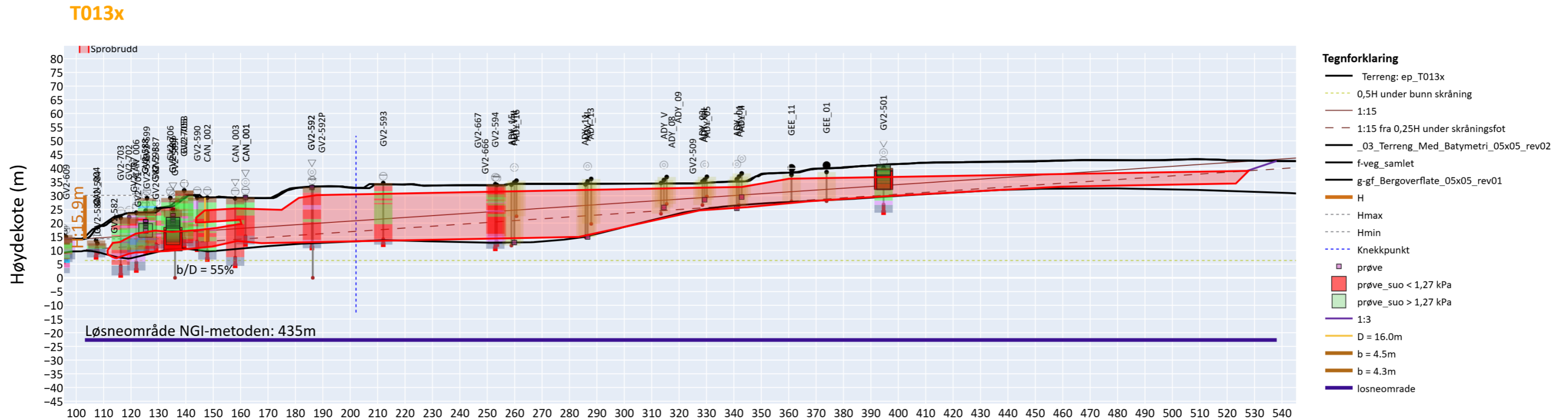
Kritisk glideflate er tegnet inn basert på totalspenningsanalysen av skråningen fra snitt BT015 vist på tegning RIG-TEG-814.1.

Tolket kvikkleirelag er basert på begrenset grunnlag og vil avvike fra virkeligheten. Snittet er kun ment som en illustrasjon på utførte vurderinger.

I enkelte punkter er det kun vist symbol, ikke tolkning. Tidligere utførte sonderinger som ikke foreligger på digitalt format, er vist med strek som indikerer dybden det er boret i. Disse punktene har ofte usikker plassering, og høyden er satt til dagens terrengnivå. Sonderingsprofilen er benyttet som støtte ved tolking av lagdeling og tillagt vekt avhengig av vurdert datakvalitet. Tolkning av laginndeling av sonderingsprofil er lagt ved snittet i form av fargekoding som beskrevet i 10245026-RIG-NOT-004.

Henvisninger: Referanser til rapporter med grunnundersøkelser er gitt i områdestabilitetsrapporten. Plantegning med plassering av snittene, og tilhørende løsneområde er vist på tegning nr. -RIG-TEG-001B.

22 T013x



Borpunkt

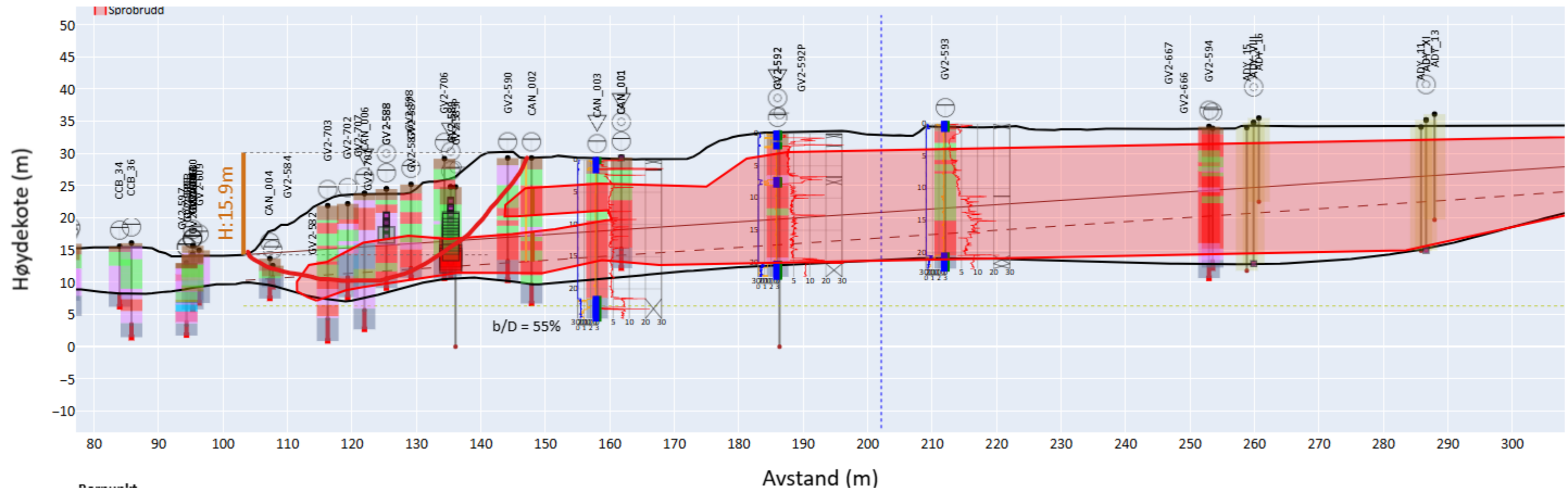
- ADY\_01 -9.3m enkel
- ADY\_03 -28.4m enkel
- ADY\_05 +11.3m enkel
- ADY\_08 -19.0m enkel
- ADY\_09 +26.8m enkel
- ADY\_11 -17.8m enkel
- ADY\_13 +28.1m enkel
- ADY\_15 -17.0m enkel
- ADY\_16 +29.2m enkel
- ADY\_I -29.3m enkel
- ADY\_I -29.3m prøve
- ADY\_II +10.9m enkel
- ADY\_II +10.9m prøve
- ADY\_V +4.8m enkel
- ADY\_V +4.8m prøve
- ADY\_VIII +7.1m enkel
- ADY\_VIII +7.1m prøve
- ADY\_XI +5.9m enkel
- ADY\_XI +5.9m prøve
- ADY\_XIII -8.7m enkel
- ADY\_XIII -8.7m prøve
- CAN\_001 -17.0m total
- CAN\_001 -17.0m cpt
- CAN\_001 -17.0m prøve
- CAN\_002 -2.0m total
- CAN\_003 +11.4m cpt
- CAN\_003 +11.4m total
- CAN\_004 -6.3m total
- CAN\_005 -7.9m total
- CAN\_006 -5.2m cpt
- CAN\_006 -5.2m total
- CCB\_01 -5.2m total
- CCB\_01B -5.5m total
- CCB\_02 -7.7m total
- CCB\_03 -10.5m total
- CCB\_03B -10.9m total
- CCB\_04 -14.4m total
- CCB\_05 -17.4m total
- CCB\_06 -21.0m total
- CCB\_10 +4.2m total
- CCB\_11 +2.0m total
- CCB\_12 -1.4m total
- CCB\_13 -3.6m total
- CCB\_14 -6.4m total
- CCB\_15 -10.2m total
- CCB\_20 +13.4m total
- CCB\_21 +11.3m total
- CCB\_22 +8.3m total
- CCB\_23 +5.6m total
- CCB\_24 +2.0m total
- CCB\_25 +11.0m total
- CCB\_25B +11.9m total
- CCB\_30 +19.3m total
- CCB\_31 +21.0m total
- CCB\_32 +16.5m total
- CCB\_33 +13.8m total
- CCB\_34 +9.7m total
- CCB\_36 +25.9m total
- CCB\_37 +27.1m total
- CCB\_39 +27.2m total
- CCB\_39B +27.0m total
- CCB\_52 -27.0m total
- CCB\_61 -28.4m total
- GEE\_01 -20.1m dreie
- GEE\_11 -19.9m dreie
- GEE\_11 -19.9m ram
- GV2-501 -26.1m cpt
- GV2-501 -26.1m prøve
- GV2-501 -26.1m total
- GV2-584 -25.1m total
- GV2-585 -13.4m total
- GV2-585B -13.4m total
- GV2-587 -28.7m total
- GV2-588 -17.8m prøve
- GV2-588 -17.8m total
- GV2-589 -20.0m cpt
- GV2-589 -20.0m total
- GV2-589 -20.0m prøve
- GV2-589 -20.0m pz
- GV2-589 -20.0m total
- GV2-589 -20.0m prøve
- GV2-590 -13.6m total
- GV2-592 -6.0m cpt
- GV2-592 -6.0m prøve
- GV2-592 -6.0m total
- GV2-592P -3.7m pz
- GV2-594 +24.7m total
- GV2-599 +25.5m total
- GV2-608 +3.4m total
- GV2-608A +3.4m total
- GV2-608B +3.4m total
- GV2-609 +15.4m total
- GV2-610 +26.9m total
- GV2-614 +1.7m total
- GV2-667 +8.9m total
- GV2-702 -19.0m total
- GV2-703 -6.9m total
- GV2-705 +22.7m total
- GV2-705B +22.7m total
- GV2-706 +12.1m total

Tolket kvikkleirelag er basert på begrenset grunnlag og vil avvike fra virkeligheten. Snittet er kun ment som en illustrasjon på utførte vurderinger.

I enkelte punkter er det kun vist symbol, ikke tolkning. Tidligere utførte sonderinger som ikke foreligger på digitalt format, er vist med strek som indikerer dybden det er boret i. Disse punktene har ofte usikker plassering, og høyden er satt til dagens terrengnivå. Sonderingsprofilen er benyttet som støtte ved tolking av lagdeling og tillagt vekt avhengig av vurdert datakvalitet. Tolkning av laginndeling av sonderingsprofil er lagt ved snittet i form av fargekoding som beskrevet i 10245026-RIG-NOT-004.

Henvisninger: Referanser til rapporter med grunnundersøkelser er gitt i områdestabilitetsrapporten. Plantegning med plassering av snittene, og tilhørende løsneområde er vist på tegning nr. -RIG-TEG-001B.

## T013x



Kritisk glideflate er tegnet inn basert på totalspenningsanalysen av skråningen fra snitt BT017 vist på tegning RIG-TEG-816.1.

Tolket kvikkleirelag er basert på begrenset grunnlag og vil avvike fra virkeligheten. Snittet er kun ment som en illustrasjon på utførte vurderinger.

I enkelte punkter er det kun vist symbol, ikke tolkning. Tidligere utførte sonderinger som ikke foreligger på digitalt format, er vist med strek som indikerer dybden det er boret i. Disse punktene har ofte usikker plassering, og høyden er satt til dagens terrenghvå. Sonderingsprofilen er benyttet som støtte ved tolking av lagdeling og tillagt vekt avhengig av vurdert datakvalitet. Tolkning av laginndeling av sonderingsprofil er lagt ved snittet i form av fargekoding som beskrevet i 10245026-RIG-NOT-004.

Henvvisninger: Referanser til rapporter med grunnundersøkelser er gitt i områdestabilitetsrapporten. Plantegning med plassering av snittene, og tilhørende løseområde er vist på tegning nr. -RIG-TEG-001B.